

# تحلیل و بررسی نیروگاه سیکل ترکیبی و ارائهٔ راهکارهای بهینه سازی آن

## فهرست مطالب

### صفحه

### عنوان

فصل اول : مدلسازی و ارزیابی سیکل و المانهای موجود با نرمافزار ترموفلو در شرایط طراحی.....	۱۰
۱. شرح مختصری از نیروگاه مورد نظر ..... ۱۰	۱
۲. معرفی نرمافزار ۱۷.۰.۲ THERMO FLOW ..... ۱۱	۱
۳. روند تهیه گزارش ..... ۱۱	۱
۴. مدلسازی واحدهای گازی نیروگاه مورد نظر ..... ۱۲	۱
۵. مدلسازی واحدهای گازی نیروگاه مورد نظر در شرایط ایزو با استفاده از نرمافزار GT PRO ..... ۱۳	۱
۶. مدلسازی واحدهای گازی در شرایط ایزو با استفاده از نرمافزار GT PRO با فراخوانی نرمافزار GT TEMPLATE ..... ۱۸	۱
۷. مدلسازی واحدهای گازی مورد نظر در شرایط سایت با استفاده از نرمافزار GT MASTER ..... ۲۰	۱
۸. مدلسازی واحدهای سیکل ترکیبی نیروگاه مورد نظر در شرایط طراحی ..... ۲۳	۱
۹. نمودار جریانهای انرژی و اگررژی ..... ۲۷	۱
۱۰. آنالیز و راندمان انرژیتیک و اگررژیتیک و HEAT RATE سیکل ..... ۲۸	۱
۱۱. آنالیز راندمانهای انرژیتیک و اگررژیتیک هریک از المانهای سیکل ..... ۲۹	۱
۱۲. مقایسه چرخهای توانی واحدهای گازی و سیکل ترکیبی نیروگاه مورد نظر ..... ۳۲	۱
<b>فصل دوم : ارزیابی عملکرد سیکل بر اساس نتایج اندازه گیری با استفاده از نرمافزار THERMOFLOW</b>	<b>۳۴</b>
۱. تعیین ورودیهای نرمافزار با پرداش اطلاعات اندازه گیری و پایش ..... ۳۴	۲
۲. تعیین دبی هوای ورودی به کمپرسور ..... ۳۵	۲
۳. تعیین میزان سوخت مصرفی ..... ۳۵	۲
۴. تعیین میزان آب درگردش سیکل ..... ۳۷	۲
۵. تحلیل نتایج اندازه گیریهای الکتریکی ..... ۳۹	۲
۶. بررسی اندازه گیری بر روی مصارف داخلی ..... ۴۲	۲
۷. بررسی اندازه گیری بر روی تجهیزات پر مصرف ..... ۴۳	۲
۸. شبیه‌سازی دو واحد سیکل ترکیبی نیروگاه مورد نظر براساس نتایج اندازه گیری ..... ۴۵	۲
۹. نمودار جریانهای انرژی و اگررژی واحدهای سیکل ترکیبی مورد نظر در زمان اندازه گیری ..... ۵۰	۲
۱۰. آنالیز و راندمان انرژیتیک و اگررژیتیک واحدهای سیکل ترکیبی مورد نظر در زمان اندازه گیری ..... ۵۲	۲
۱۱. آنالیز راندمانهای انرژیتیک و اگررژیتیک هریک از المانهای سیکل در زمان اندازه گیری ..... ۵۳	۲
۱۲. مقایسه چرخهای توانی واحدهای گازی و سیکل ترکیبی نیروگاه مورد نظر ..... ۵۷	۲
۱۳. بررسی تغییرات بار بر راندمان بر اساس نتایج اندازه گیری ..... ۶۰	۲
۱۴. بررسی وضعیت واحد تصفیه آب ..... ۶۲	۲
<b>فصل سوم : شناسایی عوامل تأثیر گذار بر عملکرد سیکل و بررسی تأثیر آنها .....</b>	<b>۶۴</b>
۱. بررسی تأثیر رطوبت هوا بر عملکرد سیکل ..... ۶۴	۳
۲. بررسی تأثیر دمای هوا بر عملکرد سیکل ..... ۶۷	۳
۳. بررسی تأثیر افت فشار در ورودی هوا بر عملکرد سیکل ..... ۷۰	۳

۴-۴. بررسی تأثیر افت فشار در مسیر خروجی گازهای حاصل از احتراق، بر عملکرد سیکل..... ۷۳
۵-۵. بررسی تأثیر میزان بار (ضریب بار)، بر عملکرد سیکل..... ۷۷
۶-۶. بررسی تأثیر فشار محیط بر عملکرد سیکل..... ۷۹
<b>فصل چهارم : بررسی کارایی واحدهای سیکل ترکیبی نیروگاه مورد نظر در زمان اندازه گیری .....</b> ۸۲
۱-۱. بررسی کارایی نیروگاه مورد نظر در شرایط فعلی در مقایسه با طراحی..... ۸۲
۱-۱-۱. تحلیل علل انحراف از شرایط طراحی و تعیین HEAT RATE قابل قبول واحدهای گازی..... ۸۳
۱-۱-۲. تحلیل علل انحراف از شرایط طراحی و تعیین HEAT RATE قابل قبول سیکل ترکیبی..... ۸۵
۲-۴. مقایسه راندمانهای هریک از المانهای سیکل در شرایط فعلی با طراحی..... ۸۷
<b>فصل ششم : ارائه راهکارهای بهبود کارایی و ارزیابی فنی و اقتصادی راهکارها..... ۸۹</b>
۱-۱-۱. ارائه راهکارهای مکانیکی کاهش مصرف انرژی در نیروگاه سیکل ترکیبی..... ۸۹
۱-۱-۲. تعمیر و نگهداری..... ۸۹
۱-۱-۳. ارتقاء سیستم پایش..... ۹۰
۱-۱-۴. روشهای کاهش دمای هوای ورودی به کمپرسور در نیروگاههای گازی..... ۹۱
۱-۱-۵. بررسی کاهش دمای هوای ورودی به کمپرسور با استفاده از سیستم مه فشار قوی..... ۹۲
۱-۴-۱. برآورد فنی استفاده از سیستم فاگ در سیکل ترکیبی نیروگاه مورد نظر..... ۹۲
۱-۴-۲.. برآورد اقتصادی استفاده از سیستم فاگ در سیکل ترکیبی نیروگاه مورد نظر..... ۹۳
۱-۴-۳. آنالیز اگررژی استفاده از سیستم فاگ..... ۹۷
۱-۵. بررسی کاهش دمای هوای ورودی به کمپرسور با استفاده از چیلر جذبی..... ۹۸
۱-۵-۱. تعیین مشخصات و انتخاب چیلر جذبی..... ۹۹
۱-۵-۲. شبیه‌سازی نیروگاه سیکل ترکیبی مورد نظر هنگام نصب چیلر جذبی..... ۱۰۱
۱-۶. کاهش دمای هوای ورودی به کمپرسور با تانک ذخیره یخ..... ۱۰۳
۱-۶-۱. حجم مخزن ذخیره ی سرما..... ۱۰۴
۱-۶-۲. برآورد فنی-اقتصادی استفاده از روش تانک ذخیره یخ در نیروگاه سیکل ترکیبی مورد نظر..... ۱۰۴
۱-۷. ارائه راهکارهای کاهش مصرف انرژی الکتریکی در نیروگاه سیکل ترکیبی مورد نظر..... ۱۰۵
۱-۷-۱. عملکرد تجهیزات و نقش کنترل کننده‌های دور..... ۱۰۵
۱-۷-۲. نصب درایو کنترل سرعت (VSD) بر روی تجهیزات..... ۱۰۷
۱-۷-۳. ۱. بررسی نصب درایو بر روی پمپ‌های آب خنک کن (CCCW)..... ۱۰۷
۱-۷-۴. ۲. بررسی نصب درایو بر روی فهای ACC..... ۱۰۹
۱-۷-۵. ۳. نصب کوپلینگ هیدرولیک بر روی تجهیزات..... ۱۰۹
۱-۳-۲-۵-۱. بررسی نصب کوپلینگ هیدرولیک بر روی پمپ‌های اصلی کندانس..... ۱۱۱
۱-۳-۲-۵-۲. بررسی نصب کوپلینگ هیدرولیک بر روی پمپ‌های آب تغذیه..... ۱۱۲
۱-۳-۲-۵-۳. بررسی نصب خازن بر روی فنهای ACC..... ۱۱۴
۱-۳-۲-۵-۴. نتیجه گیری و جمع بندی راهکارها..... ۱۱۶

## فهرست جداول

### صفحه

### عنوان

جدول ۱-۱. مشخصات مدل انتخابی(SIEMENS W701D) برای مدلسازی واحد گازی مورد نظر ..... ۱۳	
جدول ۱-۲. شرایط طراحی واحدهای گازی نیروگاه مورد نظر در شرایط ایزو و افت فشار صفر در ورودی و خروجی ..... ۱۸	
جدول ۱-۳. نتایج تحلیل انرژی و اگزرزی واحد گازی و سیکل ترکیبی نیروگاه مورد نظر در شرایط طراحی ..... ۲۹	
جدول ۱-۴. نتایج تحلیل انرژیتیک و اگزرزیتیک المانهای موجود در واحد گازی نیروگاه سیکل ترکیبی مورد نظر ..... ۲۹	
جدول ۱-۵. نتایج تحلیل انرژی و اگزرزی المانهای واحد بخار نیروگاه سیکل ترکیبی مورد نظر در شرایط طراحی ..... ۳۱	
جدول ۱-۶. نتایج حاصل از پردازش آنالیز گازهای خروجی دودکش توربینهای گازی ..... ۳۵	
جدول ۱-۷. نتایج موازنۀ انرژی هر واحد گازی و تعیین میزان سوخت مصرفی براساس آنالیز گازهای خروجی از هر واحد ..... ۳۶	
جدول ۱-۸. نتایج محاسبه هواي ورودي به هر واحد گازی با استفاده از سوخت به دست آمده از موازنۀ انرژي آن واحد... ۳۷	
جدول ۱-۹. خلاصه اطلاعات مربوط به اندازه گيري و پايش دبی در نقاط مختلف نیروگاه ..... ۳۸	
جدول ۱-۱۰. خلاصه نتایج اندازه گيري در سطح ولتاژ ۶/۶ کیلوولت در نیروگاه مورد نظر ..... ۴۰	
جدول ۱-۱۱. خلاصه نتایج اندازه گيري در سطح ولتاژ ۳۸۰ ولت در نیروگاه مورد نظر ..... ۴۱	
جدول ۱-۱۲. سهم مصرف داخلی واحدهای ۱ و ۲ نیروگاه سیکل ترکیبی مورد نظر ..... ۴۳	
جدول ۱-۱۳. خلاصه نتایج اندازه گيري بر روی پمپهای آب تعذیبه ..... ۴۳	
جدول ۱-۱۴. خلاصه نتایج اندازه گيري بر روی پمپهای کندانس ..... ۴۴	
جدول ۱-۱۵. خلاصه نتایج اندازه گيري بر روی فنهاي ACC ..... ۴۴	
جدول ۱-۱۶. مقایسه اطلاعات اندازه گيري واحد ۱ سیکل ترکیبی نیروگاه مورد نظر با نتایج شبیه‌سازی با نرم‌افزار GT MASTER ..... ۴۸	
جدول ۱-۱۷. مقایسه اطلاعات اندازه گيري واحد ۲ سیکل ترکیبی نیروگاه مورد نظر با نتایج شبیه‌سازی با نرم‌افزار GT MASTER ..... ۴۹	
جدول ۱-۱۸. نتایج تحلیل انرژی و اگزرزی دو واحد سیکل ترکیبی نیروگاه مورد نظر در زمان اندازه گيري ..... ۵۳	
جدول ۱-۱۹. نتایج تحلیل انرژیتیک و اگزرزیتیک المانهای بخش گازی دو واحد سیکل ترکیبی نیروگاه مورد نظر در زمان اندازه گيري ..... ۵۳	
جدول ۱-۲۰. نتایج تحلیل انرژی و اگزرزی المانهای بخار در دو واحد سیکل ترکیبی مورد نظر در زمان اندازه گيري ..... ۵۷	
جدول ۱-۲۱. نتایج محاسبه مصرف سوخت و راندمان برای دو واحد گازی GT11 و GT12 در بارهای مختلف ..... ۶۱	

جدول ۱۷-۲. نتایج اندازه گیری دبی آب در نقاط مختلف واحد تصفیه آب.....	۶۲
جدول ۱-۴. نتایج تحلیل انرژی و اگزرژی دو واحد سیکل ترکیبی نیروگاه مورد نظر در زمان اندازه گیری.....	۸۲
جدول ۲-۴. مقایسه شرایط کارکرد المانهای بخش گازی سیکل در زمان اندازه گیری با شرایط طراحی.....	۸۷
جدول ۳-۴. نتایج تحلیل انرژی و اگزرژی المانهای بخش بخار در دو واحد سیکل ترکیبی مورد نظر در زمان اندازه گیری.....	۸۸
جدول ۱-۵. اطلاعات مربوط به سیستم فاگ نیروگاه سیکل ترکیبی مورد نظر.....	۹۲
جدول ۲-۵. مقایسه سیکل ترکیبی نیروگاه مورد نظر با و بدون سیستم فاگ.....	۹۶
جدول ۳-۵. مقایسه تلفات اگزرژی در حالت فعال بودن فاگ و فعال نبودن فاگ برای سیکل ترکیبی نیروگاه مورد نظر... ..	۹۷
جدول ۴-۵. مقایسه تلفات اگزرژی در حالت فعال بودن فاگ و فعال نبودن فاگ برای واحدهای گازی نیروگاه مورد نظر. ....	۹۸
جدول ۵-۵. بررسی فنی و اقتصادی تأثیر استفاده از چیلر جذبی.....	۹۹
جدول ۶-۵. مشخصات چیلر جذبی انتخابی با ظرفیت ۱۳۰۰ تن تبرید.....	۱۰۱
جدول ۷-۵. نتایج اندازه گیریهای الکتریکی و مکانیکی بر روی پمپهای آب خنک کن (CCCW).....	۱۰۷
جدول ۸-۵. اطلاعات طراحی پمپهای آب خنک کن (CCCW).....	۱۰۷
جدول ۹-۵. محاسبه میزان صرفه جویی انرژی بوسیله نصب درایو بر روی پمپهای آب خنک کن (CCCW).....	۱۰۸
جدول ۱۰-۵. اطلاعات اندازه گیری پمپهای اصلی کندانس.....	۱۱۱
جدول ۱۱-۵. اطلاعات طراحی پمپهای اصلی کندانس .....	۱۱۱
جدول ۱۲-۵. محاسبه میزان صرفه جویی انرژی بوسیله نصب هیدروکوپلینگ بر روی پمپهای کندانس.....	۱۱۲
جدول ۱۳-۵. اطلاعات اندازه گیری پمپهای آب تغذیه .....	۱۱۳
جدول ۱۴-۵. میزان صرفه جویی انرژی بوسیله نصب هیدروکوپلینگ بر روی پمپهای آب تغذیه .....	۱۱۴
جدول ۱۵-۵. محاسبه زمان بازگشت سرمایه بوسیله نصب هیدروکوپلینگ بر روی پمپهای آب تغذیه.....	۱۱۴
جدول ۱۶-۵. نتایج اندازه گیری و اطلاعات جمع آوری شده فنها ACC.....	۱۱۵
جدول ۱۷-۵. کاهش توان راکتیو در صورت نصب خازن بر روی فنها ACC.....	۱۱۵
جدول ۱۸-۵. مقداری صرفه جویی و مدت زمان بازگشت سرمایه در صورت نصب خازن بر روی فنها ACC.....	۱۱۶
جدول ۱۹-۵. جمعبندی راهکارهای مکانیکی بهینه سازی مصرف انرژی در نیروگاه سیکل ترکیبی مورد نظر.....	۱۱۷
جدول ۲۰-۵. خلاصه نتایج راهکارهای کاهش مصرف انرژی الکتریکی در نیروگاه سیکل ترکیبی مورد نظر.....	۱۱۷

## فهرست اشکال

### صفحه

### عنوان

شکل ۱-۱. شماتیک فرایند تولید برق واحد ۱ در نیروگاه سیکل ترکیبی.....	۱۰
شکل ۱-۲. شماتیک مدل واحدهای گازی نیروگاه مورد نظر در شرایط ایزو با سوخت گاز طبیعی با تنظیم شرایط مدل W701D.....	۱۵
شکل ۱-۳. شماتیک مدل واحدهای گازی نیروگاه مورد نظر در شرایط ایزو با سوخت گازوئیل با تنظیم شرایط مدل W701D.....	۱۷
شکل ۱-۴. شماتیک مدل واحدهای گازی نیروگاه مورد نظر در شرایط ایزو با سوخت گاز طبیعی با مدل ساخته شده در TEMPLATE.....	۱۹
شکل ۱-۵. شماتیک مدل شبیه سازی شده واحدهای گازی نیروگاه مورد نظر در شرایط سایت با سوخت گاز طبیعی.....	۲۱
شکل ۱-۶. شماتیک مدل شبیه سازی شده واحدهای گازی نیروگاه مورد نظر در شرایط سایت با سوخت مایع .....	۲۲
شکل ۱-۷. اطلاعات ترمودینامیکی سیکل تولید بخار در شرایط طراحی(بار پایه و دمای ۳۱ درجه سانتیگراد و سوخت گاز طبیعی در واحدهای گازی مربوطه).....	۲۵
شکل ۱-۸. نمایش گرافیکی مدل ساخته شده سیکل ترکیبی نیروگاه مورد نظر با استفاده از نرم افزار GT PRO در شرایط سایت.....	۲۶
شکل ۱-۹. نمودار جریانهای انرژی در سیکل ترکیبی نیروگاه مورد نظر.....	۲۷
شکل ۱-۱۰. نمودار جریانهای اگرژی در سیکل ترکیبی نیروگاه حاضر.....	۲۸
شکل ۱-۱۱. نمودار Q-T برای بویلر بازیافت حرارت نیروگاه سیکل ترکیبی مورد نظر .....	۳۰
شکل ۱-۱۲. تغییرات دمای دود و بخار درون بویلر بازیافت حرارت.....	۳۱
شکل ۱-۱۳. چرخه برایتون واحدهای گازی نیروگاه مورد نظر در شرایط طراحی .....	۳۲
شکل ۱-۱۴. چرخه ترکیبی برایتون / رانکین واحدهای سیکل ترکیبی نیروگاه مورد نظر در شرایط طراحی .....	۳۳
شکل ۲-۱. سهم مصارف مختلف داخلی واحد بخار ۱ (نسبت به کل مصرف داخلی).....	۴۲
شکل ۲-۲. سهم مصارف مختلف داخلی واحد بخار ۲ (نسبت به کل مصرف داخلی).....	۴۲
شکل ۲-۳. نمایش گرافیکی نتایج شبیه سازی واحد ۱ سیکل ترکیبی نیروگاه مورد نظر براساس نتایج اندازه گیری .....	۴۶
شکل ۲-۴. نمایش گرافیکی نتایج شبیه سازی واحد ۲ سیکل ترکیبی نیروگاه مورد نظر براساس نتایج اندازه گیری .....	۴۷
شکل ۲-۵. نمودار جریانهای انرژی در واحد ۱ سیکل ترکیبی نیروگاه حاضر در زمان اندازه گیری .....	۵۰
شکل ۲-۶. نمودار جریانهای انرژی در واحد ۲ سیکل ترکیبی نیروگاه مورد نظر در زمان اندازه گیری .....	۵۱

..... ۵۱	شكل ۲-۲. نمودار جریانهای اگزرزی در واحد ۱ سیکل ترکیبی نیروگاه مورد نظر در زمان اندازه گیری
..... ۵۲	شكل ۲-۳. نمودار جریانهای اگزرزی در واحد ۲ سیکل ترکیبی نیروگاه مورد نظر در زمان اندازه گیری
..... ۵۴	شكل ۲-۴. نمودار Q-T برای بویلر بازیافت حرارت ۲۱ نیروگاه سیکل ترکیبی مورد نظر در زمان اندازه گیری
..... ۵۵	شكل ۲-۵. نمودار Q-T برای بویلر بازیافت حرارت ۲۲ نیروگاه سیکل ترکیبی مورد نظر در زمان اندازه گیری
..... ۵۵	شكل ۲-۶. تغییرات دمای دود و بخار درون بویلر بازیافت حرارت
..... ۵۶	شكل ۲-۷. تغییرات دمای دود و بخار درون بویلر بازیافت حرارت
..... ۵۸	شكل ۲-۸. چرخه ترکیبی برایتون / رانکین واحد ۱ سیکل ترکیبی نیروگاه مورد نظر در زمان اندازه گیری
..... ۵۹	شكل ۲-۹. چرخه ترکیبی برایتون / رانکین واحد ۲ سیکل ترکیبی نیروگاه مورد نظر در زمان اندازه گیری
..... ۶۰	شكل ۲-۱۰. نمودار تغییرات میزان هوا ورودی به کمپرسور براساس توان تولیدی واحدهای گازی مدول ۱ سیکل ترکیبی نیروگاه
..... ۶۱	شكل ۲-۱۱. نمودار تغییرات راندمان واحدهای گازی GT11 و GT12 گازی نیروگاه سیکل ترکیبی مورد نظر با توان ناخالص تولیدی
..... ۶۳	شكل ۲-۱۲. شماتیک مراحل تصفیه آب در نیروگاه سیکل ترکیبی مورد نظر
..... ۶۵	شكل ۳-۱. تأثیر رطوبت هوا بر توان ناخالص تولیدی واحد گازی
..... ۶۵	شكل ۳-۲. تأثیر رطوبت هوا بر راندمان ناخالص واحد گازی
..... ۶۶	شكل ۳-۳. تأثیر رطوبت هوا بر توان ناخالص سیکل ترکیبی
..... ۶۶	شكل ۳-۴. تأثیر رطوبت هوا بر راندمان سیکل ترکیبی
..... ۶۷	شكل ۳-۵. تأثیر رطوبت هوا بر HEAT RATE سیکل ترکیبی
..... ۶۸	شكل ۳-۶. تأثیر دمای محیط بر توان ناخالص تولیدی واحد گازی
..... ۶۸	شكل ۳-۷. تأثیر دمای محیط بر راندمان ناخالص واحد گازی
..... ۶۹	شكل ۳-۸. تأثیر دمای محیط بر توان ناخالص تولیدی سیکل ترکیبی
..... ۶۹	شكل ۳-۹. تأثیر دمای محیط بر راندمان ناخالص سیکل ترکیبی
..... ۷۰	شكل ۳-۱۰. تأثیر دمای محیط بر HEAT RATE سیکل ترکیبی
..... ۷۱	شكل ۳-۱۱. تأثیر افت فشار ورودی هوا به سیکل بر تولید ناخالص واحد گازی
..... ۷۱	شكل ۳-۱۲. تأثیر افت فشار ورودی هوا به سیکل بر راندمان ناخالص واحد گازی
..... ۷۲	شكل ۳-۱۳. تأثیر افت فشار ورودی هوا به سیکل بر تولید ناخالص سیکل ترکیبی
..... ۷۲	شكل ۳-۱۴. تأثیر افت فشار ورودی هوا به سیکل بر راندمان ناخالص سیکل ترکیبی
..... ۷۳	شكل ۳-۱۵. تأثیر افت فشار ورودی هوا به سیکل بر HEAT RATE سیکل ترکیبی

..... شکل ۳-۱۶. تأثیر افت فشار در مسیر خروجی گازهای حاصل از احتراق بر تولید ناخالص واحد گازی	۷۴
..... شکل ۳-۱۷. تأثیر افت فشار در مسیر خروجی گازهای حاصل از احتراق بر راندمان ناخالص واحد گازی	۷۵
..... شکل ۳-۱۸. تأثیر افت فشار در مسیر خروجی گازهای حاصل از احتراق بر تولید ناخالص سیکل ترکیبی	۷۵
..... شکل ۳-۱۹. تأثیر افت فشار در مسیر خروجی گازهای حاصل از احتراق بر راندمان ناخالص سیکل ترکیبی	۷۶
..... شکل ۳-۲۰. تأثیر افت فشار در مسیر خروجی گازهای حاصل از احتراق بر HEAT RATE سیکل ترکیبی	۷۶
..... شکل ۳-۲۱. تأثیر میزان بار واحد گازی بر راندمان ناخالص واحد گازی	۷۷
..... شکل ۳-۲۲. تأثیر میزان بار واحد گازی بر راندمان ناخالص سیکل ترکیبی	۷۸
..... شکل ۳-۲۳. تأثیر میزان بار واحد گازی بر HEAT RATE سیکل ترکیبی	۷۸
..... شکل ۳-۲۴. تأثیر فشار محیط بر توان ناخالص تولیدی واحد گازی	۷۹
..... شکل ۳-۲۵. تأثیر فشار محیط بر راندمان ناخالص واحد گازی	۸۰
..... شکل ۳-۲۶. تأثیر فشار محیط بر توان ناخالص سیکل ترکیبی	۸۰
..... شکل ۳-۲۷. تأثیر فشار محیط بر راندمان ناخالص سیکل ترکیبی	۸۱
..... شکل ۳-۲۸. تأثیر فشار محیط بر HEAT RATE سیکل ترکیبی	۸۱
..... شکل ۵-۱. تأثیر استفاده از سیستم فاگ بر عملکرد واحد گازی نیروگاه مورد نظر	۹۴
..... شکل ۵-۲. تأثیر استفاده از سیستم فاگ بر عملکرد سیکل ترکیبی نیروگاه مورد نظر	۹۵
..... شکل ۵-۳. شبیه‌سازی واحد سیکل ترکیبی مورد نظر هنگام نصب چیلر جذبی	۱۰۲
..... شکل ۵-۴. رابطه توان مصرفی پمپ‌ها و فنها با تغییر سرعت آنها	۱۰۶
..... شکل ۵-۵. نتیجه نرم‌افزار PUMPSAVE برای پمپ آب خنک کن (CCCW) واحد ۱ سیکل ترکیبی	۱۰۸
..... شکل ۵-۶. نتیجه نرم‌افزار PUMPSAVE برای پمپ آب خنک کن (CCCW) واحد ۲ سیکل ترکیبی	۱۰۹
..... شکل ۵-۷. شماتیک کوپلینگ‌های هیدرولیکی	۱۱۰
..... شکل ۵-۸. مقایسه توان مصرفی در دو حالت اختناق جریان (THROTTLING) و استفاده از کوپلینگ هیدرولیک	۱۱۱

## چکیده

نیروگاهی که در گزارش حاضر مورد بررسی قرار گرفته است از نوع ترکیبی می‌باشد. این نیروگاه ساخت شرکت میتسوبیشی ژاپن بوده و در ارتفاع حدود ۱۰۰۰ متری از سطح دریا قرار گرفته است. در این گزارش، واحدهای گازی نیروگاه حاضر، (مدل MW701D) برای دو سوخت گاز طبیعی و سوخت مایع با استفاده از نرمافزار GT Pro براساس اطلاعات طراحی در شرایط ایزو، مدل سازی شد و مدل ساخته شده با استفاده از نرمافزار GT Master تطبیق داده شد. سپس با تلفیقی از نتایج اندازه گیری، پایش دستگاههای اندازه گیری موجود در نیروگاه و نتایج حاصل از شبیه‌سازی، صحت سنجی نتایج حاصل انجام شد و مقادیر قابل قبول تعیین شد. در ادامه به شناسایی عوامل تأثیر گذار بر عملکرد سیکل نیروگاه پرداخته شد و سپس تأثیر آنها بر راندمان واحد گازی، بخار و سیکل ترکیبی بررسی شد. به طور کلی عوامل تأثیر گذار بر عملکرد سیکل را می‌توان به عواملی مانند رطوبت هوا، دما و فشار محیط، افت فشار در مسیر هوا و ورودی به کمپرسور، افت فشار در مسیر خروجی گازهای حاصل از احتراق (مجموع افت فشار در خروجی توربین گازی و بویلر بازیافت حرارت)، ضریب بار و همچنین عوامل دیگری مانند عمر نیروگاه خلاصه نمود. به منظور بررسی تأثیر عوامل ذکر شده بر عملکرد سیکل از منو Multiple Runs در نرمافزار GT MASTER استفاده شد، بدین صورت که با تغییر عوامل ذکر شده در سیکل شبیه‌سازی شده در حالت طراحی در نرمافزار GT MASTER و رسم نمودار، تأثیر این عوامل بر عملکرد سیکل مورد بررسی قرار گرفت. سپس به بررسی کارایی واحدهای سیکل ترکیبی نیروگاه مورد نظر پرداخته شد و نتایج تحلیل انرژیتیک و اگزرژیتیک واحدهای سیکل ترکیبی نیروگاه مورد نظر در زمان اندازه گیری ارائه شد. در این قسمت ابتدا عملکرد فعلی نیروگاه با شرایط طراحی مقایسه، علل انحراف از شرایط طراحی مشخص و در نهایت Heat Rate قابل قبول برای نیروگاه تعیین شد. در نهایت راهکارهای بهبود کارایی و کاهش مصرف داخلی واحدهای سیکل ترکیبی نیروگاه مورد نظر، به همراه آنالیز اقتصادی هریک ارائه شد.

## فصل اول

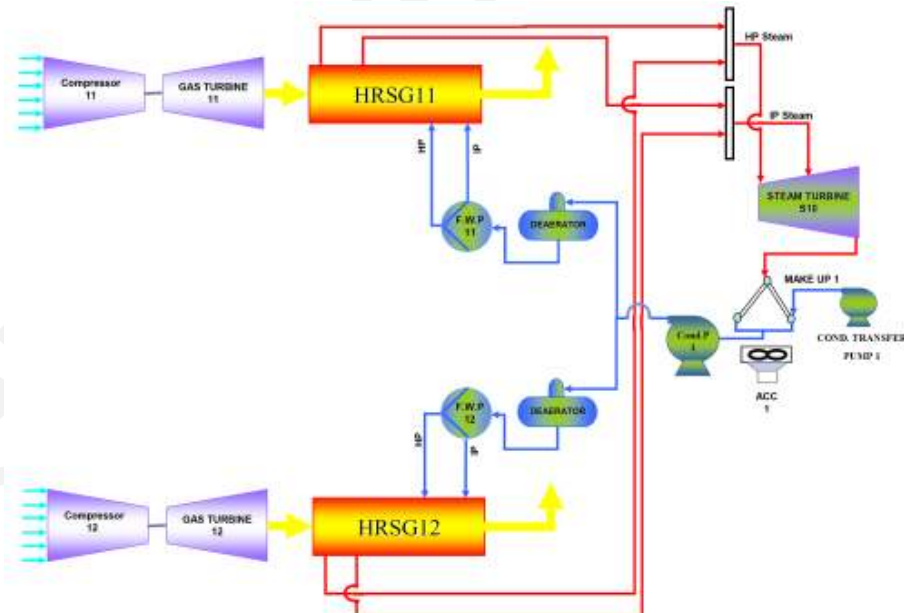
### مدلسازی و ارزیابی سیکل و المانهای موجود

### با نرمافزار Thermoflow در شرایط طراحی

در این فصل از گزارش ضمن بیان روند تهیه گزارش، مدلسازی و ارزیابی سیکل و المانهای موجود با نرمافزار Thermoflow در شرایط طراحی به طور مختصر شرح داده شده است.

#### ۱-۱. شرح مختصری از نیروگاه مورد نظر

نیروگاهی که در گزارش حاضر مورد بررسی قرار گرفته است شامل ۴ واحد گازی ساخت شرکت میتسوبیشی ژاپن با ظرفیت اسمی هر یک ۱۲۸/۵ مگاوات می‌باشد. این نیروگاه در ابتدا گازی بوده سپس با نصب ۴ بویلر بازیافت حرارت و دو توربوزنتراتور بخاری ۱۰۰ مگاواتی به سیکل ترکیبی تبدیل شده است. شماتیک فرایند تولید برق در نیروگاه سیکل ترکیبی مورد نظر در شکل ۱-۱ نمایش داده شده است.



شکل ۱-۱. شماتیک فرایند تولید برق واحد ۱ در نیروگاه سیکل ترکیبی

## ۲-۱. معرفی نرم افزار Thermo flow 17.0.2

یکی از ابزارهای توانا جهت مدل سازی نیروگاههای مولد برق مجموعه نرم افزاری Thermo flow است که از نرم افزارهای مختلف تشکیل یافته و قابلیت شبیه سازی انواع نیروگاههای بخار، گازی و سیکل ترکیبی و همچنین ساختار داخلی نیروگاه را دارا می باشد. در ادامه به اختصار نرم افزارهای زیر مجموعه Thermo flow، مورد استفاده جهت شبیه سازی نیروگاه سیکل ترکیبی مورد نظر تشریح شده است.

نرم افزار GT Pro: از جمله نرم افزارهای طراحی و شبیه سازی نیروگاههای گازی و سیکل ترکیبی می باشد. در این نرم افزار، اطلاعات شرایط ترمودینامیکی هوای ورودی و مدل ترمودینامیکی توربین بخار، و مدل ساختاری نیروگاه گازی و بخش های مختلف نیروگاه از جمله بویلر بازیافت حرارت و... توسط طراح انتخاب می شود و با استفاده از بالانس جرم و انرژی، مشخصات اجزای مختلف طراحی می شود. لازم به ذکر است که مدل ساختاری واحد گازی نیروگاه مورد نظر از کتابخانه نرم افزار که حاوی اطلاعات توربین های گازی شرکت های سازنده مختلف می باشد، استخراج می شود.

نرم افزار GT Template: در صورت عدم وجود مدل مشابه واحد گازی نیروگاه مورد نظر در کتابخانه نرم افزار GT Pro، با داشتن اطلاعات طراحی واحد گازی، می توان آنرا در نرم افزار GT Template مدل سازی نموده و جهت استفاده در نرم افزار GT Pro فرا خوانی کرد.

با وارد کردن اطلاعات طراحی واحد گازی نیروگاه مورد نظر از جمله برق تولیدی، نوع سوخت و راندمان در شرایط ایزو و منحنی های مربوط به تاثیر پارامترهای محیطی (دما، فشار و رطوبت)، تغییرات بار و ارزش حرارتی سوخت بر راندمان، مصرف سوخت، دما و دبی دود خروجی و ... در نرم افزار GT Template مدل موردنظر طراحی می گردد. نرم افزار GT Master: جهت شبیه سازی واحد گازی و یا سیکل ترکیبی مدل سازی شده در نرم افزار GT Pro در بارهای مختلف و شرایط بهره برداری متفاوت، از این نرم افزار استفاده می شود تا تاثیر پارامترهای مختلف بر روی شرایط طراحی تعیین گردد.

نرم افزار Thermoflex: در نرم افزارهای Pro پیکره کلی نیروگاه قابل تغییر نیست و کاربر قادر به تغییر پارامترهای مشخصی می باشد. در صورتیکه طراح علاقه مند به طراحی دقیق نیروگاه بصورت جزء به جزء باشد، باید از نرم افزار Thermoflex برای مدل سازی نیروگاههای بخار، گازی و سیکل ترکیبی استفاده نماید. لازم به ذکر است، مجموعه نرم افزاری 17.0.2 Thermo flow حاوی تعدادی نرم افزار کمکی، تبدیل واحد و ... نیز بوده و قابلیت آنالیز اگزرسی واحد های گازی و سیکل ترکیبی را نیز دارا می باشد.

## ۱-۳. روند تهیه گزارش

با توجه به عدم همزمانی در شروع بهره برداری واحد های گازی و سیکل ترکیبی نیروگاه مورد نظر و اختلاف شرایط محیطی (دما و رطوبت) و آنالیز سوخت مصرفی در اطلاعات طراحی ارائه شده برای واحد های گازی و سیکل ترکیبی نیروگاه، در این بخش از گزارش حاضر واحد های گازی نیروگاه مورد نظر، ساخت شرکت میتسوبیشی ژاپن (مدل

(MW701D) با استفاده از نرمافزار GT Pro براساس اطلاعات طراحی در شرایط ایزو مدل سازی شده و مدل ساخته شده در نرمافزار GT Master در شرایط سایت (با شرایط محیطی و آنالیز گازطبیعی و سوخت مایع در زمان بهره برداری واحدهای گازی) شبیه‌سازی گردید که با مقایسه نتایج حاصل با اطلاعات طراحی، مدل ساخته شده مورد تایید قرار گرفت. پس از مدلسازی واحدهای گازی این نیروگاه، سیکل ترکیبی نیروگاه با استفاده از مدل گازی تائید شده در مرحله قبل و تبدیل آن به سیکل ترکیبی، در شرایط محیطی و آنالیز گازطبیعی در زمان بهره برداری سیکل ترکیبی، مدلسازی گردید. سپس براساس مدل ساخته شده راندمان‌های انرژیتیک و اگزرزیتیک و Heat Rate سیکل محاسبه شد.

در نهایت با تعیین و تفکیک جریانهای انرژی و اگزرزی و سهم تلفات هر یک در بخش‌های مختلف، نمودارهای Grassman و sankey که بیانگر موازنۀ جرم و انرژی و اگزرزی سیکل و تجهیزات آن می‌باشد، ترسیم شده است. فصل دوم گزارش، به ارائه نتایج شبیه‌سازی شرایط واقعی سیکل برای دو مدول ۱ و ۲ براساس نتایج اندازه گیری‌های انجام گرفته در نرمافزار GT Master پرداخته شده است. شبیه‌سازی دو مدول ۱ و ۲ با وارد کردن تلفیقی از اطلاعات اندازه گیری و اطلاعات ثبت شده از سیستم پایش<sup>۱</sup> نیروگاه، در نرمافزار GT Master با استفاده از مدل ساخته شده در نرمافزار GT Pro انجام گرفته است. در ادامه عملکرد سیکل و المانهای موجود، براساس نتایج شبیه‌سازی به دست آمده و مقایسه نتایج با شرایط طراحی، مورد ارزیابی قرار گرفته است. لازم به ذکر است، تلفیق و مقایسه نتایج اندازه گیری و پایش و صحت سنجی نتایج به موازات شبیه‌سازی سیکل در شرایط واقعی صورت گرفته است.

در فصل سوم گزارش به شناسایی عوامل تأثیر گذار بر عملکرد سیکل و بررسی تأثیر آنها پرداخته شده است و ضمناً با استفاده از داده‌های طراحی محدوده آنها تعیین می‌گردد.

در فصل چهارم گزارش حاضر بررسی کارایی سیکل در زمان اندازه گیری با استفاده از آنالیز عوامل تأثیر گذار مورد تجزیه و تحلیل قرار گرفته و علل انحراف از شرایط طراحی براساس اطلاعات موجود به همراه سهم هریک از عوامل موثر بر عملکرد سیکل تعیین می‌گردد. پس از تعیین راندمان و Heat Rate قابل حصول، نتایج حاصل با شرایط واقعی مقایسه گردید.

در فصل پنجم گزارش به بررسی راهکارهای بهبود کارآیی و کاهش مصرف داخلی پرداخته شده است و در ادامه راهکارهای ارائه شده در دو بخش مکانیکی و الکتریکی مورد ارزیابی فنی اقتصادی قرار گرفته و از جنبه میزان سرمایه گذاری، زمان بازگشت سرمایه گزاری و میزان اثر بخشی آنها از دید بهره برداری اولویت بندی گردید.

#### ۱-۴. مدلسازی واحدهای گازی نیروگاه مورد نظر

در این بخش از گزارش، واحدهای گازی نیروگاه حاضر، ساخت شرکت میتسوبیشی ژاپن (Mdl MW701D) برای

<sup>1</sup>. Monitoring

دو سوخت گاز طبیعی و سوخت مایع با استفاده از نرمافزار GT Pro براساس اطلاعات طراحی در شرایط ایزو (دما ۱۵ درجه سانتیگراد، ارتفاع سطح دریا) مدل سازی شد و مدل ساخته شده با استفاده از نرمافزار GT Master با شرایط سایت (دما ۳۱ درجه سانتیگراد، ارتفاع سایت ۱۰۲۲ متر) تطبیق داده شد.

#### ۱-۴-۱. مدلسازی واحدهای گازی نیروگاه مورد نظر در شرایط ایزو با استفاده از نرمافزار GT Pro

جهت ساخت مدل واحد گازی نیروگاه مورد نظر با استفاده از نرمافزار GT Pro پس از وارد کردن شرایط دما و فشار و رطوبت محیط در شرایط ایزو باید مدل واحد گازی انتخاب گردد. به دلیل عدم وجود مدل میتسوبیشی (Siemens W701D) واحد گازی نیروگاه مورد نظر در کتابخانه نرمافزار، مدل مشابه با نام (MW701D) با مشخصات ارائه شده در جدول ۱-۱ انتخاب گردید و پارامترهایی چون توان ناخالص تولیدی و دبی، دمای گازهای خروجی از توربین و نسبت تراکم در قسمت تنظیم مدل<sup>۱</sup> با مدل MW 701D تطبیق داده شد.

جدول ۱-۱. مشخصات مدل انتخابی (Siemens W701D) برای مدلسازی واحد گازی مورد نظر

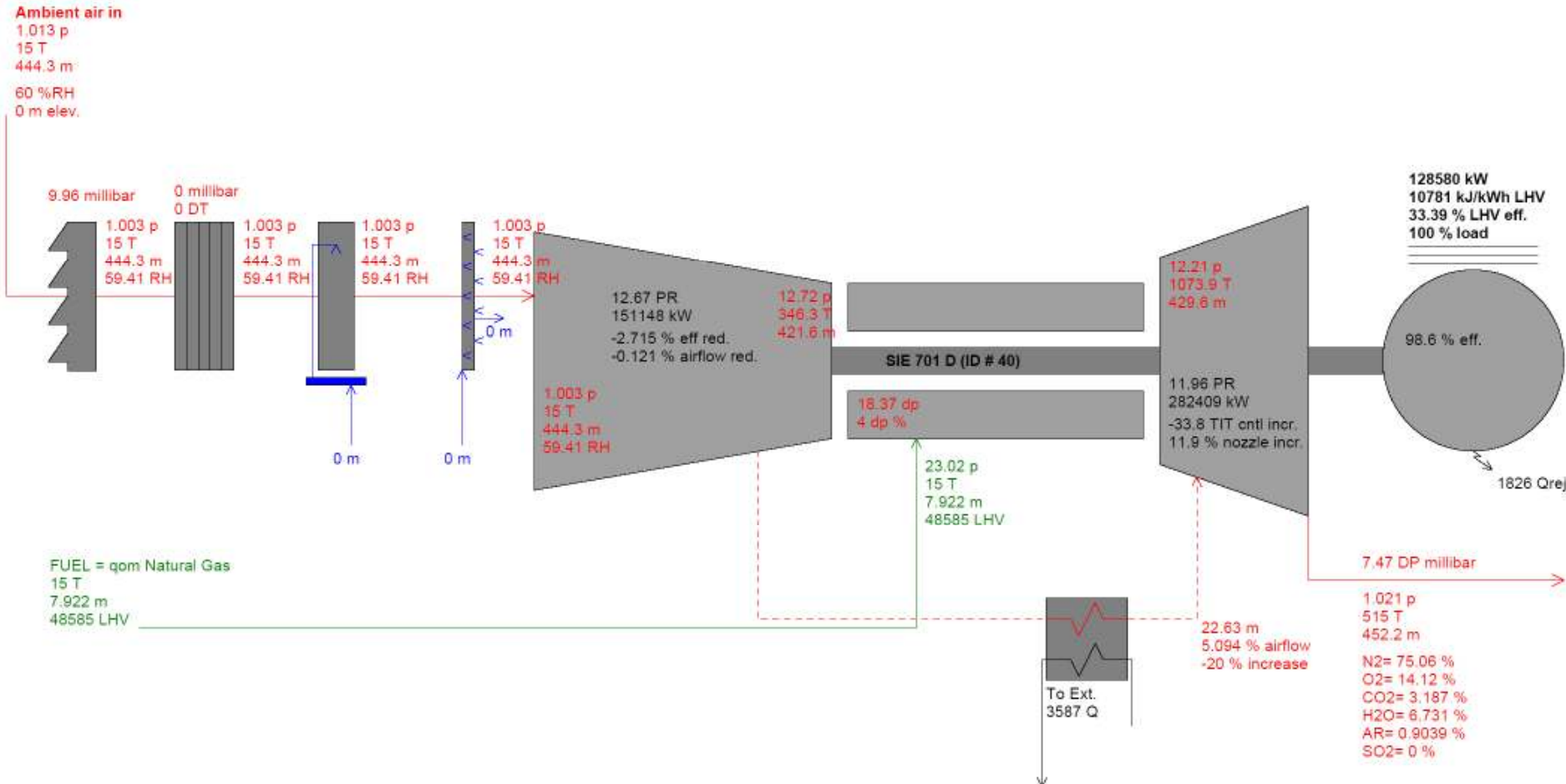
Manufacturer & Model	Other Name(s)	Shafts	RPM	PR	TIT C	TET C	Air Flow kg/s
Siemens W701 D	MHI, Westinghouse 701 D	1	3000	14.2	1116	511	448
Manufacturer & Model	Other Name(s)		Gen Power kWe	LHV HR kJ/kWh	LHV Eff %	Price MM\$	
Siemens W701 D	MHI, Westinghouse 701 D		132220	10529	34.2	24.5	

نتایج مدلسازی واحد گازی این نیروگاه پس از تنظیم مدل انتخابی W701D با مدل میتسوبیشی MW701D ارائه شده و با اطلاعات طراحی مقایسه می‌گردد.

شماتیک مدل ساخته شده واحدهای گازی نیروگاه مورد نظر در شرایط ایزو با سوختهای گاز طبیعی و گازوئیل به ترتیب در شکل ۱-۲ و شکل ۱-۳ نمایش داده شده است.

مقایسه نتایج حاصل از نرمافزار GT Pro با اطلاعات طراحی حاکی از تطبیق مدل ساخته شده با مدل واقعی می‌باشد.

1. Model Adjustments to match your data

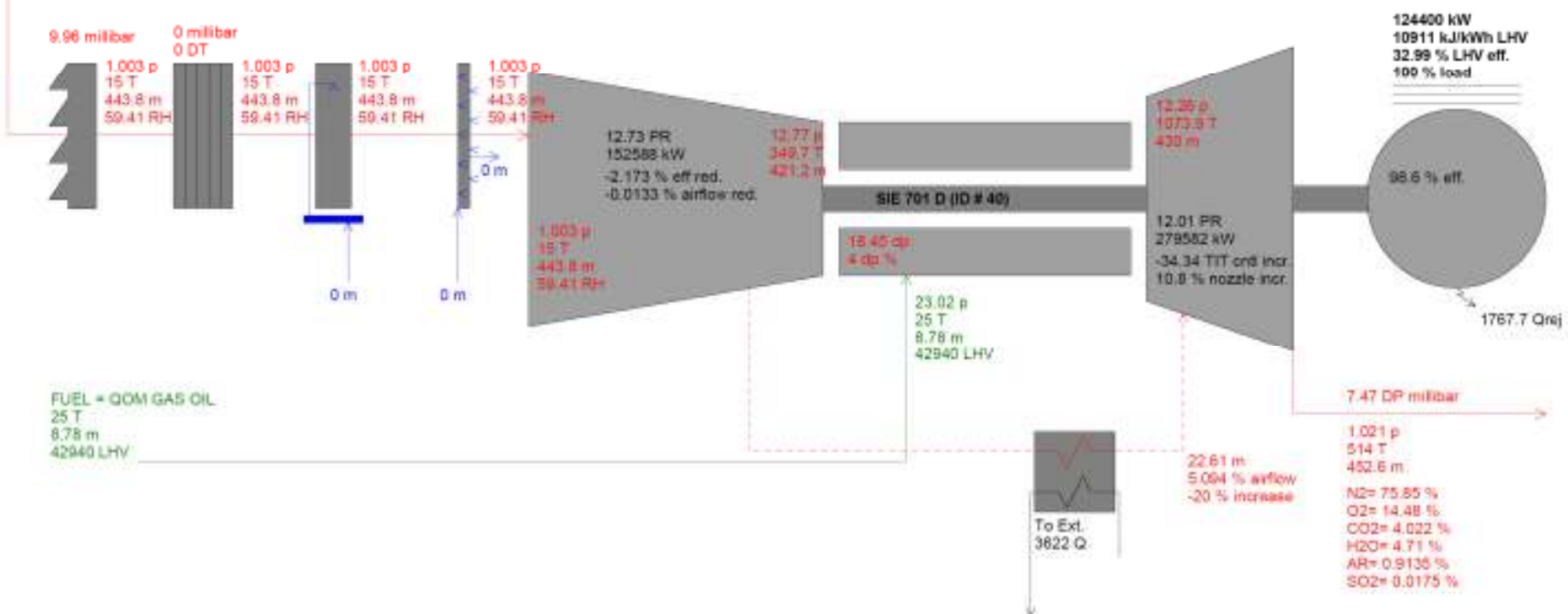


شکل ۱-۲. شماتیک مدل واحدهای گازی نیروگاه مورد نظر در شرایط ایزو با سوخت گاز طبیعی با تنظیم شرایط مدل W701D

Ambient air in

1.013 p  
15 T  
443.8 m  
59.41 RH

60 %RH  
0 m elev.



شکل ۱-۳. شماتیک مدل واحدهای گازی نیروگاه مورد نظر در شرایط ایزو با سوخت گازوئیل با تنظیم شرایط مدل W701D

## ۲-۴-۱. مدلسازی واحدهای گازی در شرایط ایزو با استفاده از نرمافزار GT Pro با فراخوانی نرمافزار GT Template

همانگونه که در فصل اول در بخش معرفی نرمافزار شرح داده شد، در صورت عدم وجود مدل مشابه واحد گازی نیروگاه مورد نظر در کتابخانه نرمافزار GT Pro، با داشتن اطلاعات طراحی واحد گازی، می‌توان آنرا در نرمافزار GT Template مدلسازی نموده و جهت استفاده در نرمافزار GT Pro فرا خوانی کرد.

با وارد کردن اطلاعات طراحی واحد گازی نیروگاه در شرایط ایزو با افت فشار صفر در هوای ورودی و دود خروجی، شامل:

توان ناخالص تولیدی

نوع سوخت مصرفی

واحد گازی Heat Rate

منحنی‌های مربوط به تاثیر پارامترهای محیطی (دما، فشار و رطوبت)

منحنی‌های مربوط به تغییرات بار و ارزش حرارتی سوخت بر راندمان، مصرف سوخت، دما و دبی دود خروجی و ... در نرمافزار GT Template مدل گازی نیروگاه مورد نظر طراحی گردید.

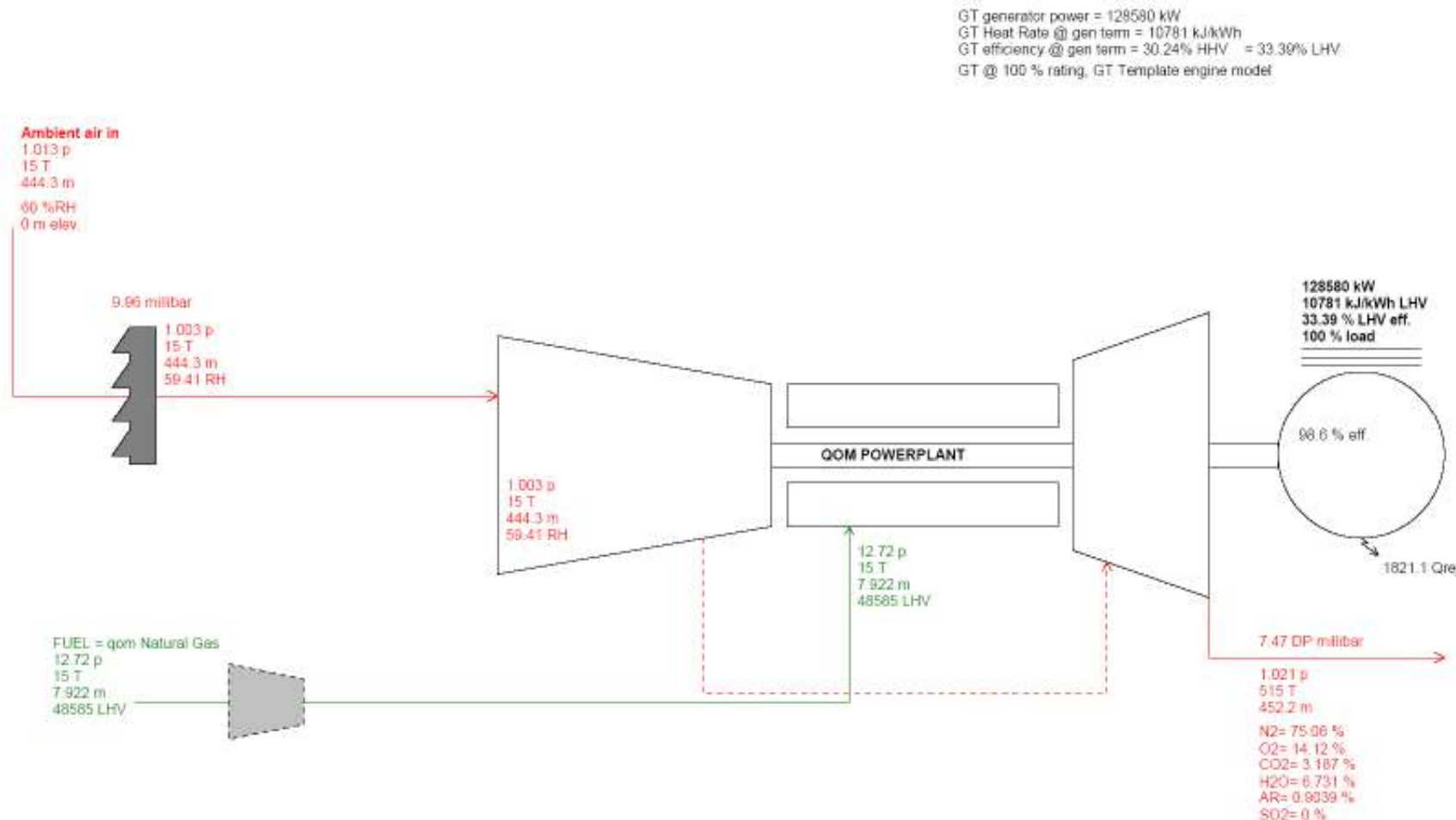
اطلاعات طراحی واحدهای گازی نیروگاه حاضر در شرایط ایزو بدون افت فشار در ورودی و خروجی برای دو سوخت گاز طبیعی و گازوئیل در جدول ۱-۲ ارائه شده است.

جدول ۱-۲. شرایط طراحی واحدهای گازی نیروگاه مورد نظر در شرایط ایزو و افت فشار صفر در ورودی و خروجی

شرایط گارانتی واحدهای گازی نیروگاه مورد نظر در شرایط ایزو و افت فشار صفر در ورودی و خروجی		
گازوئیل	گاز طبیعی	نوع سوخت مصرفی
۱۲۷۰۳۰	۱۳۰۴۶۰	توان نرمال (کیلووات)
۲۵۷۷(۱۰۷۸۹)	۲۵۵۲(۱۰۶۸۵)	Heat rate (کیلوکالری (کیلوژول) بر کیلووات ساعت)

شماییک مدل ساخته شده واحدهای گازی نیروگاه مورد نظر در شرایط ایزو با سوخت گاز طبیعی و افت فشار در ورودی هوا و خروجی دود با استفاده از نرمافزار GT Pro با فراخوانی نرمافزار GT Template در شکل ۱-۴-۱ نمایش داده شده است.

مقایسه نتایج حاصل از نرمافزارهای GT Pro و GT Template با اطلاعات طراحی، حاکی از تطبیق مدل ساخته شده با مدل واقعی می‌باشد.



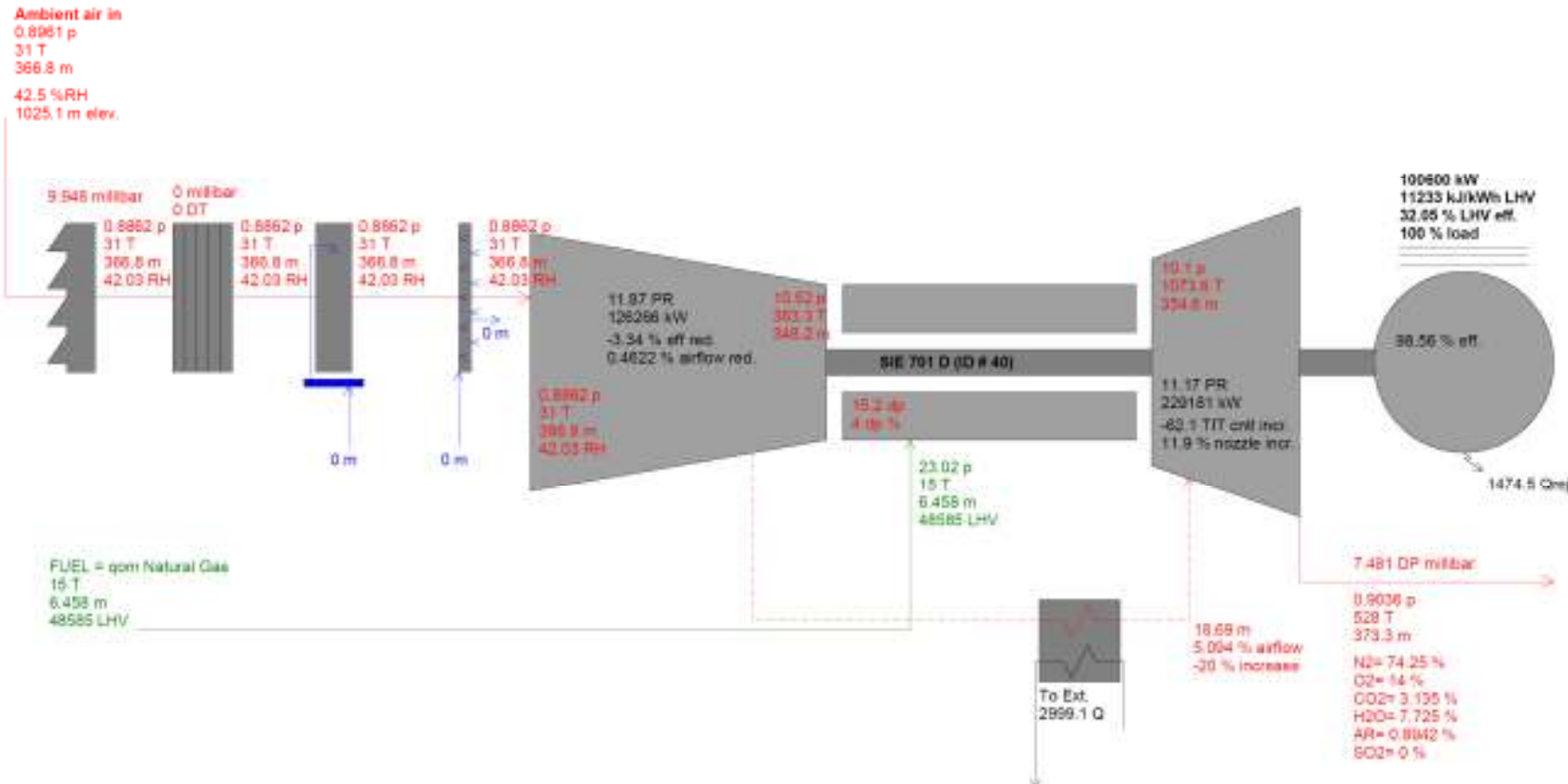
شکل ۱-۴. شماتیک مدل واحدهای گازی نیروگاه مورد نظر در شرایط ایزو با سوخت گاز طبیعی با مدل ساخته شده در GT Template

با وجود تطبیق مدل‌های ساخته شده به دو روش فوق الذکر با شرایط واقعی، روش استفاده از مدل تنظیم شده برای مدلسازی دقیق در شرایط سایت نیروگاه در نرم‌افزار MHI. Westinghouse 701D GT Master انتخاب گردید. علت این انتخاب، بالا بودن خطای بالانس انرژی انجام گرفته در نرم‌افزار Pro با فراخوانی نرم‌افزار GT Template در مقایسه با بالانس انرژی مدل تنظیم شده W701D بوده است که علت این امر را می‌توان، محدود بودن اطلاعات طراحی وارد شده در GT Template (به طور مثال استفاده از منحنی‌های تاثیر رطوبت بر توان تولیدی از فرضیات خود نرم‌افزار) دانست.

#### ۴-۳. مدلسازی واحدهای گازی مورد نظر در شرایط سایت با استفاده از نرم‌افزار GT Master

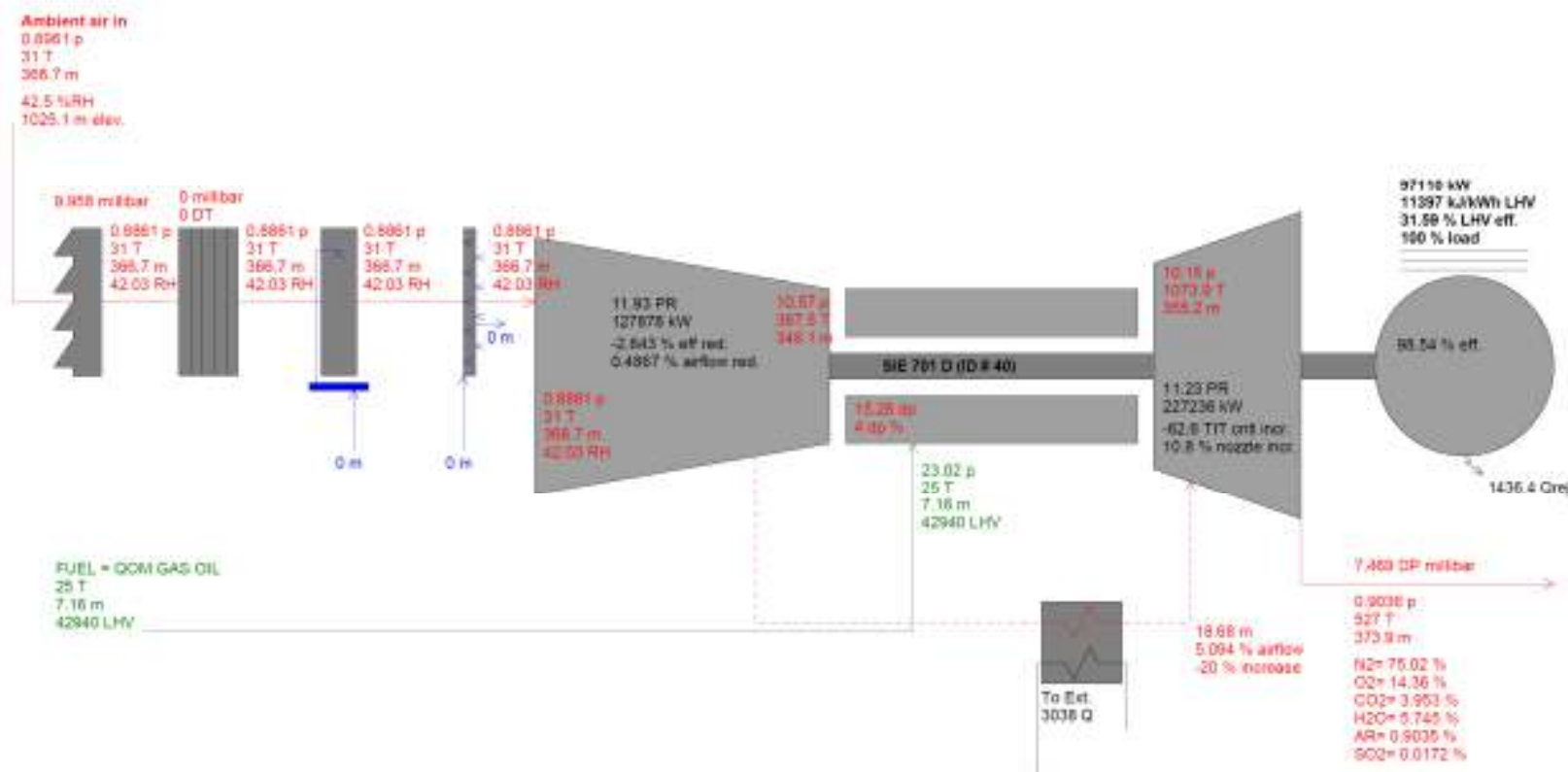
پس از انتخاب مدل زیمنس و تنظیم آن با اطلاعات طراحی شرایط ایزو در نرم‌افزار Pro. واحدهای گازی نیروگاه در شرایط سایت با استفاده از نرم‌افزار GT Master شبیه‌سازی شده است. شماتیک مدل ساخته شده واحدهای گازی نیروگاه حاضر در شرایط سایت با سوخت گازطبيعي و سوخت مایع با استفاده از نرم‌افزار GT Master با مدل زیمنس تنظیم شده، به ترتیب در شکل ۱-۵ و شکل ۱-۶ نمایش داده شده است. مقایسه نتایج حاصل از شبیه‌سازی واحدهای گازی نیروگاه مورد نظر با سوخت گازطبيعي و سوخت مایع در شرایط سایت با استفاده از نرم‌افزار GT Master، با اطلاعات طراحی، تطبیق مدل ساخته شده با مدل واقعی را تائید نمود.

GT generator power = 100600 kW  
 GT Heat Rate @ gen term = 11233 kJ/kWh  
 GT efficiency @ gen term = 29.025% HHV = 32.05% LHV  
 GT @ 100 % rating, inferred TIT control model, CC limit



شکل ۱-۵. شماتیک مدل شبیه‌سازی شده واحدهای گازی نیروگاه مورد نظر در شرایط سایت با سوخت گاز طبیعی

GT generator power = 97110 kW  
 GT Heat Rate @ gen term = 11397 kJ/kWh  
 GT efficiency @ gen term = 39.576% HHV = 31.59% LHV  
 GT @ 100 % rating, inferred TIT control model, CC limit



شکل ۱-۶. شماتیک مدل شبیه‌سازی شده واحدهای گازی نیروگاه مورد نظر در شرایط سایت با سوخت مایع

## ۱-۵. مدلسازی واحدهای سیکل ترکیبی نیروگاه مورد نظر در شرایط طراحی

در این بخش از گزارش، واحدهای سیکل ترکیبی نیروگاه با استفاده از نرمافزار GT Pro براساس اطلاعات طراحی در شرایط سایت نیروگاه در زمان بهره برداری سیکل ترکیبی، با استفاده از مدل واحدهای گازی ساخته شده در مراحل قبلی، مدل سازی شد.

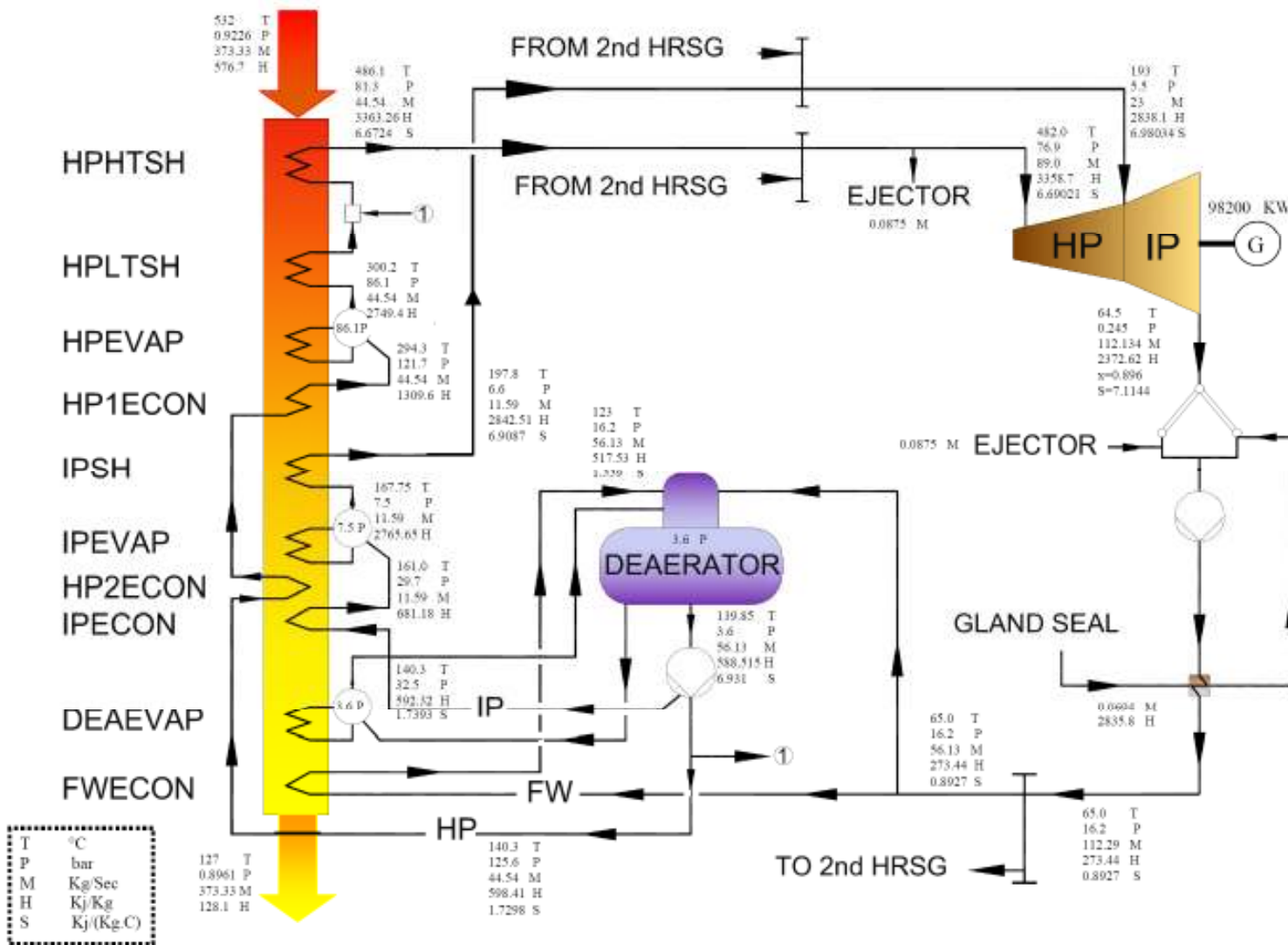
اطلاعات ترمودینامیکی سیکل تولید بخار در شرایط طراحی (بار پایه و دمای ۳۱ درجه سانتیگراد و سوخت گاز طبیعی در واحدهای گازی مربوطه) در شکل ۱-۷ ارائه شده است.

جهت ساخت مدل سیکل ترکیبی نیروگاه مورد نظر با استفاده از نرمافزار GT Pro با انتخاب تجهیزات مناسب با سیکل ترکیبی (بویلر بازیافت حرارت با دو بخار تولیدی فشار قوی و فشار متوسط، توربین بخار و کندانسور) شماتیک مدل سیکل ترکیبی این نیروگاه تعیین گردید. پس از وارد کردن شرایط دما و فشار و رطوبت محیط در شرایط سایت در زمان بهره برداری سیکل ترکیبی، مدل واحد گازی با تنظیمات به دست آمده در مراحل قبلی انتخاب می‌گردد. پس از تکمیل ورودی‌های واحد گازی، ورودی‌های واحد بخار و ساختار داخلی بویلر بازیافت حرارت از لحاظ چیدمان مبدل‌های موجود در آن و شرایط ترمودینامیکی سیال در نقاط مختلف بر اساس اطلاعات طراحی موجود تنظیم می‌گردد.

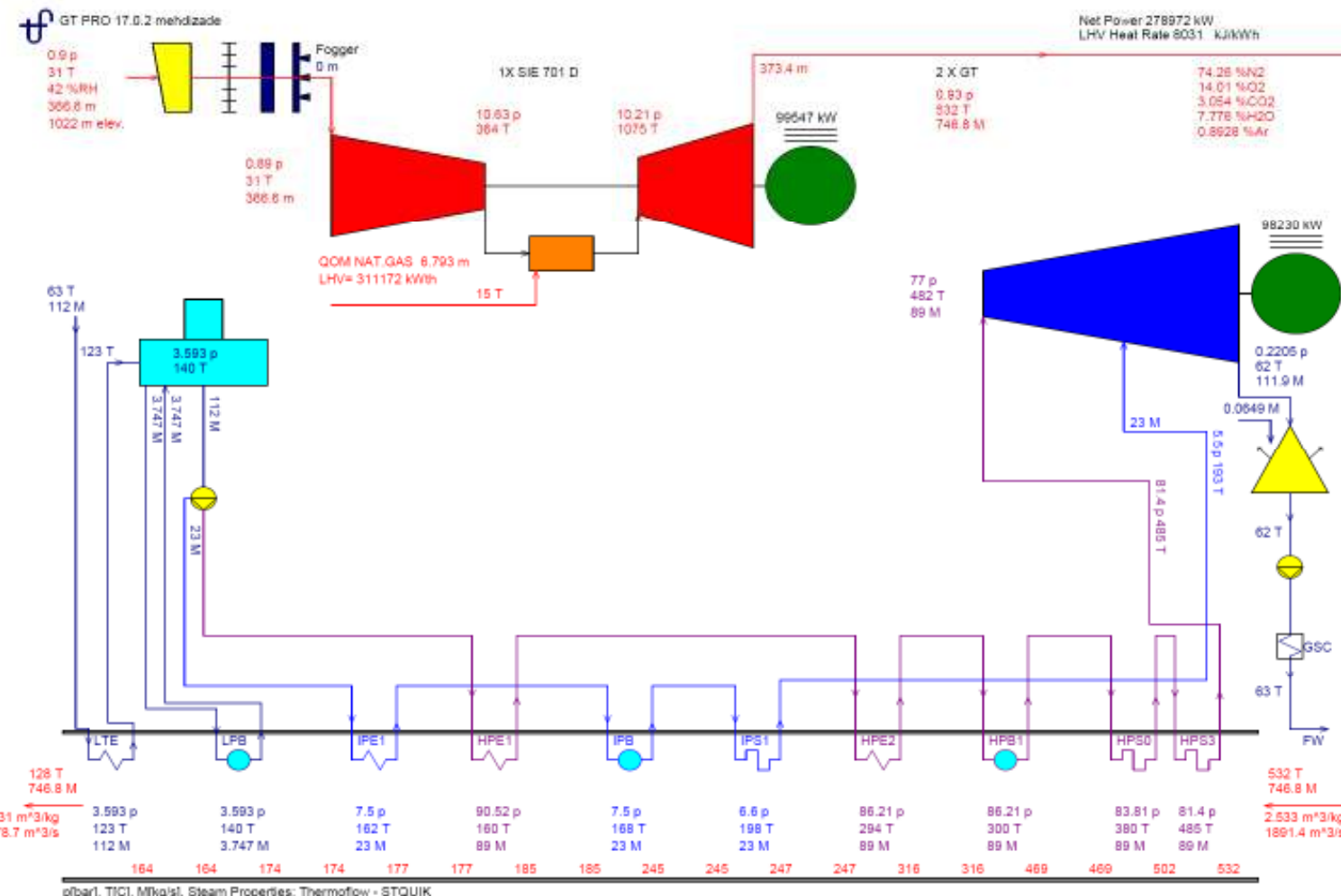
نمایش گرافیکی مدل ساخته شده سیکل ترکیبی نیروگاه حاضر با استفاده از نرمافزار GT Pro در شرایط سایت در زمان بهره برداری سیکل ترکیبی با سوخت گاز طبیعی واحدهای گازی مربوطه در شکل ۱-۸ نمایش داده شده است.

مقایسه نتایج حاصل از شبیه‌سازی سیکل ترکیبی نیروگاه مورد نظر در شرایط سایت با استفاده از نرمافزار GT Pro (شکل ۱-۸) با اطلاعات طراحی نیروگاه در زمان بهره برداری سیکل ترکیبی این نیروگاه (شکل ۱-۷) حاکی از تطبیق مدل ساخته شده با مدل واقعی می‌باشد.

پس از مدلسازی سیکل در نرمافزار GT Pro با وارد کردن سیکل مدل سازی شده به نرمافزار GT Master می‌توان عملکرد سیکل را در شرایط مختلف شبیه‌سازی نمود.



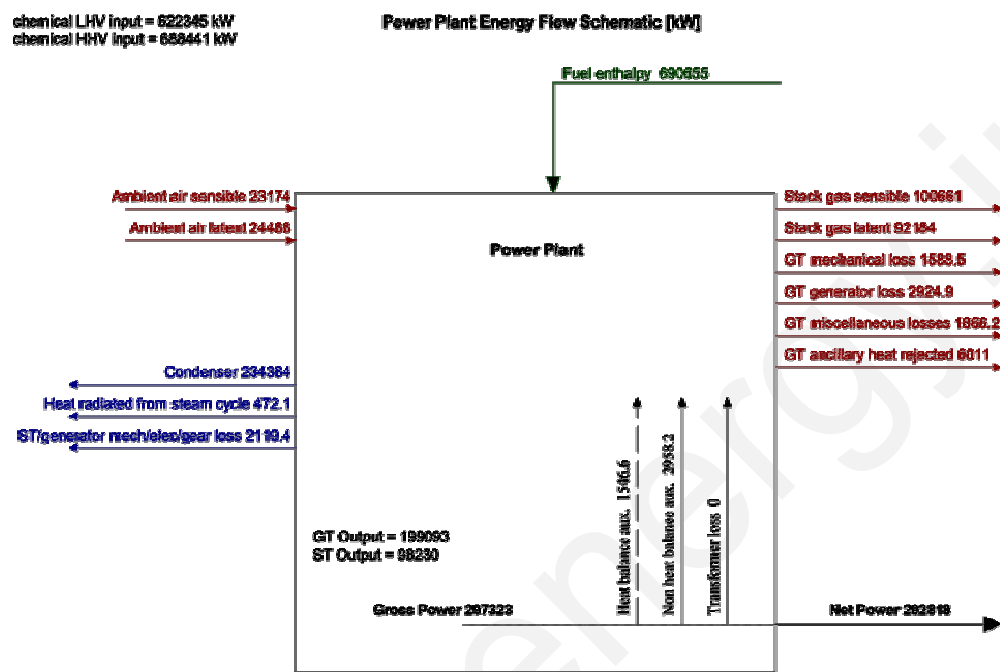
شکل ۱-۷. اطلاعات ترمودینامیکی سیکل تولید بخار در شرایط طراحی(بار پایه و دمای ۳۱ درجه سانتیگراد و سوخت گاز طبیعی در واحدهای گازی مربوطه)



شکل ۱-۸. نمایش گرافیکی مدل ساخته شده سیکل ترکیبی نیروگاه مورد نظر با استفاده از نرم افزار GT Pro در شرایط سایت

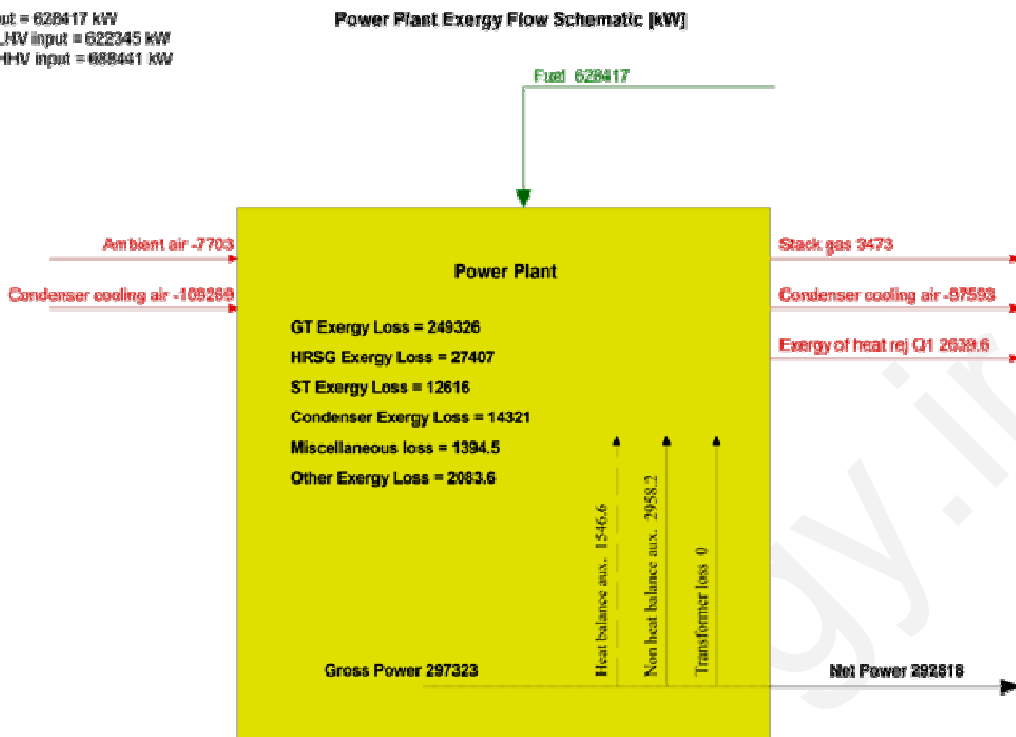
## ۱-۶. نمودار جریان‌های انرژی و اگزرزی

نمودار جریان‌های انرژی و اگزرزی واحدهای سیکل ترکیبی نیروگاه مورد بررسی در گزارش در شرایط طراحی به ترتیب در شکل ۹-۱ و شکل ۱۰-۱ آمده است.



شکل ۹-۱. نمودار جریان‌های انرژی در سیکل ترکیبی نیروگاه مورد نظر

Fuel exergy input = 628417 kW  
 Fuel chemical LHV input = 622345 kW  
 Fuel chemical HHV input = 688441 kW



Reference: 1.013 bar, 25 °C, water as vapor.

شکل ۱-۱۰. نمودار جریانهای اگزرزی در سیکل ترکیبی نیروگاه حاضر

## ۱-۷. آنالیز و راندمان انرژیتیک و اگزرزیتیک و Heat Rate سیکل

راندمان انرژی، Heat rate و راندمان اگزرزی نیروگاه با استفاده از روابط زیر قابل محاسبه است [۲، ۳، ۴]:

$$\eta = \frac{\text{Power Production}}{\text{Energy Input}} \times 100 \quad (1-1)$$

$$\text{Heat rate} \left( \frac{\text{Kj}}{\text{KWh}} \right) = \frac{3600}{\eta} \quad (2-1)$$

$$\eta_{II} = \frac{\text{Produced Power}}{\text{Exergy Input}} \quad (3-1)$$

جدول ۱-۳. نتایج تحلیل انرژی و اگزرزی واحد گازی و سیکل ترکیبی نیروگاه مورد نظر در شرایط طراحی

نتایج تحلیل انرژی و اگزرزی سیکل		
۳۱/۹۹	راندمان٪	واحد گازی
۱۱۲۵۳	Heat Rate (Kj/KWh)	
۳۱/۶۸	راندمان اگزرزی٪	
۴۷/۷۷	راندمان٪	سیکل ترکیبی
۷۵۳۵	Heat Rate (Kj/KWh)	
۴۷/۳۱	راندمان اگزرزی٪	

معمولًاً راندمان سیکل ترکیبی حدود ۱/۵ برابر راندمان واحد گازی می‌باشد، که نتایج به دست آمده نیز تأیید کننده این مطلب می‌باشد.

#### ۱-۴. آنالیز راندمان‌های انرژیتیک و اگزرزیتیک هریک از المان‌های سیکل

به منظور تحلیل المان‌های سیکل در شرایط طراحی، راندمان‌های آیزنتروپیک و اگزرزیتیک المان‌های سیکل محاسبه شده است. نتایج تحلیل انرژیتیک و اگزرزیتیک المان‌های واحد گازی این نیروگاه در شرایط طراحی با سوخت گاز طبیعی در جدول ۱-۴ ارائه شده است.

جدول ۱-۴. نتایج تحلیل انرژیتیک و اگزرزیتیک المان‌های موجود در واحد گازی نیروگاه سیکل ترکیبی مورد نظر

نتایج تحلیل انرژیتیک و اگزرزیتیک کمپرسور	
۹۲/۹۲	راندمان آیزنتروپیک٪
۶۳/۰۴	راندمان آیزووترمال٪
۹۶/۱۴	راندمان اگزرزیتیک٪
۱۲۶/۵۲	توان مصرفی کمپرسور(مگا وات)
۳۴۰	شدت مصرف انرژی الکتریکی (کیلوژول بر متر مکعب)
نتایج تحلیل انرژیتیک و اگزرزیتیک توربین گازی	
۹۱/۵۸	راندمان آیزنتروپیک٪
۹۶/۱۳	راندمان اگزرزی٪
۲۲۸/۳۳	توان تولیدی توربین(مگا وات)
۹۸/۵۵	راندمان ژنراتور واحد بخار٪

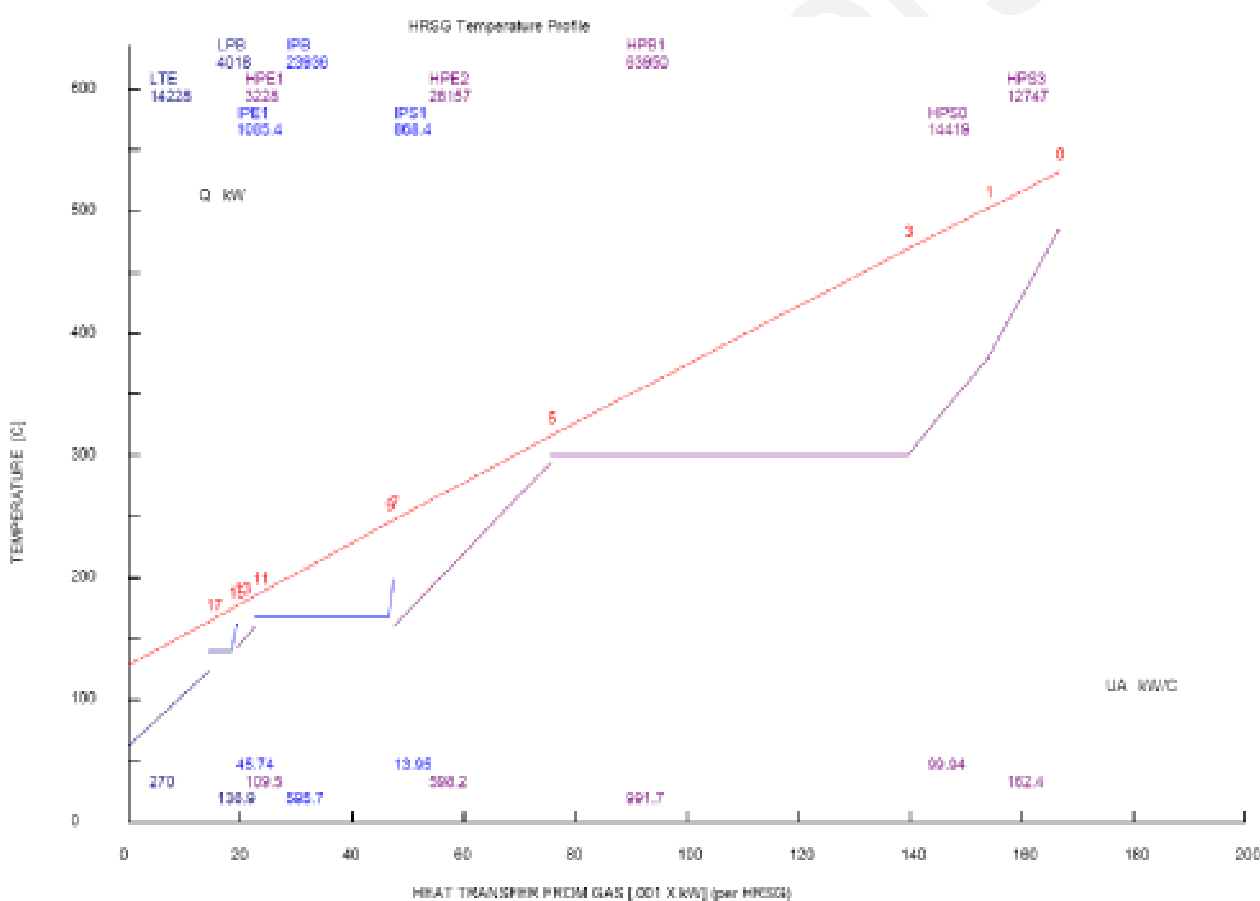
در ادامه المان‌های سیکل بخار مورد بررسی قرار گرفته است. بدین منظور در ابتدا به بررسی عملکرد بویلر

بازیافت حرارت پرداخته شده است. در شکل ۱۱-۱ نمودار T-Q برای بویلر بازیافت حرارت نیروگاه مورد نظر در شرایط طراحی با سوخت گاز طبیعی رسم شده است.

با توجه به دمای دود و بخار در نقاط مختلف بویلر که در شکل ۱۲-۱ نشان داده شده است، مقادیر Approach Point و Pinch Point برای بویلر بازیافت حرارت نیروگاه مورد بررسی در گزارش در شرایط طراحی محاسبه می‌شود [۵, ۶, ۷].

میزان مناسب Approach Point در بویلهای بازیافت حرارت با دمای دود ورودی ۳۷۰ الی ۶۵۰ درجه سانتیگراد، حدود ۵ الی ۲۵ درجه سانتیگراد و میزان مناسب Pinch Point در صورت وجود فین در محدوده ۵ تا ۱۷ درجه سانتیگراد است [۲۰, ۲۱].

با مقایسه مقادیر Approach Point و Pinch Point به دست آمده برای مسیرهای فشار متوسط و فشارقوی بویلهای بازیافت حرارت نیروگاه مورد نظر با مقادیر مناسب، شرایط طراحی بویلهای بازیافت حرارت این نیروگاه مناسب ارزیابی گردید.



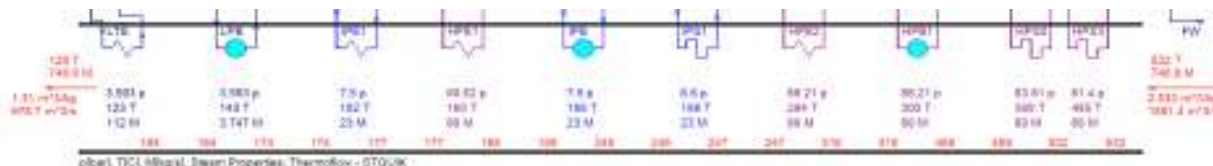
شکل ۱۱-۱. نمودار T-Q برای بویلر بازیافت حرارت نیروگاه سیکل ترکیبی مورد نظر

*HP Pinch Point: 316-300=16*

*HP Approach Point: 300-294=6*

*IP Pinch Point: 185-168=17*

*IP Approach Point: 168-162=6*



شکل ۱۲-۱. تغییرات دمای دود و بخار درون بویلر بازیافت حرارت

نتایج تحلیل انرژیتیک و اگزرژیتیک المانهای واحد بخار نیروگاه سیکل ترکیبی حاضر در جدول ۱-۵ ارائه

شده است.

جدول ۱-۵. نتایج تحلیل انرژی و اگزرژی المانهای واحد بخار نیروگاه سیکل ترکیبی مورد نظر در شرایط طراحی

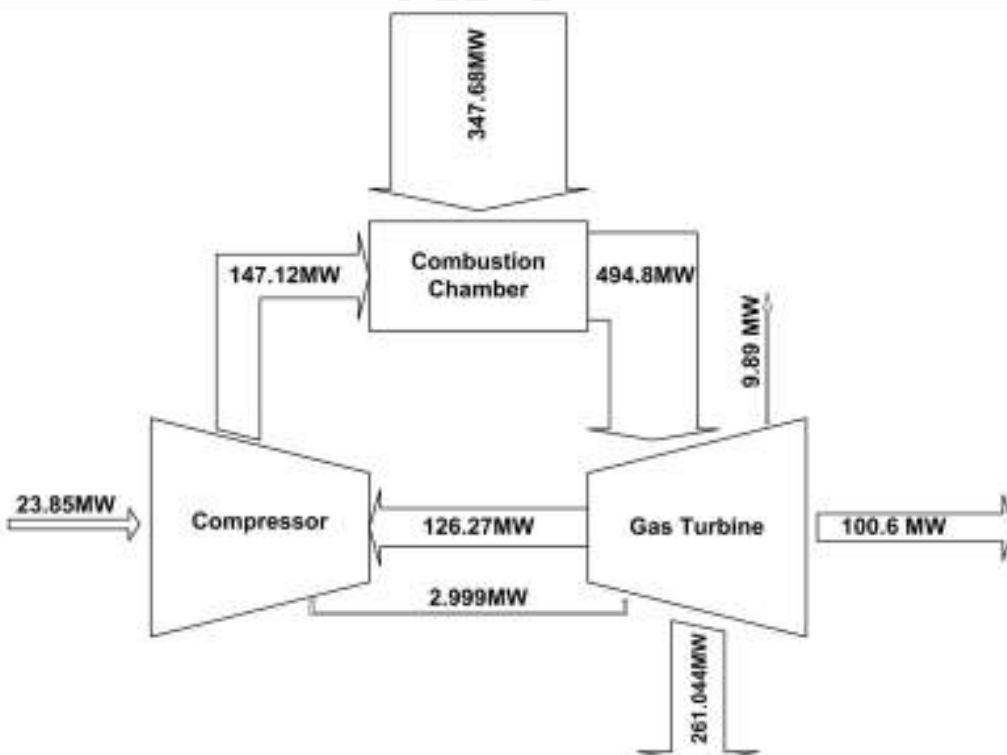
نتایج تحلیل انرژی و اگزرژی بویلر بازیافت حرارت	
۹۶	% Effectivness
۷۱/۶۱	راندمان انرژی٪
۷۷/۵۷	راندمان اگزرژی٪
نتایج تحلیل انرژی و اگزرژی توربین بخار	
۹۱/۳۸	راندمان آیزنتروپیک٪
۹۲/۷۷	راندمان اگزرژی٪
۱۰۰/۳۵	توان تولیدی توربین (مگا وات)
۹۷/۹	راندمان ژنراتور واحد بخار
نتایج تحلیل انرژی و اگزرژی ACC	
۹۴/۱	% Effectivness
۲۳۴/۳۵۸	توان مبادله شده با هوا(مگا وات)
۲۶۱۰	توان مصرفی فنهای کندانسور (کیلو وات)
۱۴/۳۲۱	اگزرژی مبادله شده با هوا(مگا وات)
۲۱/۸	بازگشت ناپذیری(مگا وات)
نتایج تحلیل انرژی و اگزرژی پمپ کندانس <sup>۱</sup>	

۱. تحلیلهای پمپ کندانس و پمپ آب تغذیه در شرایط تست کار کرد انجام گرفته است.

۷۷/۷۹	راندمان آیزوترمال طراحی٪
۶۵/۰۴	راندمان آیزنتروپیک تست کارایی٪
۶۵/۰۳	راندمان آیزوترمال تست کارایی٪
۷۸/۷۷	راندمان اگزرزی تست کارایی٪
۳۷۵	توان مصرفی الکتروموتور در حالت طراحی (کیلو وات)
۳۳۷	توان مصرفی پمپ در حالت طراحی (کیلو وات)
۸۹/۸۹	راندمان الکتروموتور٪
نتایج تحلیل انرژی و اگزرزی پمپ آب تعذیه <sup>۱</sup>	
۶۲/۵۲	راندمان آیزوترمال٪
۵۸/۳۹	راندمان اگزرزی٪
۱۱۰۰	توان مصرفی الکتروموتور (کیلو وات)

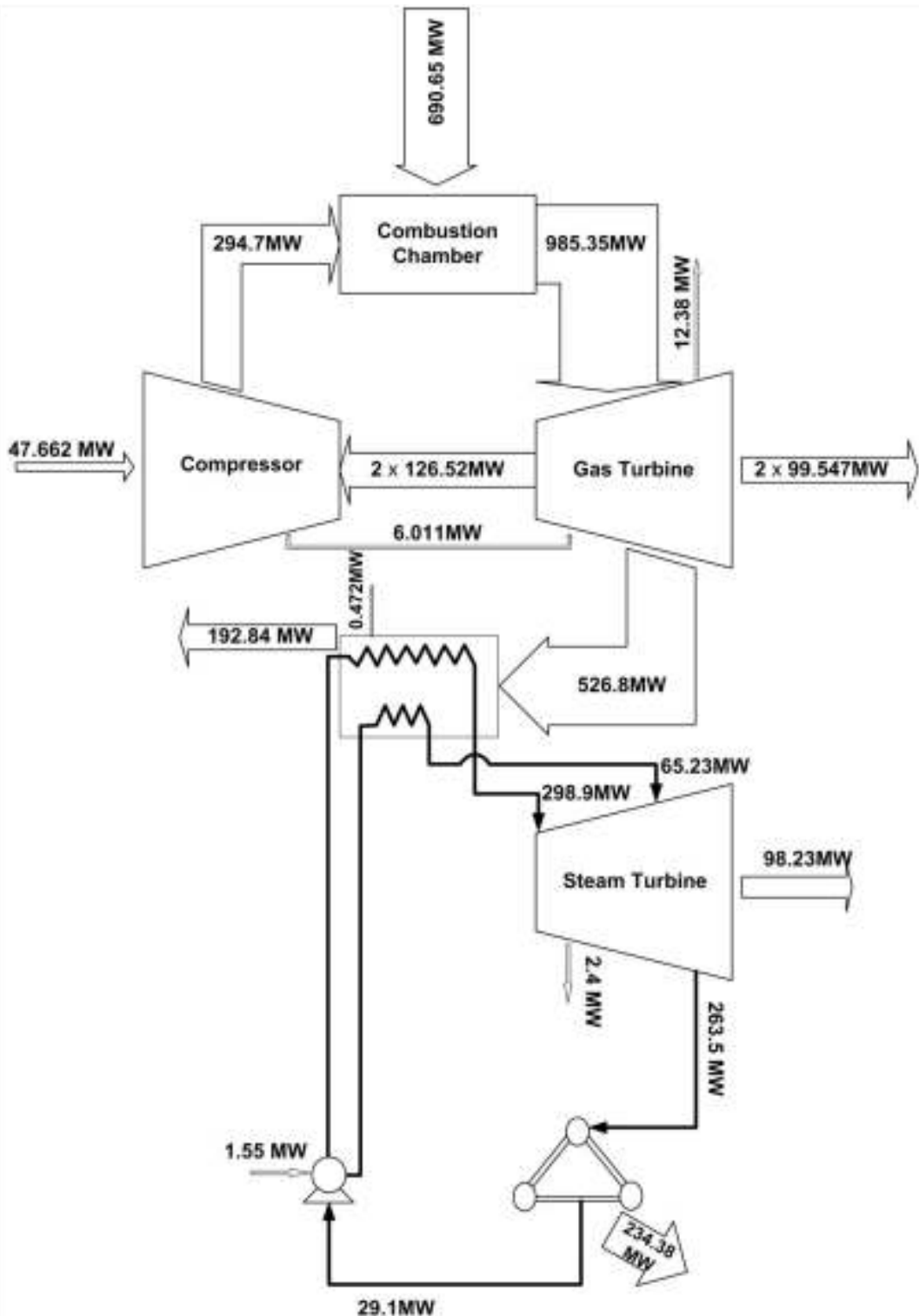
#### ۱-۸-۱. مقایسه چرخه‌های توانی واحدهای گازی و سیکل ترکیبی نیروگاه مورد نظر

چرخه برایتون واحدهای گازی نیروگاه مورد بررسی در گزارش در شرایط سایت با سوخت گاز طبیعی به همراه مقدادیر کمی جریانهای انرژی در بخش‌های مختلف نیروگاه براساس نتایج حاصل از نرم‌افزار در شکل ۱-۱۳ نمایش داده شده است.



شکل ۱-۱۳. چرخه برایتون واحدهای گازی نیروگاه مورد نظر در شرایط طراحی

چرخهٔ ترکیبی برایتون / رانکین واحدهای سیکل ترکیبی نیروگاه مورد نظر در شرایط سایت با سوخت گاز طبیعی به همراه مقادیر کمی جریانهای انرژی در بخش‌های مختلف نیروگاه براساس نتایج حاصل از نرم‌افزار در شکل ۱۴-۱ نمایش داده شده است.



شکل ۱۴-۱. چرخهٔ ترکیبی برایتون / رانکین واحدهای سیکل ترکیبی نیروگاه مورد نظر در شرایط طراحی

## فصل دوم

### ارزیابی عملکرد سیکل بر اساس نتایج اندازه گیری با استفاده از نرم افزار Thermoflow

#### ۱-۱. تعیین ورودیهای نرم افزار با پردازش اطلاعات اندازه گیری و پایش

در این بخش از گزارش با تلفیقی از نتایج اندازه گیری، پایش دستگاههای اندازه گیری موجود در نیروگاه و نتایج حاصل از شبیه سازی، صحت سنجی نتایج حاصل صورت گرفته و مقادیر قابل قبول تعیین می گردد. پارامترهای مورد نیاز جهت ممیزی انرژی نیروگاه را می توان به سه دسته تقسیم کرد:

۱- پارامترهایی همچون دما و رطوبت هوای ورودی به کمپرسور که تنها توسط دستگاههای پرتابل اندازه گیری و ثبت می گردد.

۲- پارامترهایی که علاوه بر اندازه گیری با دستگاههای پرتابل، توسط دستگاههای اندازه گیری موجود در سیستم نیروگاه نیز اندازه گیری می شوند. از جمله این پارامترها می توان به اطلاعات مربوط به دما و فشار سیال درون سیکل (آب و بخار موجود در سیکل بخار و هوای خروجی کمپرسور و دود ورودی به توربین) اشاره کرد.

۳- پارامترهایی که تنها توسط دستگاههای اندازه گیری موجود در سیستم نیروگاه اندازه گیری می شوند. که دبی آب در نقاط مختلف سیکل از خروجی کندانسور تا ورود به بویلر بازیافت حرارت از جمله این پارامترها می باشد.

با وارد کردن اطلاعات ورودی نرم افزار در زمان اندازه گیری، در نرم افزار GT Master برای مدل ساخته شده نیروگاه سیکل ترکیبی مورد نظر شامل:

- شرایط جوی نیروگاه در زمان اندازه گیری (دما و رطوبت محیط اندازه گیری شده و ارتفاع نیروگاه)
- فشار کندانسور
- فشار و دمای آب جبرانی سیکل و میزان آب تخلیه
- آنالیز سوخت مصرفی
- دما و فشار سوخت مصرفی
- افت فشار درهای ورودی به کمپرسور و گازهای خروجی از دودکش
- فشار و دمای بخار فشار قوی ورودی به توربین بخار

خروجی‌های نرم‌افزار مشخص شده و سپس با نتایج اندازه گیری پردازش شده، تطبیق داده می‌شود.  
از اطلاعات ورودی فوق الذکر در مرحله اول اجرای نرم‌افزار GT Master، شرایط جوی و میزان آب تخلیه اندازه گیری شده است و بقیه اطلاعات از ثبت اطلاعات پایش نیروگاه استخراج شده است و امکان اندازه گیری این پارامترها با دستگاههای اندازه گیری پرتابل وجود ندارد.

#### ۱-۱. تعیین دبی هوای ورودی به کمپرسور

هوای ورودی به اتاق فیلتر واحدهای گازی نیروگاه حاضر از طریق یک داکت به ابعاد  $6/3 \times 3$  متر از اتاق فیلتر به سمت کمپرسور خارج می‌گردد. برای توربین گازی G12 هوای خروجی از اتاق فیلتر و ورودی به کمپرسور برابر  $20/4$  متر بر ثانیه با دمای  $34/5$  درجه سانتیگراد اندازه گیری گردید که بر این اساس با توجه به ابعاد داکت هوای ورودی به کمپرسور دبی هوای ورودی برابر  $386\text{ مترمکعب بر ثانیه}$  و  $389\text{ کیلوگرم بر ثانیه}$  محاسبه می‌گردد.

#### ۱-۲. تعیین میزان سوخت مصرفی

براساس آنالیز دود خروجی و اندازه گیری دبی جرمی هوای ورودی به کمپرسور و نوشتن موازنہ کربن می‌توان میزان سوخت را کالیبره کرد ولی با توجه به عدم اطمینان از نتایج اندازه گیری سرعت هوای ورودی، می‌توان با نوشتن موازنہ انرژی مقدار سوخت را تعیین کرد.

نتایج حاصل از پردازش آنالیز گازهای خروجی از توربین‌های گازی در روزهای اندازه گیری در جدول ۱-۲ ارائه شده است. لازم به ذکر است، میزان آب بر اساس نسبت مولی  $\text{CO}_2$  به آب تولیدی در واکنش احتراق با توجه به آنالیز گاز طبیعی در زمان اندازه گیری تعیین شده است.

جدول ۱-۱. نتایج حاصل از پردازش آنالیز گازهای خروجی دودکش توربینهای گازی

Location	Date	FT [°C]	N2 [%]	CO2 [%]	H2O [%]	O2 [%]	NO [ppm]	CO [ppm]	SO2 [%]
GT11 Outlet	88.3.25	513.76	74.70	3.44	6.59	15.26	0.02	0.00	0.00
GT12 Outlet		513.53	75.47	3.14	6.02	15.35	0.02	0.00	0.00
GT13 Outlet	88.3.26	517.13	74.62	3.42	6.55	15.39	0.02	0.00	0.00
GT14 Outlet		521.59	74.47	3.48	6.67	15.36	0.02	0.00	0.00

براساس رابطه (۱-۲) با داشتن درصد جرمی کربن، هیدروژن، اکسیژن و سولفور موجود در سوخت می‌توان هوای تئوری مورد نیاز را برای احتراق کامل سوخت تعیین کرد [۲].

۱-۲

$$\text{Theoretical air required} \left( \frac{\text{Kg of air}}{\text{Kg of fuel}} \right) = 11.6 \times C + [34.8 \times (H_2 - O_2/8)] + (4.35 \times S)$$

با توجه به آنالیز گاز طبیعی در زمان اندازه گیری، هوای تئوری مورد نیاز ۱۵/۷۵ کیلوگرم هوا به ازای یک کیلوگرم سوخت می‌باشد.

$$(\dot{m}_{air} / \dot{m}_{fuel}) \left( \frac{Kg}{Kg} \right) = Theoretical air required \left( \frac{Kg \text{ of air}}{Kg \text{ of fuel}} \right) \times EA \quad ۲-۲$$

$$\dot{m}_{flue gas} = \dot{m}_{air} + \dot{m}_{fuel} \Rightarrow (\dot{m}_{flue gas} / \dot{m}_{fuel}) \left( \frac{Kg}{Kg} \right) = 1 + (\dot{m}_{air} / \dot{m}_{fuel}) \left( \frac{Kg}{Kg} \right) \quad ۳-۲$$

موازنۀ انرژی برای واحد گازی براساس رابطه (۴-۲) نوشته می‌شود.

$$\dot{m}_{fuel} \times LHV_{fuel} \text{ with sensible heat} + \dot{m} \times (h_{air at T_{ambient}} - h_{air at 25^{\circ}C}) \quad ۴-۲$$

$$= \dot{m}_{flue gas} \times (h_{fluegas at T_{exhaust}} - h_{fluegas at 25^{\circ}C}) + Power + Loss$$

نتایج موازنۀ انرژی هر واحد گازی و تعیین میزان سوخت مصرفی براساس آنالیز گاز طبیعی مصرفی و آنالیز گازهای خروجی از هر واحد، با درنظر گرفتن تلفاتی حدود ۷٪ برق تولیدی برای هر توربوزنراتور در جدول ۲-۲ ارائه شده است.

جدول ۲-۲. نتایج موازنۀ انرژی هر واحد گازی و تعیین میزان سوخت مصرفی براساس آنالیز گازهای خروجی از هر واحد

Gas analysis	Temp. (°C)	O2 %	Ex.air %	EA <sup>4</sup>	$\dot{m}_{air}/\dot{m}_{fuel}$ (Kg/Kg)	$\dot{m}_{fluegas}/\dot{m}_{fuel}$ (Kg/Kg)	T <sub>amb.</sub> (°C)	Power KW	$\dot{m}^1_{Fuel}$ (Kg/Sec)	$\dot{m}^2_{Fuel}$ (Kg/Sec)	Error <sup>3</sup> %
88.3.25 GT11	513.8	15.26	265.7	3.66	57.6	58.59	30.5	88500	6.4	5.84	-9.7
88.3.25 GT12	513.5	15.35	271.7	3.72	58.5	59.53	37.9	90150	6.5	5.88	-11.4
88.3.26 GT13	517.1	15.39	274.6	3.75	59.0	59.99	35.4	98000	6.7	6.00	-12.0
88.3.26 GT14	521.6	15.36	272.5	3.72	58.7	59.66	35.4	97250	6.7	6.12	-9.9

۱. سوخت محاسبه شده براساس موازنۀ انرژی واحدهای گازی با توجه به آنالیز دود انجام گرفته

۲. سوخت ثبت شده براساس اطلاعات پایش نیروگاه

$$3. Error \% = ((m_{monitoring} - m_{Calculation}) / m_{monitoring}) \times 100$$

$$4. EA = I + Ex. Air / 100$$

براساس میزان سوخت به دست آمده از موازنۀ انرژی هر واحد گازی می‌توان میزان هوای ورودی را نیز با استفاده از رابطه (۲-۲) محاسبه کرد.

نتایج حاصل از محاسبه هوای ورودی به هر واحد گازی با استفاده از سوخت به دست آمده از موازنۀ انرژی آن واحد در جدول ۲-۳ ارائه شده است.

### جدول ۲-۳. نتایج محاسبه هوای ورودی به هر واحد گازی با استفاده از سوخت به دست آمده از موازنۀ انرژی آن واحد

Gas analysis	O2 %	Ex.air %	EA	$m_{air}/m_{fuel}$ (Kg/Kg)	$m_{fuel}^l$ (Kg/Sec)	$m_{air}$ (Kg/Sec)
<b>88.3.25 GT11</b>	15.26	265.7	3.66	57.6	6.4	369
<b>88.3.25 GT12</b>	15.35	271.7	3.72	58.5	6.5	380
<b>88.3.26 GT13</b>	15.39	274.6	3.75	59.0	6.7	395
<b>88.3.26 GT14</b>	15.36	272.5	3.72	58.7	6.7	393

۱. سوخت محاسبه شده براساس موازنۀ انرژی واحدهای گازی با توجه به آنالیز دود انجام گرفته

با مقایسه نتایج به دست آمده برای هوای ورودی به کمپرسور واحدهای گازی نیروگاه مورد نظر با نتایج اندازه گیری دبی هوای ورودی و دبی هوای ورودی در شرایط طراحی، اندازه گیری سرعت هوای خروجی از اتاق فیلتر و ورودی به کمپرسور مبنای محاسبات قرار می‌گیرد.  
حال با داشتن هوای ورودی و نوشتن موازنۀ کربن می‌توان میزان سوخت مصرفی را تعیین کرد.

$$\dot{m}_{air} \left( \frac{\text{Kg}}{\text{Sec}} \right) = \text{Theoretical air required} \left( \frac{\text{Kg of air}}{\text{Kg of fuel}} \right) \times EA \times \dot{m}_{fuel} \left( \frac{\text{Kg}}{\text{Sec}} \right) \quad (2-2)$$

$$\dot{m}_{fuel} = \frac{389 \frac{\text{Kg}}{\text{Sec}}}{15.75 \left( \frac{\text{Kg of air}}{\text{Kg of Fuel}} \right) \times 3.72} = 6.64 \frac{\text{Kg}}{\text{Sec}}$$

به این ترتیب خطای سوخت کنتور برابر است با:

$$Error\% = \frac{(5.88 - 6.64)}{5.88} \times 100 = -12.9\%$$

### ۲-۱-۳. تعیین میزان آب در گردش سیکل

خلاصه اطلاعات اندازه گیری و اطلاعات پایش مربوط به دبی آب در نقاط مختلف نیروگاه شامل دبی آب تغذیه فشار بالا و فشار متوسط ورودی به هریک از بویلهای بازیافت، دبی جریان کندانس هر واحد، دبی آب خنک کن سیکل بسته، در جدول ۲-۴ ارائه شده است.

جدول ۴-۲. خلاصه اطلاعات مربوط به اندازه گیری و پایش دبی در نقاط مختلف نیروگاه

Location	Measurement		Monitoring
	m <sup>3</sup> /h	Ton/h	Ton/h
High Pressure Feedwater Flow to HRSG11	166.47	155.65	152.6
Medium Pressure Feedwater Flow to HRSG11	44.84	41.7	41.54
High Pressure Feedwater Flow to HRSG12	164.52	153.5	152.4
Medium Pressure Feedwater Flow to HRSG12	47.32	43.9	44.46
Condensate Flow ( to HRSG11 Drearators)	203.8	199.52	212.65
Condensate Flow ( to HRSG12 Drearators)	205.78	201.5	201.42
CCCW Flow (Unit 1)	534.9	530.62	—
High Pressure Feedwater Flow to HRSG21	161.4	149.8	159.12
Medium Pressure Feedwater Flow to HRSG21	45.99	42.5	48.17
High Pressure Feedwater Flow to HRSG22	156.7	145.7	160
Medium Pressure Feedwater Flow to HRSG22	48.57	44.9	46.7
Condensate Flow ( to HRSG21 Drearators)	200.2	196	185.9
Condensate Flow ( to HRSG22 Drearators)	203.99	199.7	209.5
CCCW Flow (Unit 2)	536.7	532.9	—

همانگونه که مشخص است در بعضی از موارد مغایرت‌هایی بین اطلاعات پایش و اندازه گیری وجود دارد.

براساس موازنۀ جرم برای پمپ آب تغذیه هر واحد:

$$\text{Condensate Flow}_{\text{to HRSG Drearators}} = (\text{H.P. Feed water flow} + \text{I.P. feed water flow})_{\text{to HRSG}}$$

$$\text{Measurement for HRSG11 : } 199.52 \approx 155.65 + 41.7 = 197.35$$

$$\text{Monitoring for HRSG11 : } 212.65 \neq 152.6 + 41.54 = 194.14$$

$$\text{Measurement for HRSG12 : } 201.5 \approx 153.5 + 43.9 = 197.4$$

$$\text{Monitoring for HRSG12 : } 201.42 \approx 152.4 + 44.46 = 196.86$$

$$\text{Measurement for HRSG21 : } 196.0 \approx 149.8 + 42.5 = 192.3$$

$$\text{Monitoring for HRSG21 : } 185.9 \neq 159.12 + 48.17 = 207.29$$

$$\text{Measurement for HRSG22 : } 199.7 \approx 145.7 + 44.9 = 190.6$$

$$\text{Monitoring for HRSG22 : } 209.5 \approx 160.0 + 46.7 = 206.7$$

برقراری موازنۀ جرم پمپ آب تغذیه بویلهای بازیافت حرارت براساس نتایج اندازه گیری یکی از دلایل صحت اطلاعات اندازه گیری می‌باشد. لازم به ذکر است، در شبیه‌سازی نیروگاه سیکل ترکیبی مورد بررسی، در زمان اندازه گیری، میزان دبی آب در گردش سیکل و سهم دبی مسیر فشار قوی و فشار ضعیف پمپ آب تغذیه بر مبنای مدل ساخته شده در حالت طراحی، توسط نرم‌افزار تعیین می‌گردد و تعیین مقادیر قابل قبول به موازات تحلیل‌های صورت گرفته و شبیه‌سازی انجام شده، مشخص می‌شود.

براساس موازنۀ جرم برای بویلر واحد ۱ داریم:

$$\dot{m}_{BlowDown^*} = \dot{m}_{Inlet Water} - \dot{m}_{Outlet Steam}$$

$$\text{For IP Stream: } \dot{m}_{BlowDown} = 23.89 - 22.15 = 1.74 \frac{\text{Kg}}{\text{Sec}} \Rightarrow BlowDown\% = 7.3\%$$

$$\text{For HP Stream: } \dot{m}_{BlowDown} = 84.71 - 91.47 = -6.76 \frac{\text{Kg}}{\text{Sec}}$$

$$measurement = \frac{4.7}{(199.52 + 201.5)} \times 100 = 1.17\%$$

\*. منظور از بلودان، زیرآب دیگ بخار می‌باشد.

براساس موازنۀ جرم برای بویلر واحد ۲ داریم:

$$\dot{m}_{BlowDown} = \dot{m}_{Inlet Water} - \dot{m}_{Outlet Steam}$$

$$\text{For IP Stream: } \dot{m}_{BlowDown} = 26.36 - 24.21 = 2.15 \frac{\text{Kg}}{\text{Sec}} \Rightarrow BlowDown\% = 8.16\%$$

$$\text{For HP Stream: } \dot{m}_{BlowDown} = 88.65 - 93.36 = -4.71 \frac{\text{Kg}}{\text{Sec}}$$

$$measurement = \frac{4.5}{(196 + 199.7)} \times 100 = 1.14\%$$

همانگونه که از نتایج به دست آمده در موازنۀ بویلر مشخص شد، بلودان بخار فشار قوی در بویلر منفی شده

است و لذا مغایرت‌هایی در فلومترهای موجود در سیستم پایش نیروگاه دیده می‌شود.

#### ۴-۱-۲. تحلیل نتایج اندازه گیریهای الکتریکی

در گزارش نتایج اندازه گیری، نتایج اندازه گیریهای الکتریکی به همراه نمودار توان آنها به طور کامل آورده شد. در ادامه جهت بررسی اندازه گیریها، خلاصه‌ای از نتایج مذکور آمده است. جدول ۵-۲ اعداد اندازه گیری در سطح ولتاژ ۶/۶ کیلوولت در نیروگاه مورد نظر را نشان می‌دهد.

جدول ۲-۵. خلاصه نتایج اندازه گیری در سطح ولتاژ ۶/۶ کیلوولت در نیروگاه مورد نظر

سهم مصارف مختلف داخلی نسبت به کل (%)	متوسط توان اندازه گیری (KW)	ساعت اندازه گیری		نقاط اندازه گیری	تاریخ اندازه گیری	محل اندازه گیری	
		پایان	شروع				
—	5040.8	24:00	11:10	واحد بخار	صرف داخلی	واحد ۱ سیکل ترکیبی	
	389.5	17:58	16:27	واحد گازی ۱			
	379.7	17:52	16:10	واحد گازی ۲			
20.57	1036.9	15:06	13:11	پمپ آب تغذیه ۱	۱۳۸۸/۲/۲۵		
19.73	994.8	16:45	15:12	پمپ آب تغذیه ۴			
6.56	330.7	18:08	16:49	پمپ اصلی کندانس			
45.86	764.1	19:08	18:32	۱ ترانس	ACC فنهای		
	787.5	19:08	18:32	۲ ترانس			
	760.3	19:03	18:32	۳ ترانس			
—	4892.7	16:52	11:04	واحد بخار	صرف داخلی	واحد ۲ سیکل ترکیبی	
	387.6	15:05	12:17	واحد گازی ۳			
	388.4	15:05	12:17	واحد گازی ۴			
19.87	972.1	11:43	10:25	۵ پمپ آب تغذیه	۱۳۸۸/۲/۲۶		
19.87	972.2	11:43	10:25	۷ پمپ آب تغذیه			
6.32	309.4	15:07	11:56	پمپ اصلی کندانس			
46.82	781.6	16:31	15:41	۱ ترانس	ACC فنهای		
	761.1	16:31	15:41	۲ ترانس			
	748.1	16:26	15:35	۳ ترانس			
*	111.6	17:50	16:47	ورودی کل	۱۳۸۸/۲/۲۶	واحد آب دمین	

\* واحد آب دمین بعضی موقع از واحد ۱ بخار و بعضی موقع از واحد ۲ بخار تغذیه می‌شود، بنابراین در دیاگرام دایره‌ای، جزو سایر مصارف در نظر گرفته می‌شود.

همچنین در جدول ۲-۶ خلاصه نتایج اندازه گیری الکتریکی در سطح ولتاژ ۳۸۰ ولت در این نیروگاه آمده است.

جدول ۲-۶. خلاصه نتایج اندازه گیری در سطح ولتاژ ۳۸۰ ولت در نیروگاه مورد نظر

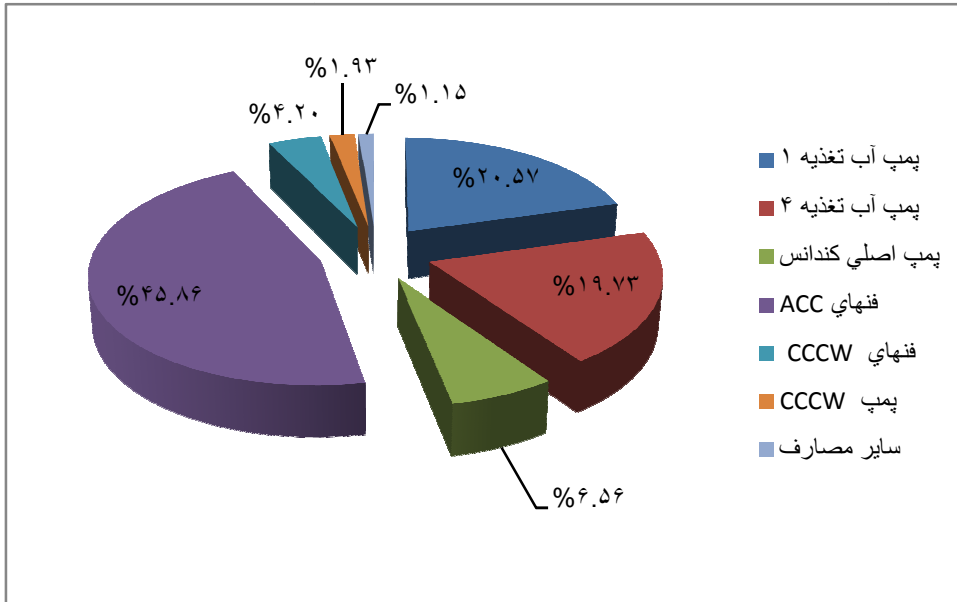
سهم مصارف مختلف داخلی نسبت به کل (%)	ضریب توان اندازه گیری	متوسط توان اندازه گیری (KW)	نقاط اندازه گیری	تاریخ اندازه گیری	محل اندازه گیری
4.20 *	—	—	AN001	۱۳۸۸/۲/۲۵	واحد ۱ سیکل ترکیبی
	0.51	25.8	AN002		
	—	—	AN003		
	0.49	25.2	AN004		
	—	—	AN005		
	0.49	29.4	AN006		
	0.52	24.9	AN007		
	0.52	27	AN008		
	1.93	0.37	97.2		
4.53	0.43	23.4	AN001	۱۳۸۸/۲/۲۶	واحد ۲ سیکل ترکیبی
	0.54	25.8	AN002		
	0.59	32.1	AN003		
	0.56	29.1	AN004		
	0.53	27.3	AN005		
	0.57	26.1	AN006		
	0.52	27.6	AN007		
	0.62	30.3	AN008		
	1.99	0.48	97.5		

\* جهت محاسبه سهم مصرف فنها ی خنک کن واحد ۱، برای سه فنی که امکان اندازه گیری بر روی آنها وجود نداشت،

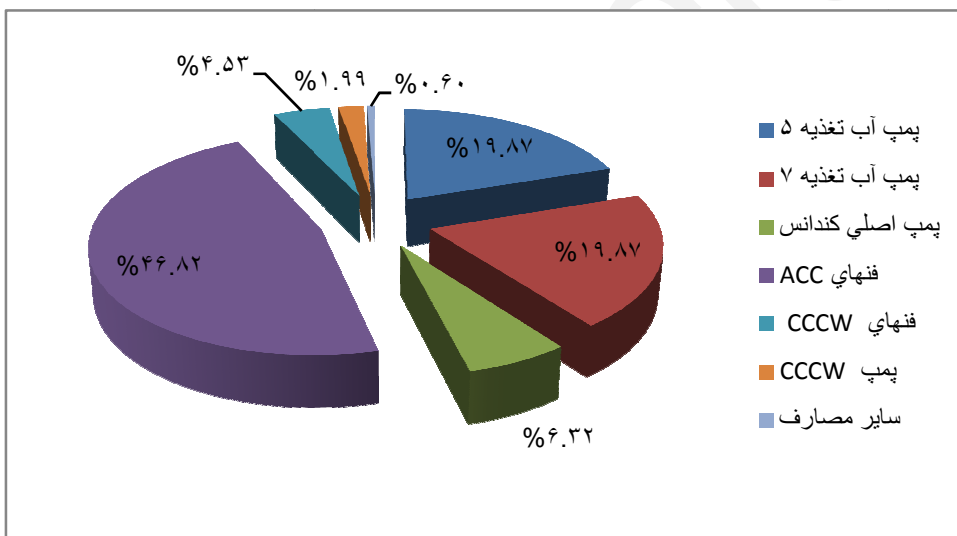
متوسط توان مابقی فنها به عنوان توان مصرفی آنها در نظر گرفته می‌شود.

بنابراین با توجه به دو جدول فوق، سهم مصارف مختلف داخلی دو واحد را می‌توان به صورت دیاگرام

شکل ۲-۲ و شکل ۱-۲ در نظر گرفت.



شکل ۲-۱. سهم مصارف مختلف داخلی واحد بخار ۱ (نسبت به کل مصرف داخلی)



شکل ۲-۲. سهم مصارف مختلف داخلی واحد بخار ۲ (نسبت به کل مصرف داخلی)

همانگونه که نمودارهای فوق نشان می‌دهند، بیشترین سهم مصرف داخلی مربوط به فنهایی ACC می‌باشد و پمپ‌های آب تغذیه از این نظر در رده دوم قرار دارند.

#### ۱-۴-۱. بررسی اندازه گیری بر روی مصارف داخلی

از آنجائیکه افزایش مصارف داخلی نیروگاه‌ها باعث کاهش تولید خالص می‌شود، بنابراین برنامه‌ریزی در جهت حداقل کردن آن و در نتیجه افزایش تولید خالص نیروگاه، حائز اهمیت می‌باشد. لذا جدول ۲-۲ سهم مصرف داخلی نیروگاه مورد نظر در دو حالت اندازه گیری را نشان می‌دهد.

**جدول ۷-۲. سهم مصرف داخلی واحدهای ۱ و ۲ نیروگاه سیکل ترکیبی مورد نظر**

سهم مصرف داخلی (%)	متوسط توان تولیدی واحد (MW)	مجموع توان مصرفی اندازه گیری (KW)	مصارف داخلی	محل
آمار سال ۱۳۸۶	اندازه گیری			
1.6	2.1	273.4	5810.0	واحد بخار
				واحد گازی ۱
				واحد گازی ۲
1.7	2.0	285.6	5668.7	واحد بخار
				واحد گازی ۳
				واحد گازی ۴

**۱-۴-۲. بررسی اندازه گیری بر روی تجهیزات پرمصرف**

در گزارش نتایج اندازه گیری، اعداد بدست آمده از اندازه گیری الکتریکی بر روی تجهیزات پرمصرف به همراه نمودارهای آنها ارائه شده است. در این بخش به بررسی اندازه گیریهای تجهیزات مذکور پرداخته می‌شود.

**الف- بررسی اندازه گیری بر روی پمپ‌های آب تغذیه**

در جدول ۸-۲ خلاصه نتایج اندازه گیری الکتریکی و مکانیکی بر روی پمپ‌های آب تغذیه آورده شده و با مقادیر نامی مقایسه گردیده است.

**جدول ۸-۲. خلاصه نتایج اندازه گیری بر روی پمپ‌های آب تغذیه**

درصد نسبت به طراحی (%)	اطلاعات طراحی			اعداد اندازه گیری		نام تجهیز
	دبي	توان	دبی (M <sup>3</sup> /Hour)	توان نامی موتور (KW)	متوسط توان ورودی (M <sup>3</sup> /Hour)	
74	85	275.5	1100	203.8	1036.9	پمپ آب تغذیه ۱
75	81			205.8	994.8	پمپ آب تغذیه ۴
72	80			200.0	972.1	پمپ آب تغذیه ۵
74	80			203.8	972.2	پمپ آب تغذیه ۷

از آنجاییکه توان اندازه گیری شده موتور پمپ‌های آب تغذیه، توان ورودی می‌باشد و توان نامی موتور، توان خروجی (توان مکانیکی) است، بنابراین برای تعیین درصد بارگذاری پمپ‌های آب تغذیه، بایستی راندمان موتور را در شرایط کارکرد فعلی بدست آورد. بنابراین در این شرایط کارکرد پمپ‌های مذکور، راندمان موتور آنها بالاتر از ۹۰٪ بدست می‌آید. بنابراین اگر توانهای اندازه گیری شده ورودی با راندمان حدود ۹۰٪ به خروجی منتقل شوند، مشخص می‌شود که موتور پمپ‌های مورد نظر در بیش از ۸۰٪ توان نامی در حال کار هستند. اما دبی این پمپ‌ها در حدود ۷۰٪ طراحی می‌باشد.

**ب- بررسی اندازه گیری بر روی پمپ‌های کندانس**  
 در جدول ۹-۶ خلاصه نتایج اندازه گیری الکتریکی و مکانیکی بر روی پمپ‌های کندانس آمده و با مقادیر نامی مقایسه گردیده است.

جدول ۹-۶. خلاصه نتایج اندازه گیری بر روی پمپ‌های کندانس

درصد نسبت به طراحی (%)		اطلاعات طراحی		اعداد اندازه گیری		نام تجهیز
دبی	توان	دبی (M <sup>3</sup> /Hour)	توان نامی موتور (KW)	متosط دبی (M <sup>3</sup> /Hour)	متosط توان ورودی موتور (KW)	
71	79	600	375	425.0	330.7	پمپ کندانس ۱
73	74			439.8	309.4	پمپ کندانس ۲

با توجه به اعداد جدول ۹-۶ می‌توان نتیجه گرفت که راندمان موتور پمپ‌های کندانس نیز در شرایط فعلی بالاتر از ۹۰٪ می‌باشد. بنابراین اگر توانهای اندازه گیری ورودی را با راندمان حدود ۹۰ درصد به خروجی منتقل کنیم، مشخص می‌شود که موتور پمپ‌های مذکور در بالاتر از ۸۰ درصد توان نامی در حال کار می‌باشند، در صورتیکه دبی اندازه گیری شده بر روی این پمپ‌ها در حدود ۷۰ درصد است. بنابراین می‌توان استفاده از کنترل کننده‌های دور را بر روی این تجهیزات نیز بررسی کرد که در فصل راهکارها به تفصیل آمده است.

**ج- بررسی اندازه گیری بر روی فنهای ACC**  
 در هر واحد سیکل ترکیبی این نیروگاه، ۱۸ فن ACC وجود دارد. هر شش فن از یک ترانس ۴۰۰/۶۶۰۰ ولت تغذیه می‌شوند. بر روی هر ترانس اندازه گیری جداگانه ای انجام گرفت. خلاصه نتایج اندازه گیری بر روی فنهای مذکور در جدول ۱۰-۲ آمده است.

جدول ۱۰-۲. خلاصه نتایج اندازه گیری بر روی فنهای ACC

متوسط ضریب توان (%)	متوسط توان راکتیو (KVAR)	متوسط توان اکتیو (KW)	محل	نام تجهیز
0.88	440.5	764.1	ترانس ۱	واحد ۱ سیکل ترکیبی
0.89	414.2	787.5	ترانس ۲	
0.88	411.0	760.3	ترانس ۳	
0.90	378.5	781.6	ترانس ۱	واحد ۲ سیکل ترکیبی
0.88	412.6	761.1	ترانس ۲	
0.86	442.7	748.1	ترانس ۳	فنهای ACC

همانگونه که اعداد جدول فوق نشان می‌دهند، مجموعه فن‌های مورد نظر (۳۶ فن) در حدود ۲۵۰۰ کیلووات توان راکتیو مصرف می‌کنند، که عدد قابل توجهی است. در زمان اندازه گیری همه این فنها در دور بالا (High) کار می‌کردند و به گفته مسئولین برق نیروگاه در زمان کارکرد آنها در دور پایین (Low)، ضریب توان پایینتر و مصرف توان راکتیو باز هم بالاتر خواهد بود. با توجه به اینکه توان راکتیو ظرفیت شبکه داخلی نیروگاه و همچنین ژنراتور را اشغال می‌کند، بنابراین می‌توان با حذف این توان، ظرفیت را برای تولید و انتقال توان اکتیو بالا برد. این موضوع در فصل ارائه راهکارها بررسی خواهد شد.

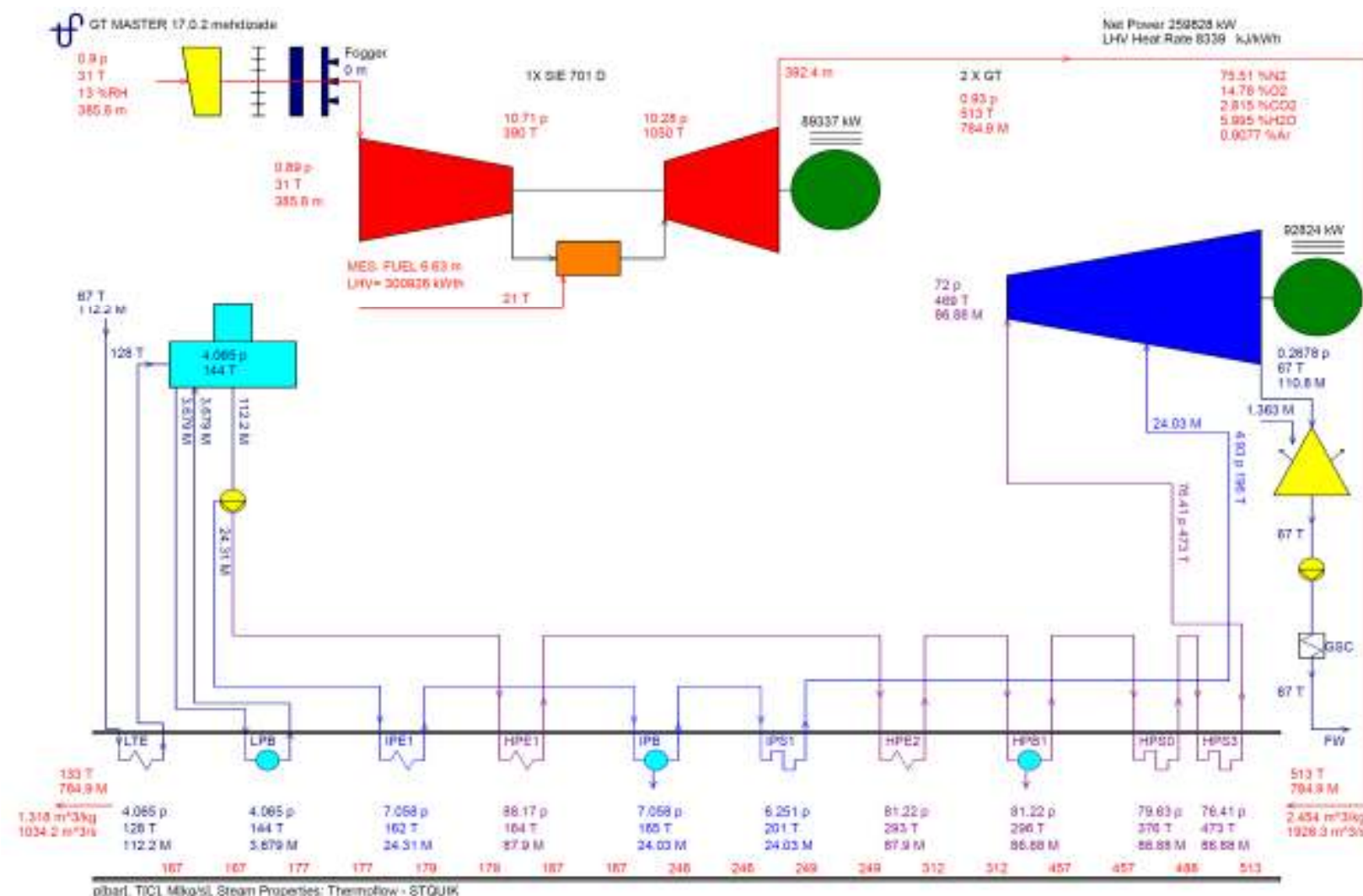
## ۲-۲. شبیه‌سازی دو واحد سیکل ترکیبی نیروگاه مورد نظر براساس نتایج اندازه گیری

با مشخص شدن ورودی‌های نرمافزار جهت شبیه‌سازی سیکل ترکیبی در زمان اندازه گیری و با استفاده از مدل ساخته شده در شرایط طراحی، سیکل ترکیبی نیروگاه در نرمافزار GT Master شبیه‌سازی گردید. نمایش گرافیکی نتایج شبیه‌سازی واحدهای ۱ و ۲ سیکل ترکیبی نیروگاه مورد نظر براساس نتایج اندازه گیری به ترتیب در شکل ۳-۲ و شکل ۴-۲ ارائه شده است.

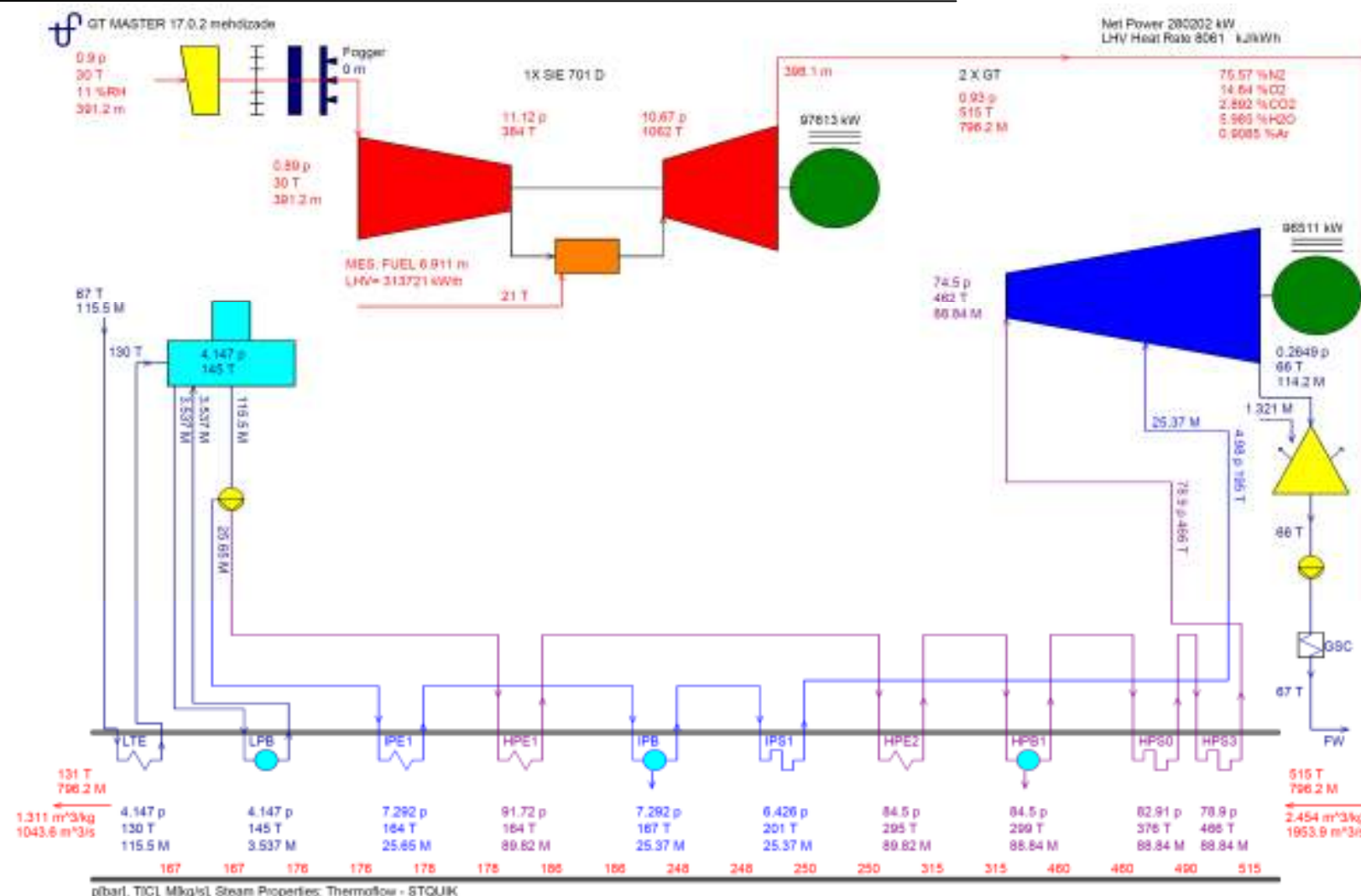
مقایسه اطلاعات اندازه گیری در نیروگاه مورد نظر با نتایج شبیه‌سازی با نرمافزار GT Master در جدول ۱۱-۲ و جدول ۱۲-۲ صورت گرفته است.

پس از مقایسه نتایج شبیه‌سازی با اطلاعات پایش و اندازه گیری، مقادیر نزدیک به اطلاعات شبیه‌سازی قابل قبول می‌باشند.

اختلاف درصد حجمی اکسیژن اندازه گیری شده در خروجی توربین گازی و خروجی بویلر بازیافت حرارت، نشانگر نفوذ هوا درون بویلر بازیافت بوده است و پایین بودن دمای دود خروجی از بویلر بازیافت حرارت در زمان اندازه گیری نسبت به دمای دود خروجی از بویلر بازیافت در شرایط شبیه سازی، علیرغم یکسان بودن سایر پارامترهای وابسته (مانند دمای دود ورودی به بویلر، دما و دبی آب ورودی و بخار خروجی بویلر)، می‌تواند نشان از نفوذ هوا درون بویلر بازیافت حرارت باشد.



شکل ۲-۳. نمایش گرافیکی نتایج شبیه‌سازی واحد ۱ سیکل ترکیبی نیروگاه مورد نظر براساس نتایج اندازه گیری



شکل ۲-۴. نمایش گرافیکی نتایج شبیه‌سازی واحد ۲ سیکل ترکیبی نیروگاه مورد نظر براساس نتایج اندازه گیری

جدول ۱۱-۲. مقایسه اطلاعات اندازه گیری واحد ۱ سیکل ترکیبی نیروگاه مورد نظر با نتایج شبیه سازی با نرم افزار GT Master

اطلاعات مرتبط با سیکل			
پایش	اندازه گیری	نرم افزار	
۸۸/۳/۲۵	۸۸/۳/۲۵	۸۸/۳/۲۵	روز اندازه گیری
۸۸/۵	-	۸۹/۳۳	توان تولیدی واحد گازی ۱ (کیلووات)
۹۰/۱۵	-	۸۹/۳۳	توان تولیدی واحد گازی ۱ (کیلووات)
۹۲/۸	-	۹۲/۸	توان تولیدی واحد بخار (کیلووات)
اطلاعات مرتبط با عملکرد کمپرسور			
-	۳۸۹	۳۸۵/۸	دبی هوای ورودی (کیلوگرم بر ثانیه)
-	۰/۸۹۶	۰/۹	فشار هوای محیط (میلی بار)
۳۰-۳۲	۳۱	۳۱	دمای هوای محیط (درجه سانتیگراد)
-	۰/۰۱ <sup>۱</sup>	۰/۰۱	افت فشار سیستم ورود هوا (بار)
-	۰/۸۹	۰/۸۹	فشار هوای ورودی به کمپرسور (بار)
۱۰/۷	-	۱۰/۷۱	فشار هوای خروجی کمپرسور (بار)
۱۲/۰۳	۱۲/۰۳	۱۲/۰۳	نسبت تراکم
۴۱۷	-	۳۹۰	دمای هوای خروجی کمپرسور (درجه سانتیگراد)
اطلاعات مرتبط با محفظه احتراق			
۵/۸۸	۶/۶۴ <sup>۲</sup>	۶/۶۳	دبی جرمی سوخت مصرفی (کیلوگرم بر ثانیه)
اطلاعات مرتبط با عملکرد توربین			
-	-	۱۰۵۰	دمای گاز ورودی (درجه سانتیگراد)
-	۳۹۵/۶	۳۹۲/۴	دبی گازهای خروجی توربین (کیلوگرم بر ثانیه)
-	-	۹۳۰	فشار گازهای خروجی توربین (میلی بار)
-	۷/۴۸ <sup>۱</sup>	۷/۴۸	افت فشار سیستم خروجی گاز (میلی بار)
۵۱۹	۵۱۳	۵۱۳	دمای گازهای خروجی دودکش توربین (درجه سانتیگراد)
اطلاعات مرتبط با توربین بخار			
۴۶۶	-	۴۶۹	دمای بخار فشار قوی ورودی (درجه سانتیگراد)
۷۲	-	۷۲	فشار بخار فشار قوی ورودی (میلی بار)
۸۴/۷۱-۹۱/۴۷	۸۶	۸۶/۸۹	دبی بخار فشار قوی ورودی (کیلوگرم بر ثانیه)
۱۹۶	-	۱۹۶	دمای بخار فشار متوسط ورودی (درجه سانتیگراد)
۴/۹۳	-	۴/۹۳	فشار بخار فشار متوسط ورودی (میلی بار)
۲۳/۸۹-۲۲/۱۵	۲۴	۲۴/۰۴	دبی بخار فشار متوسط ورودی (کیلوگرم بر ثانیه)
۰/۲۶۹	-	۰/۲۶۹	فشار بخار خروجی (میلی بار)
اطلاعات مرتبط با بویلر بازیافت حرارت			
-	۱/۱۷	۱/۱۷	میزان آب تخلیه دائمی (کیلوگرم بر ثانیه)
۷۸/۴۲	-	۸۱/۲۲	فشار درام بخار فشار قوی (میلی بار)
۵/۷	-	۷/۰۶	فشار درام بخار فشار ضعیف (میلی بار)
۳/۳	-	۴/۰۶	فشار دی اریتور (میلی بار)
۱۲۳	۱۲۲	۱۲۳	دمای دود خروجی (درجه سانتیگراد)

۱. افت فشار ورودی و خروجی برابر افت فشار در حالت طراحی در نظر گرفته شده است.
۲. با نوشتن موازنہ کربن بر اساس اندازه گیری دبی هوای ورودی محاسبه شده است.
۳. با نوشتن موازنہ جرم برای توربین محاسبه می شود.

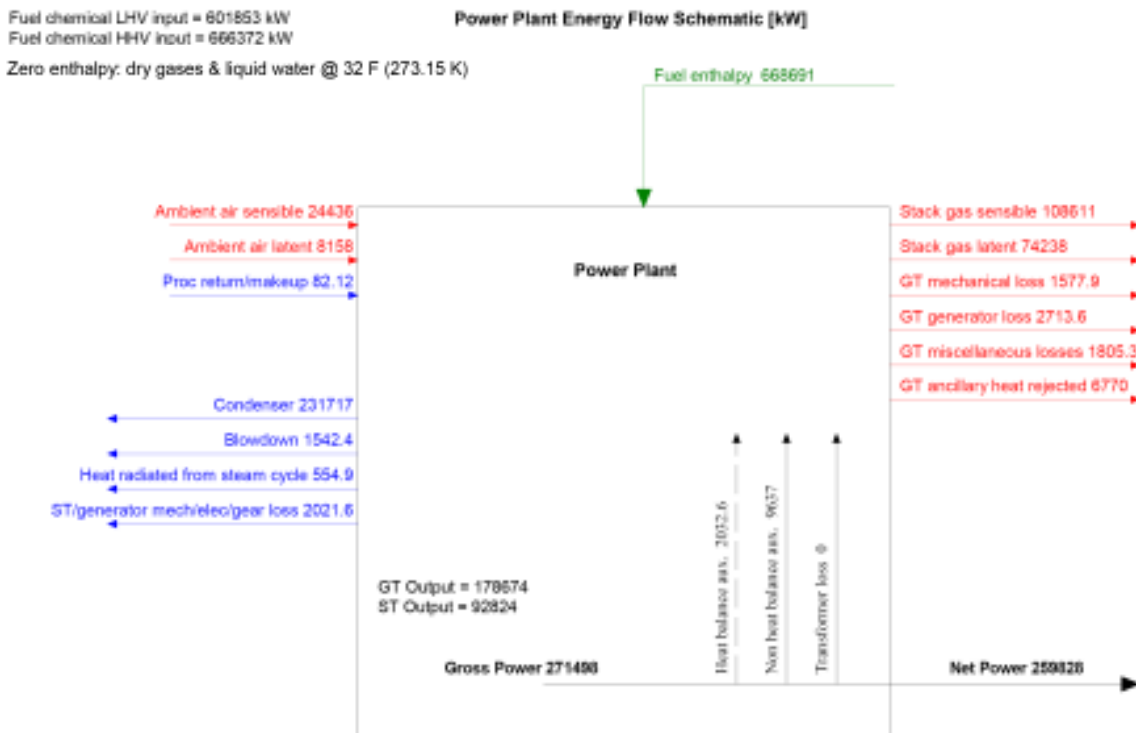
جدول ۱۲-۲. مقایسه اطلاعات اندازه گیری واحد ۲ سیکل ترکیبی نیروگاه مورد نظر با نتایج شبیه سازی با نرم افزار GT Master

پایش	اندازه گیری	نرم افزار	اطلاعات مرتبط با سیکل
۸۸/۳/۲۶	۸۸/۳/۲۶	۸۸/۳/۲۶	روز اندازه گیری
۹۸	-	۹۷/۶	توان تولیدی واحد گازی ۱ (کیلووات)
۹۷/۲	-	۹۷/۶	توان تولیدی واحد گازی ۱ (کیلووات)
۹۶/۵	-	۹۶/۵	توان تولیدی واحد بخار (کیلووات)
پایش	اندازه گیری	نرم افزار	اطلاعات مرتبط با عملکرد کمپرسور
-	۳۹۳	۳۹۱/۲	دبی هوای ورودی (کیلوگرم بر ثانیه)
-	۰/۸۹۶	۰/۸۹۶	فشار هوای محیط (میلی بار)
۲۹/۵	۳۰	۳۰	دماهی هوای محیط (درجه سانتیگراد)
-	۰/۰۱ <sup>۱</sup>	۰/۰۱	افت فشار سیستم ورود هوا (بار)
-	۰/۸۹	۰/۸۹	فشار هوای ورودی به کمپرسور (بار)
۱۱/۳	-	۱۱/۱۲	فشار هوای خروجی کمپرسور (بار)
۱۲/۷	۱۲/۷	۱۲/۵	نسبت تراکم
۴۱۶	-	۳۸۴	دماهی هوای خروجی کمپرسور (درجه سانتیگراد)
پایش	اندازه گیری	نرم افزار	اطلاعات مرتبط با محافظه احتراق
-	۶/۷۱ <sup>۲</sup>	۶/۹۱	دبی جرمی سوخت مصرفی (کیلوگرم بر ثانیه)
پایش	اندازه گیری	نرم افزار	اطلاعات مرتبط با عملکرد توربین
-	-	۱۰۵۷/۴	دماهی گاز ورودی (درجه سانتیگراد)
-	۳۹۹/۷ <sup>۳</sup>	۳۹۸/۱	دبی گازهای خروجی توربین (تن بر ساعت)
-	-	۹۳۰	فشار گازهای خروجی توربین (میلی بار)
-	۷/۴۸ <sup>۱</sup>	۷/۴۸	افت فشار سیستم خروجی گاز (میلی بار)
۵۱۵	۵۱۷	۵۱۵	دماهی گازهای خروجی دودکش توربین (درجه سانتیگراد)
پایش	اندازه گیری	نرم افزار	اطلاعات مرتبط با توربین بخار
۴۶۲	-	۴۶۲	دماهی بخار فشار قوی ورودی (درجه سانتیگراد)
۷۴/۵	-	۷۴/۵	فشار بخار فشار قوی ورودی (میلی بار)
۸۸/۶۵-۹۳/۳۶	۸۲/۱	۸۸/۸۴	دبی بخار فشار قوی ورودی (کیلوگرم بر ثانیه)
۱۹۵	-	۱۹۵	دماهی بخار فشار متوسط ورودی (درجه سانتیگراد)
۴/۹۸	-	۴/۹۸	فشار بخار فشار متوسط ورودی (میلی بار)
۲۶/۳۶-۲۴/۲۱	۲۴/۳	۲۵/۳۷	دبی بخار فشار متوسط ورودی (کیلوگرم بر ثانیه)
۰/۲۶۵	-	۰/۲۶۵	فشار بخار خروجی (میلی بار)
پایش	اندازه گیری	نرم افزار	اطلاعات مرتبط با بویلر بازیافت حرارت
-	۱/۱۴	۱/۱۴	میزان آب تخلیه دائمی (کیلوگرم بر ثانیه)
۸۱	-	۸۴/۵	فشار درام بخار فشار قوی (میلی بار)
۵/۸۵	-	۷/۲۹	فشار درام بخار فشار ضعیف (میلی بار)
۳/۱	-	۴/۱۵	فشار دی اریتور (میلی بار)
۱۲۳	۱۲۷	۱۳۱	دماهی دود خروجی (درجه سانتیگراد)

۱. افت فشار ورودی و خروجی برابر افت فشار در حالت طراحی در نظر گرفته شده است.
۲. با نوشتن موازنۀ کربن بر اساس اندازه گیری دبی هوای ورودی محاسبه شده است.
۳. با نوشتن موازنۀ جرم برای توربین محاسبه می گردد.

### ۳-۲. نمودار جریان‌های انرژی و اگزرژی واحدهای سیکل ترکیبی مورد نظر در زمان اندازه گیری

نمودار جریانهای انرژی واحدهای ۱ و ۲ سیکل ترکیبی نیروگاه مورد بررسی در گزارش حاضر در زمان اندازه گیری به ترتیب در شکل ۵-۲ و شکل ۶-۲ آمده است.



شکل ۲-۵. نمودار جریانهای انرژی در واحد ۱ سیکل ترکیبی نیروگاه حاضر در زمان اندازه گیری

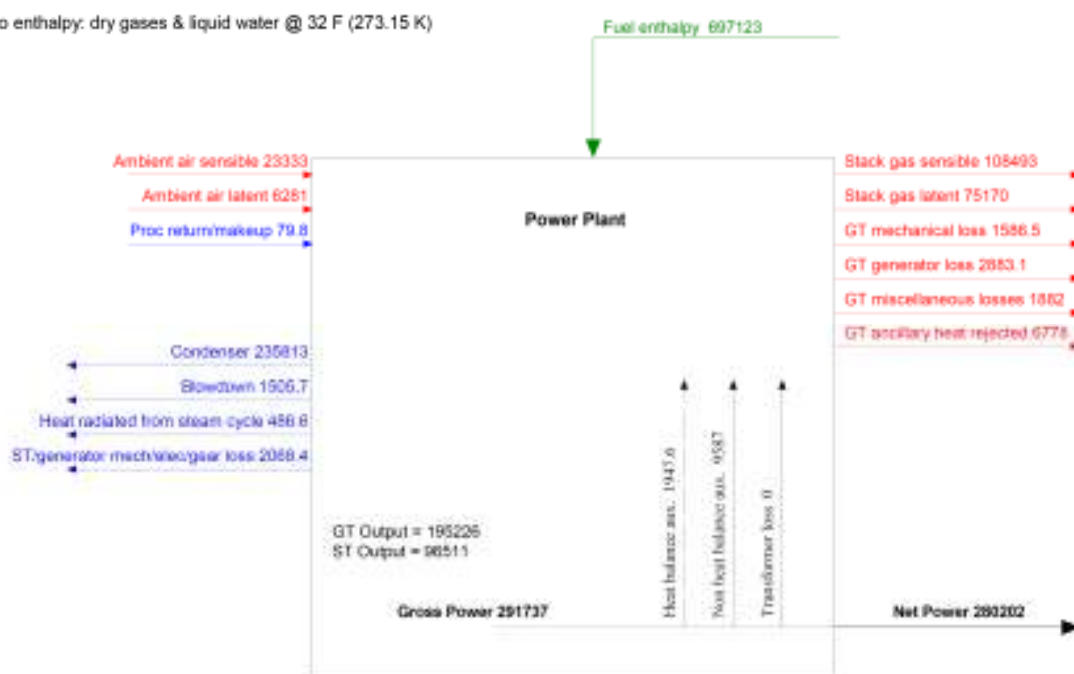
نمودار جریانهای اگزرژی واحدهای ۱ و ۲ سیکل ترکیبی نیروگاه حاضر در زمان اندازه گیری به ترتیب در

شکل ۲-۷ و شکل ۲-۸ آمده است.

Fuel chemical LHV Input = 627443 kW  
 Fuel chemical HHV input = 694705 kW

Zero enthalpy: dry gases & liquid water @ 32 F (273.15 K)

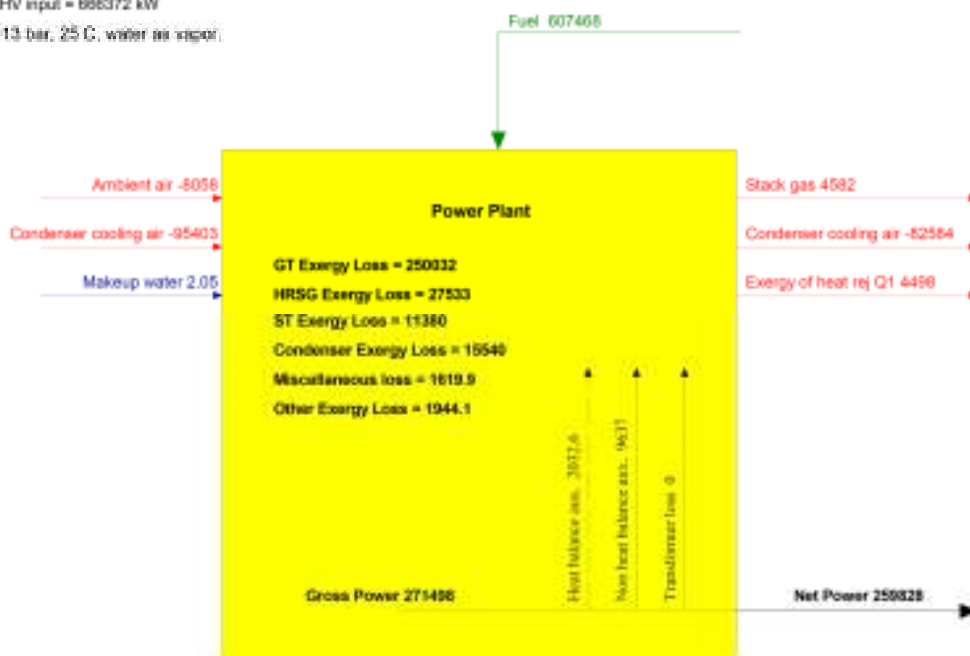
#### Power Plant Energy Flow Schematic [kW]



شکل ۲-۶ نمودار جریانهای انرژی در واحد ۲ سیکل ترکیبی نیروگاه مورد نظر در زمان اندازه گیری

Fuel energy input = 607468 kW  
 Fuel chemical LHV Input = 601853 kW  
 Fuel chemical HHV input = 686372 kW  
 Reference: 1.013 bar, 25 C, water as vapor.

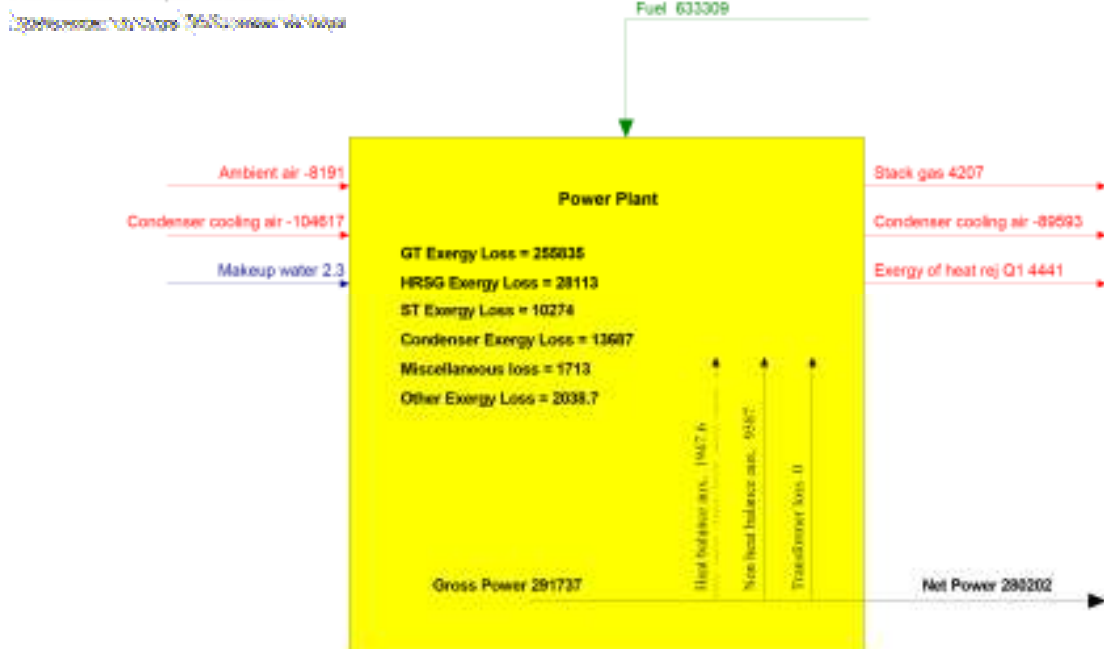
#### Power Plant Exergy Flow Schematic [kW]



شکل ۲-۷. نمودار جریانهای اگرژی در واحد ۱ سیکل ترکیبی نیروگاه مورد نظر در زمان اندازه گیری

Fuel energy input = 633309 kW  
 Fuel chemical LHV input = 627443 kW  
 Fuel chemical HHV input = 694705 kW  
 Ambient air -8191  
 Condenser cooling air -104817  
 Makeup water 2.3

Power Plant Exergy Flow Schematic [kW]



شکل ۲-۸. نمودار جریانهای انرژی در واحد ۲ سیکل ترکیبی نیروگاه مورد نظر در زمان اندازه گیری

۴-۲. آنالیزو راندمان انرژیتیک و اگزرژیتیک واحدهای سیکل ترکیبی مورد نظر در زمان اندازه گیری نتایج محاسبه راندمان انرژی، Heat rate و راندمان اگزرژی واحدهای گازی و سیکل ترکیبی دو واحد نیروگاه مورد بررسی در گزارش در زمان اندازه گیری در جدول ۱۳-۲ ارائه شده است.

جدول ۱۳-۲. نتایج تحلیل انرژی و اگزرزی دو واحد سیکل ترکیبی نیروگاه مورد نظر در زمان اندازه گیری

نتایج تحلیل انرژی و اگزرزی سیکلهای ترکیبی نیروگاه مورد نظر در شرایط واقعی		
۲۹/۶۹	راندمان٪	واحدهای گازی G11,G12
۱۲۱۲۶	Heat Rate (Kj/KWh)	
۲۹/۴	راندمان اگزرزی٪	
۴۵/۱	راندمان٪	
۷۹۸۱	Heat Rate (Kj/Kwh)	سیکل ترکیبی واحد ۱
۴۴/۷	راندمان اگزرزی٪	
۳۱/۱۱	راندمان٪	واحدهای گازی G13,G14
۱۱۵۷۰	Heat Rate (Kj/Kwh)	
۳۰/۸۳	راندمان اگزرزی٪	
۴۶/۵	راندمان٪	
۷۷۴۲	Heat Rate (Kj/Kwh)	سیکل ترکیبی واحد ۲
۴۶/۰۷	راندمان اگزرزی٪	

## ۵-۲. آنالیز راندمانهای انرژیتیک و اگزرزیتیک هریک از المانهای سیکل در زمان اندازه گیری

به منظور تحلیل المانهای سیکل در زمان اندازه گیری و سپس مقایسه شرایط کارکرد آنها با شرایط طراحی، راندمانهای انرژیتیک و اگزرزیتیک المانهای سیکل محاسبه شده است.

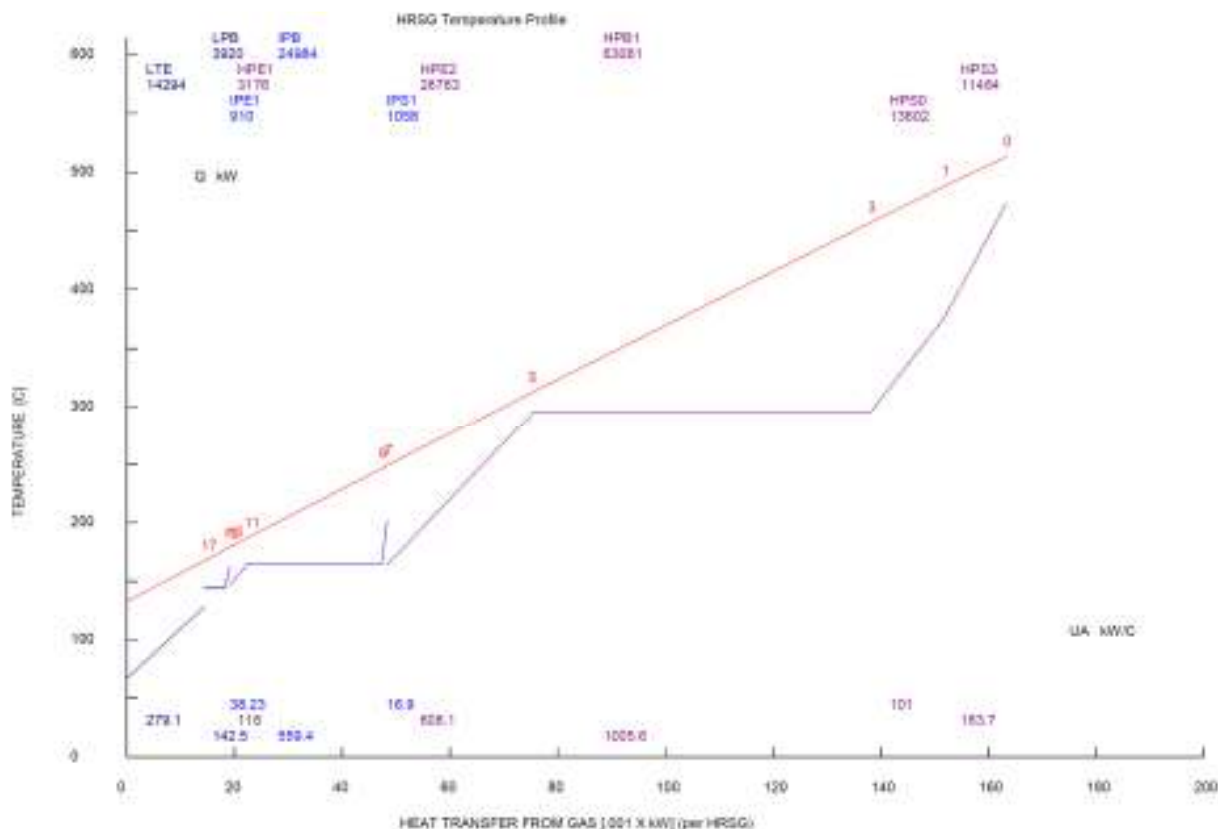
نتایج تحلیلهای انجام گرفته برای المانهای موجود در واحدهای گازی این نیروگاه در دو روز اندازه گیری در

جدول ۱۴-۲ ارائه شده است.

جدول ۱۴-۲. نتایج تحلیل انرژیتیک و اگزرزیتیک المانهای بخش گازی دو واحد سیکل ترکیبی نیروگاه مورد نظر در زمان اندازه گیری

واحد ۲	واحد ۱	نتایج تحلیل انرژیتیک و اگزرزیتیک کمپرسور
۸۸/۴۸	۸۶/۲	راندمان آیزنتروپیک٪
۵۹/۹۶	۵۸/۷	راندمان آیزوترمال٪
۹۴/۳۶	۹۳/۲۷	راندمان اگزرزیتیک٪
۱۴۲/۵۶	۱۴۲/۳۶	توان مصرفی کمپرسور(مگا وات)
واحد ۲	واحد ۱	نتایج تحلیل انرژیتیک و اگزرزیتیک توربین گازی
۹۱/۵۴	۹۱/۴۲	راندمان آیزنتروپیک٪
۹۷/۳۶	۹۷/۳	راندمان اگزرزی٪
۲۴۲/۴۱	۲۳۳/۸۵	توان تولیدی توربین(مگا وات)
۹۸/۵۴	۹۸/۵	راندمان ژنراتور٪

در ادامه المانهای عملکرد واحد بخار در زمان اندازه گیری مورد بررسی قرار گرفته است. بدین منظور در ابتدا به بررسی عملکرد بویلر بازیافت حرارت پرداخته شده است. نمودار T-Q برای بویلر بازیافت حرارت ۲۱ و ۲۲ نیروگاه مورد نظر در زمان اندازه گیری با سوخت گاز طبیعی به ترتیب در شکل ۹-۲ و شکل ۱۰-۲ رسم شده است.



شکل ۹-۲. نمودار T-Q برای بویلر بازیافت حرارت ۲۱ نیروگاه سیکل ترکیبی مورد نظر در زمان اندازه گیری

با توجه به دمای دود و بخار در نقاط مختلف بویلهای بازیافت حرارت ۲۱ و ۲۲ که در شکل ۱۱-۲ و شکل ۱۲-۲ نشان داده شده است، مقادیر Approach Point و Pinch Point برای بویلهای بازیافت حرارت نیروگاه حاضر در زمان اندازه گیری محاسبه می‌شود [۵,۶,۷].

For HRSG21:

$$HP \text{ Pinch Point: } 312 - 296 = 16$$

$$HP \text{ Approach Point: } 296 - 293 = 3$$

$$IP \text{ Pinch Point: } 187 - 165 = 22$$

$$IP \text{ Approach Point: } 165 - 162 = 3$$

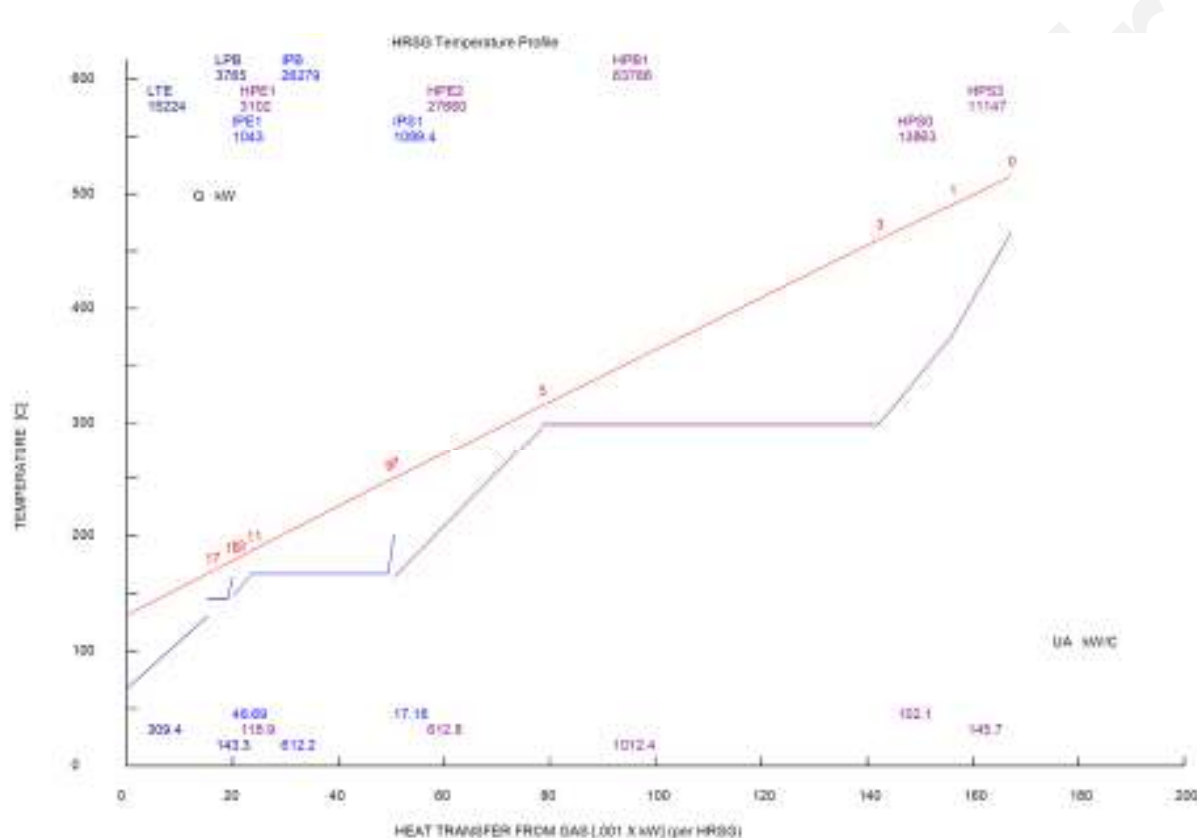
For HRSG21:

*HP Pinch Point: 315-299=16*

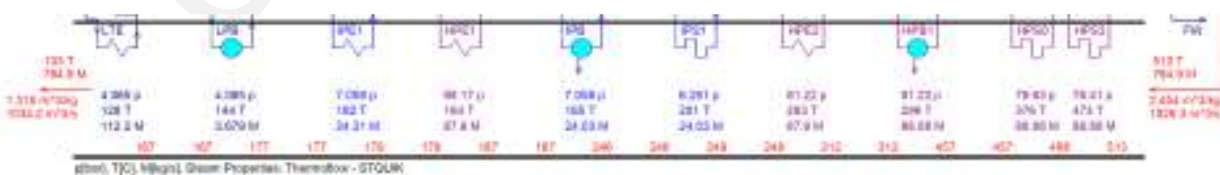
*HP Approach Point: 299-295=4*

*IP Pinch Point: 186-167=19*

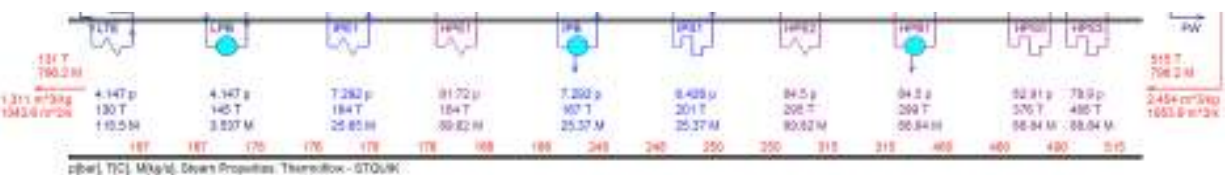
*IP Approach Point: 167-164=3*



شکل ۱۰-۲. نمودار T-Q برای بویلر بازیافت حرارت ۲۲ نیروگاه سیکل ترکیبی مورد نظر در زمان اندازه گیری



شکل ۱۱-۲. تغییرات دمای دود و بخار درون بویلر بازیافت حرارت



شکل ۲-۲. تغییرات دمای دود و بخار درون بویلر بازیافت حرارت

با مقایسه مقادیر Approach Point و Pinch Point به دست آمده برای مسیرهای فشار متوسط و فشارقوی بویلرهای بازیافت حرارت نیروگاه مورد نظر با مقادیر مناسب، شرایط کارکرد بویلرهای بازیافت حرارت این نیروگاه در زمان اندازه گیری نسبتاً مناسب ارزیابی گردید.

نتایج تحلیل انرژیتیک و اگزرزیتیک المانهای واحد بخار نیروگاه سیکل ترکیبی مورد نظر مربوط به دو واحد سیکل ترکیبی در روزهای اندازه گیری در جدول ۲-۱۵ ارائه شده است.

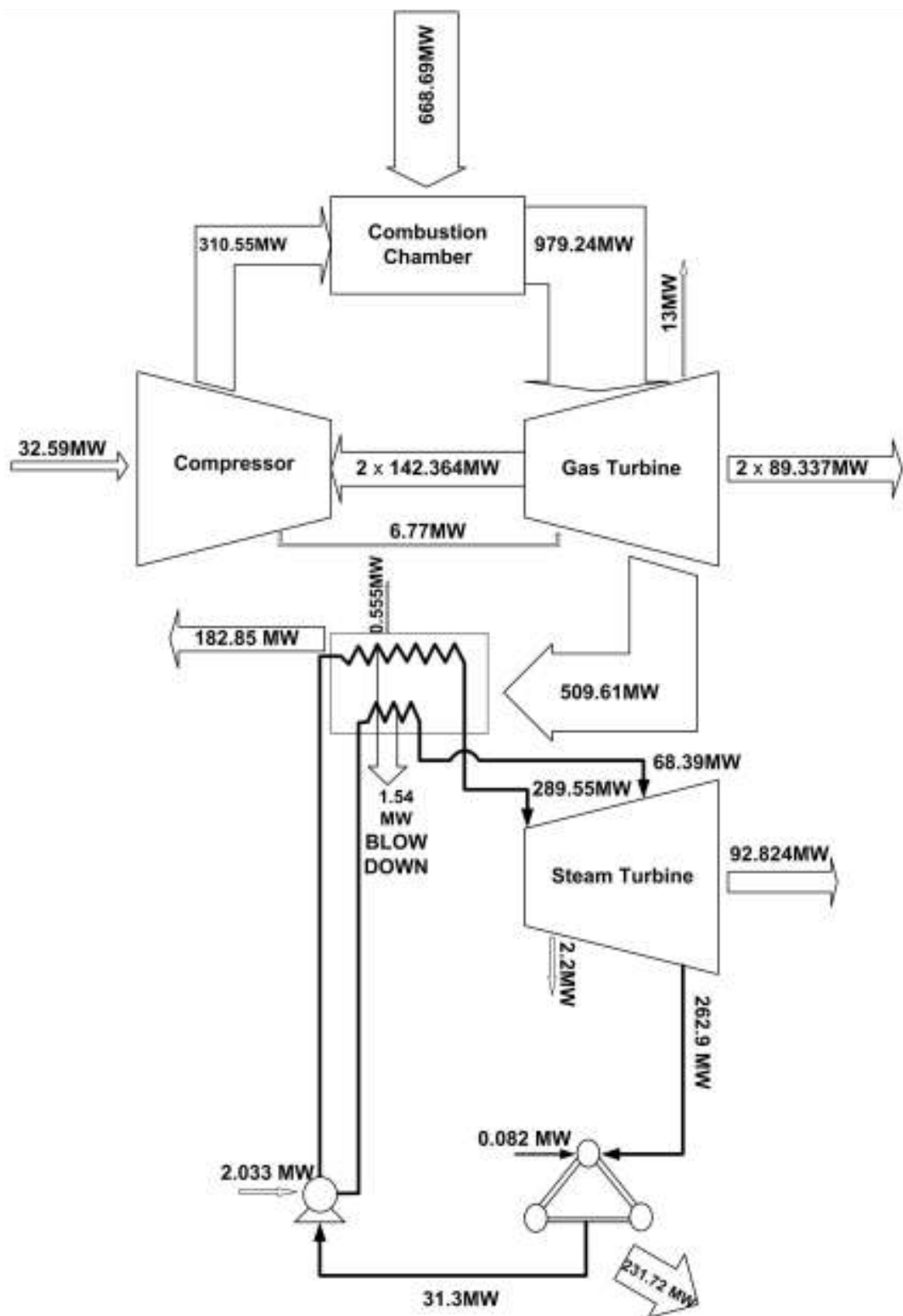
راندمانهای آیزنتروپیک و اگزرزیتیک پمپ‌ها شدیداً وابسته به شرایط دمایی قبل و بعد پمپ داشته، که به دلیل عدم ثبت دمای قبل از پمپ‌های کندانس و دمای بعد از پمپ‌های آب تغذیه در سیستم پایش نیروگاه، این راندمانها محاسبه نشده است.

جدول ۲-۱۵. نتایج تحلیل انرژی و اگزرزی المانهای بخش بخار در دو واحد سیکل ترکیبی مورد نظر در زمان اندازه گیری

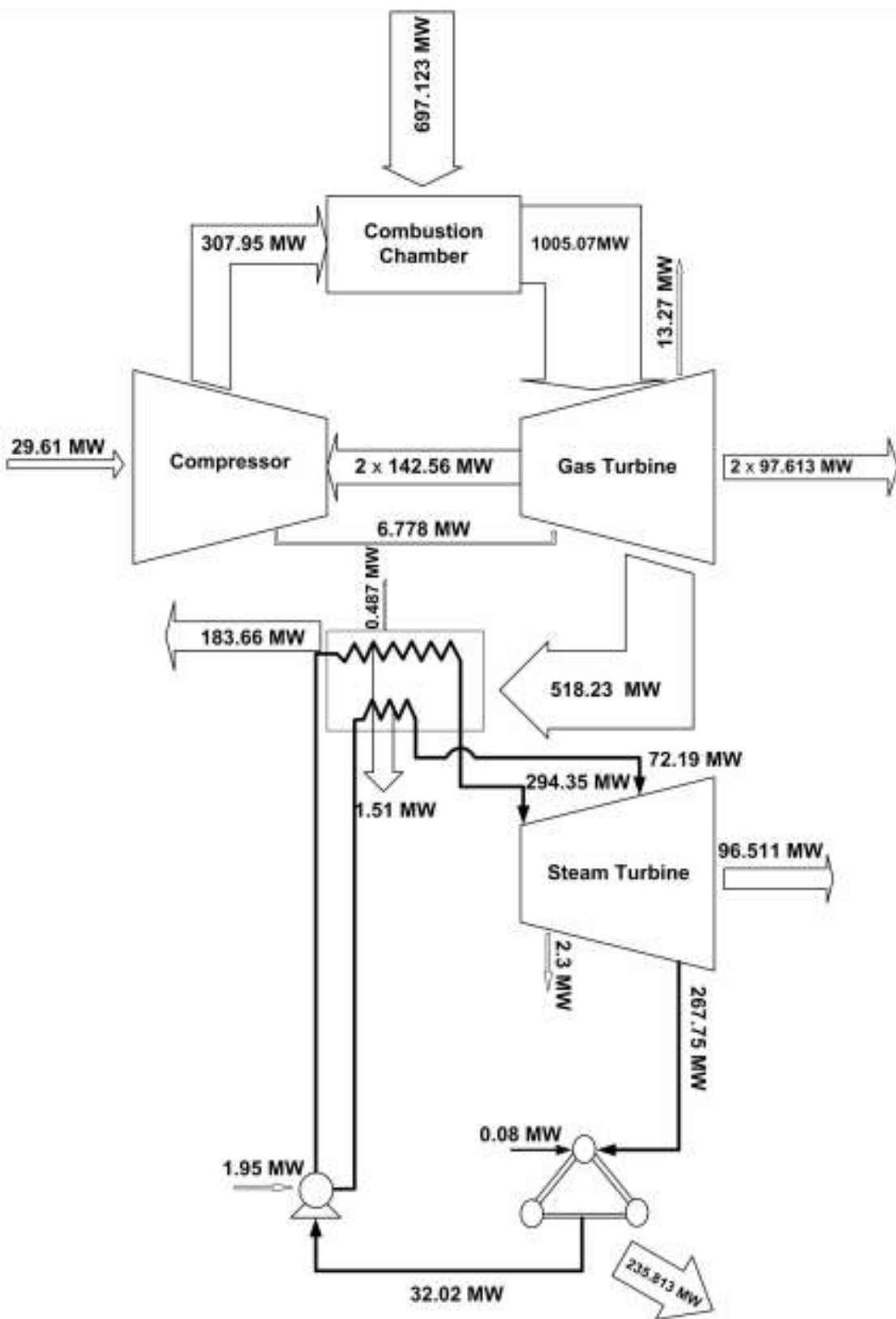
واحد ۲	واحد ۱	نتایج تحلیل انرژی و اگزرزی بویلر بازیافت حرارت		
۰/۹۴۸۷	۰/۹۵۴۵	Effectivness		
۷۰/۱۱	۷۰/۱۳	راندمان انرژی٪		
۷۶/۶۶	۷۶/۵۹	راندمان اگزرزی٪		
واحد ۲	واحد ۱	نتایج تحلیل انرژی و اگزرزی توربوبوژنراتور		
۹۱/۲۵	۹۰/۱۶	راندمان آیزنتروپیک توربین بخار٪		
۹۲/۴۴	۹۱/۱۵	راندمان اگزرزی توربین بخار٪		
۹۸/۵۸	۹۴/۸۵	توان تولیدی توربین (مگا وات)		
۹۷/۹	۹۷/۸۷	راندمان ژنراتور واحد بخار٪		
واحد ۲	واحد ۱	نتایج تحلیل انرژی و اگزرزی ACC		
۰/۹۳۱	۰/۹۳۴	Effectivness		
۲۳۵/۸۱	۲۳۱/۷۲	توان حرارتی مبادله شده با هوا(مگا وات)		
۲۲۹۲/۶	۲۳۱۱/۹	توان الکتریکی مصرفی فنهای کندانسور (کیلو وات)		
۱۳/۶۸۷	۱۵/۵۴۰	اگزرزی مبادله شده با هوا(مگا وات)		
۲۵/۵۶	۲۴/۰۷	بازگشت ناپذیری(مگا وات)		
واحد ۲	واحد ۱	نتایج تحلیل انرژی و اگزرزی پمپ کندانس		
۶۳/۰۴	۵۹/۶۲	راندمان آیزووترمال٪		
۳۰/۹/۴	۳۳۰/۷	توان مصرفی الکتروموتور(کیلو وات)		
F.W.P.22	F.W.P.21	F.W.P.12	F.W.P.11	نتایج تحلیل انرژی و اگزرزی پمپ آب تغذیه
۶۵/۱۰	۶۱/۷۵	۶۴/۶۷	۶۱/۶۲	راندمان آیزووترمال٪
۹۷۲/۲	۹۷۲/۱	۹۹۴/۸	۱۰۳۶/۹	توان مصرفی الکتروموتور(کیلو وات)

۲-۱۵-۱. مقایسه چرخه‌های توانی واحدهای گازی و سیکل ترکیبی نیروگاه مورد نظر

چرخه ترکیبی برایتون / رانکین واحدهای سیکل ترکیبی نیروگاه حاضر در زمان اندازه گیری با سوخت گاز طبیعی به همراه مقدادیر کمی جریانهای انرژی در بخش‌های مختلف نیروگاه براساس نتایج حاصل از نرم افزار به ترتیب در شکل ۲-۱۳ و شکل ۲-۱۴ نمایش داده شده است.



شکل ۱۳-۲. چرخه ترکیبی برایتون / رانکین واحد ۱ سیکل ترکیبی نیروگاه مورد نظر در زمان اندازه گیری

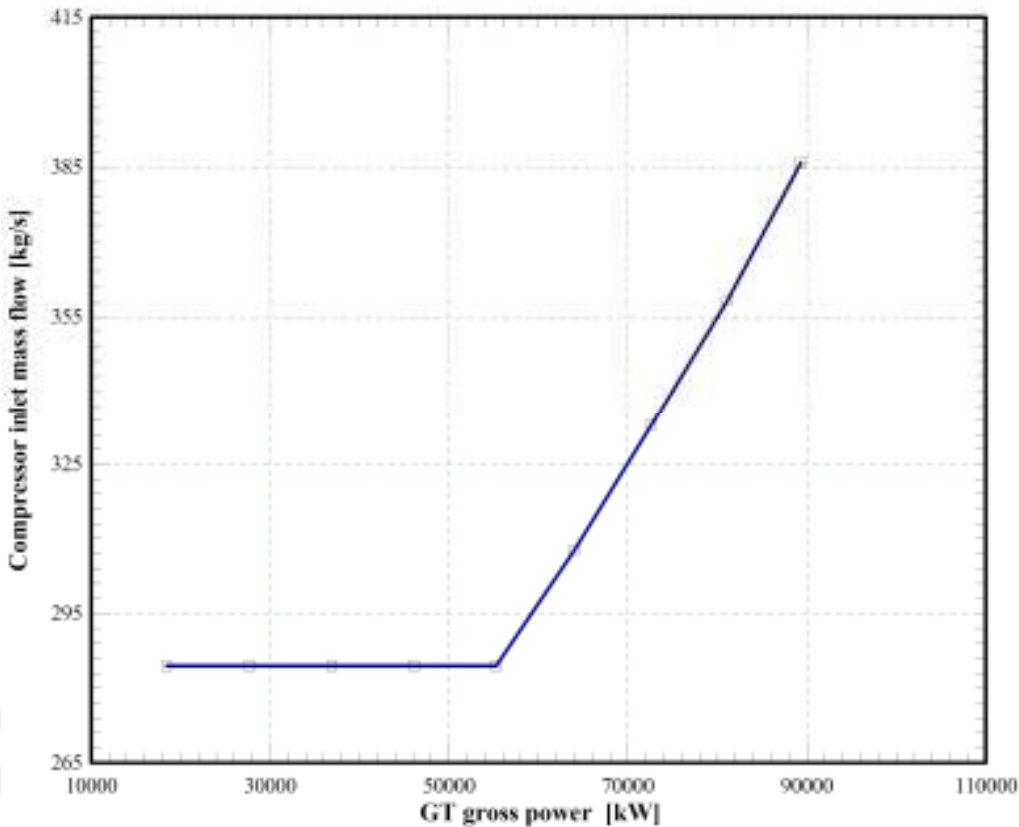


شکل ۱۴-۲. چرخهٔ ترکیبی برایتون / رانکین واحد ۲ سیکل ترکیبی نیروگاه مورد نظر در زمان اندازه گیری

## ۲-۵-۲. بررسی تغییرات بار بر راندمان بر اساس نتایج اندازه‌گیری

برای بررسی تأثیر تغییرات بار بر وضعیت نیروگاه از نقطه نظر مصرف انرژی، آنالیز گازهای خروجی دودکش توربینهای گازی واحد ۱ سیکل ترکیبی نیروگاه مورد نظر در بارهای مختلف انجام گرفته که با داشتن میزان هوای ورودی و نوشتن موازن کربن براساس آنالیز دود انجام گرفته، میزان سوخت مصرفی نیروگاه محاسبه می‌گردد. با مشخص شدن میزان مصرف سوخت، می‌توان تأثیر ضریب بار را بر راندمان واحدهای گازی و کل سیکل ترکیبی مورد بررسی قرار داد.

با استفاده از نمودار تغییرات میزان هوای ورودی به کمپرسور براساس توان تولیدی واحدهای گازی مدول ۱ سیکل ترکیبی این نیروگاه، براساس نتایج شبیه‌سازی انجام گرفته (شکل ۲-۱۵) دبی جرمی هوای ورودی به کمپرسور در بارهای اندازه‌گیری شده تعیین می‌گردد.



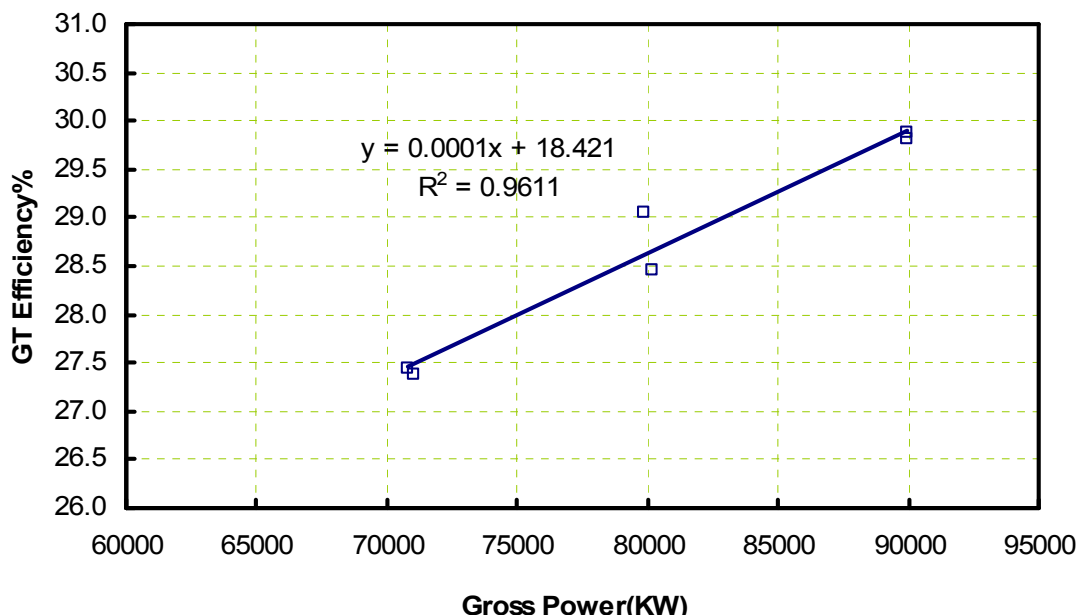
شکل ۲-۱۵. نمودار تغییرات میزان هوای ورودی به کمپرسور براساس توان تولیدی واحدهای گازی مدول ۱ سیکل ترکیبی نیروگاه

براساس آنالیز دود انجام گرفته برای دو واحد گازی GT11 و GT12 و نوشتن موازن کربن برای هر واحد گازی، مصرف سوخت هر واحد محاسبه گردید که نتایج حاصل در بارهای مختلف در جدول ۲-۱۶ ارائه شده است.

جدول ۱۶-۲. نتایج محاسبه مصرف سوخت و راندمان برای دو واحد گازی GT11 و GT12 در بارهای مختلف

واحد گازی GT12			واحد گازی GT11			نام واحد
۷۰۸۰۰	۷۹۸۵۰	۸۹۹۴۰	۷۱۰۳۰	۸۰۱۵۰	۸۹۹۶۰	توان ناخالص تولیدی(کیلووات)
۳۲۸	۳۵۵	۳۸۵	۳۲۸	۳۵۵	۳۸۵	دبی جرمی هوای ورودی به کمپرسور (کیلوگرم بر ثانیه)
۶/۶۳	۶/۲۱	۵/۶۸	۶/۶۴	۶/۰۶	۵/۷۱	میزان مصرف سوخت محاسبه شده (کیلوگرم بر ثانیه)
۵/۷۸	۵/۲۳	۴/۸۵	۵/۸۳	۵/۳۷	۴/۹۲	میزان مصرف سوخت پایش (کیلوگرم بر ثانیه)
-۱۵	-۱۸	-۱۷	-۱۴	-۱۳	-۱۶	درصد اختلاف
۲۹/۸۸	۲۸/۴۵	۲۷/۴۴	۲۹/۸۲	۲۹/۰۴	۲۷/۳۹	راندمان واحدهای گازی براساس سوخت محاسبه شده

بر مبنای نتایج حاصل از محاسبه مصرف سوخت در بارهای مختلف برای واحدهای گازی ۱ و ۲ نیروگاه سیکل ترکیبی مورد نظر، نمودار تغییرات راندمان با توان ناخالص تولیدی در شکل ۱۶-۲ نشان داده شده است.



شکل ۱۶-۲. نمودار تغییرات راندمان واحدهای گازی GT11 و GT12 نیروگاه سیکل ترکیبی مورد نظر با توان ناخالص تولیدی

## ۶-۲. بررسی وضعیت واحد تصفیه آب

این واحد شامل سه بخش تصفیه مقدماتی آب، اسمز معکوس و واحد تبادل یون<sup>۱</sup> می‌باشد. عملیاتی که در تصفیه مقدماتی آب انجام می‌گیرد شامل کلاریفایر<sup>۲</sup>، فیلترهای ته نشینی<sup>۳</sup>، مخزن جمع آوری آب فیلتر شده<sup>۴</sup>، فیلترهای کارتريج<sup>۵</sup>، سیستمهای تغذیه مواد شیمیایی<sup>۶</sup> و سیستمهای تنظیم مواد شیمیایی اسمز معکوس<sup>۷</sup> می‌باشد.

براساس نتایج اندازه گیریهای انجام شده حدود ۲۵٪ آب خروجی از واحد اسمز معکوس برای آب آشامیدنی استفاده می‌شود و ۷۵٪ از آن به همراه آب برگشتی از واحد بخار وارد بخش تعویض یونی (واحد تولید آب دمین) می‌شود. این بخش از بسترهای آنیونی، کاتیونی و مخلوط تشکیل شده است. آب دمین تولیدی پس از این مرحله در تانکهای ذخیره دمین ذخیره شده و سپس به نیروگاه بخار فرستاده می‌شود.

لازم به ذکر است مصرف کنندگان آب دمین شامل مصرف داخلی واحد جهت احیاء رزینها و مصرف جزئی آزمایشگاه بوده و تقریباً همه تولید این واحد برای واحد بخاری نیروگاه ارسال می‌گردد. اطلاعات اندازه گیری دبی آب ورودی و خروجی واحد اسمز معکوس و دبی آب دمین تولیدی در واحد تعویض یونی در جدول ۲-۱۷ ارائه شده است.

جدول ۲-۱۷. نتایج اندازه گیری دبی آب در نقاط مختلف واحد تصفیه آب

Location	Measurement	
	m <sup>3</sup> /h	Ton/h
RO Inlet Water	45.08	44.9
RO Outlet Water	42.18	42.05
Ion Exchange Unit Outflow	30.56	30.45

بر اساس نتایج اندازه گیری، متوسط توان مصرفی این واحد در حدود ۱۱۲ کیلووات بوده است و تغییرات توان، کمتر از ۱۰ کیلووات می‌باشد که ناشی از در مدار آمدن و یا خارج شدن تجهیزات این واحد (مانند پمپ‌ها) است.

<sup>1</sup>. Ion Exchanger

<sup>2</sup>. Clarifier

<sup>3</sup>. Gravity Filters

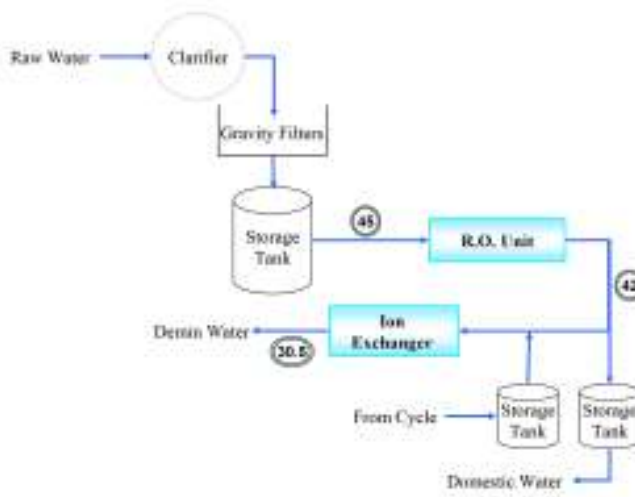
<sup>4</sup>. Filtered Water Clearwell

<sup>5</sup>. Cartridge filter

<sup>6</sup>. Chemical feed Systems

<sup>7</sup>. R.O. Chemical dosing systems

شماتیک مراحل تصفیه آب در نیروگاه سیکل ترکیبی مورد نظر در شکل ۱۷-۲ نشان داده شده است.



شکل ۱۷-۲. شماتیک مراحل تصفیه آب در نیروگاه سیکل ترکیبی مورد نظر

با توجه به اینکه عمدۀ برق مصرفی واحد تصفیه آب مربوط به اسمز معکوس بوده (مصرف ویژه برق در تصفیه آب به روش تعویض یونی در مقایسه با مصرف ویژه روش اسمز معکوس بسیار پایین می‌باشد). جهت محاسبه مصرف ویژه برق واحد تصفیه آب نیروگاه به صورت زیر به دست می‌آید:

$$\frac{112KW}{42Ton/hr} = 2.66 \frac{KWh}{Ton}$$

## فصل سوم

### شناسایی عوامل تأثیر گذار بر عملکرد سیکل و بررسی تأثیر آنها

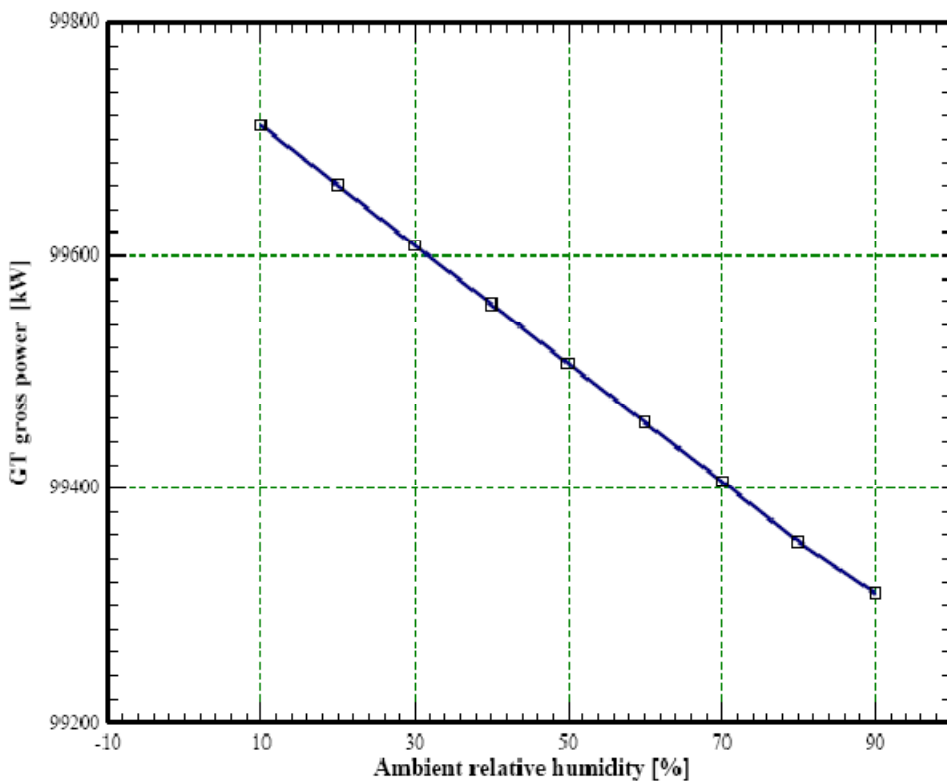
در این فصل از گزارش، به شناسایی عوامل تأثیر گذار بر عملکرد سیکل پرداخته می‌شود و سپس تأثیر آنها بر راندمان واحد گازی، بخار و سیکل ترکیبی بررسی می‌شود. بطور کلی عوامل تأثیر گذار بر عملکرد سیکل را می‌توان به عواملی مانند رطوبت هوا، دما و فشار محیط، افت فشار در مسیر هوای ورودی به کمپرسور، افت فشار در مسیر خروجی گازهای حاصل از احتراق (مجموع افت فشار در خروجی توربین گازی و بویلر بازیافت حرارت)، ضربی بار و همچنین عوامل دیگری مانند عمر نیروگاه خلاصه نمود [۸,۹]. به منظور بررسی تأثیر عوامل ذکر شده بر عملکرد سیکل از منو Multiple Runs در نرمافزار GT MASTER استفاده می‌شود، بدین صورت که با تغییر عوامل ذکر شده در سیکل شبیه‌سازی شده در حالت طراحی در نرمافزار GT MASTER و رسم نمودار، تأثیر این عوامل بر عملکرد سیکل مورد بررسی قرار می‌گیرد.

#### ۳-۱. بررسی تأثیر رطوبت هوا بر عملکرد سیکل

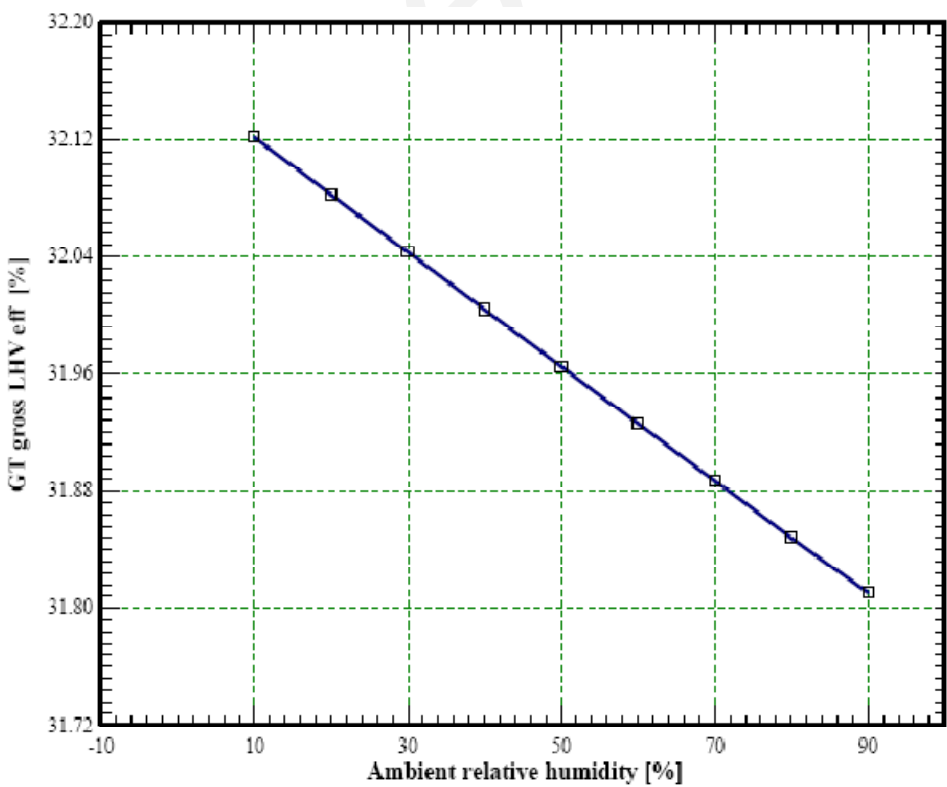
با توجه به تغییر رطوبت هوا در طول سال، تأثیر آن بر عملکرد توربین گازی بررسی می‌شود. بدین منظور در فصول مختلف سال، در Multiple Runs رطوبت هوا بین ۱۰٪ تا ۹۰٪ تغییر و سپس به تأثیر آن بر عملکرد سیکل پرداخته شده است.

در شکل ۱-۳ و شکل ۲-۳ تأثیر رطوبت هوا بر میزان توان ناخالص تولیدی و راندمان ناخالص واحد گازی نمایش داده شده است. چنانچه ملاحظه می‌شود با افزایش رطوبت میزان توان ناخالص تولیدی و راندمان واحد گازی کاهش می‌یابد. البته میزان کاهش در توان ناخالص تولیدی واحد گازی نسبت به بیشینه آن در رطوبت ۱۰٪، حدود ۴٪ می‌باشد و میزان کاهش در راندمان واحد گازی ۳۱٪ می‌باشد.

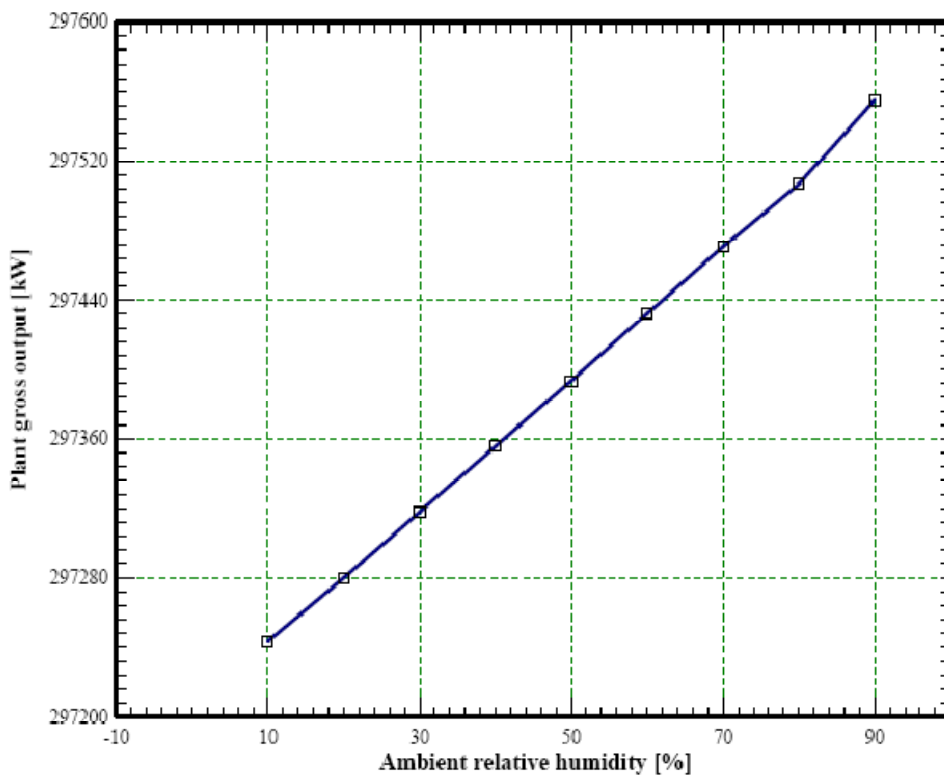
در شکل ۳-۳ و شکل ۴-۳ تأثیر میزان رطوبت بر توان ناخالص و راندمان سیکل ترکیبی نمایش داده شده است. ملاحظه می‌شود با افزایش رطوبت از ۱۰٪ تا ۹۰٪ توان ناخالص سیکل ترکیبی حدود ۳۰٪ مگاوات (۰/۱٪) افزایش می‌یابد و این در حالیست که راندمان سیکل به میزان ۲۲٪ کاهش می‌یابد.



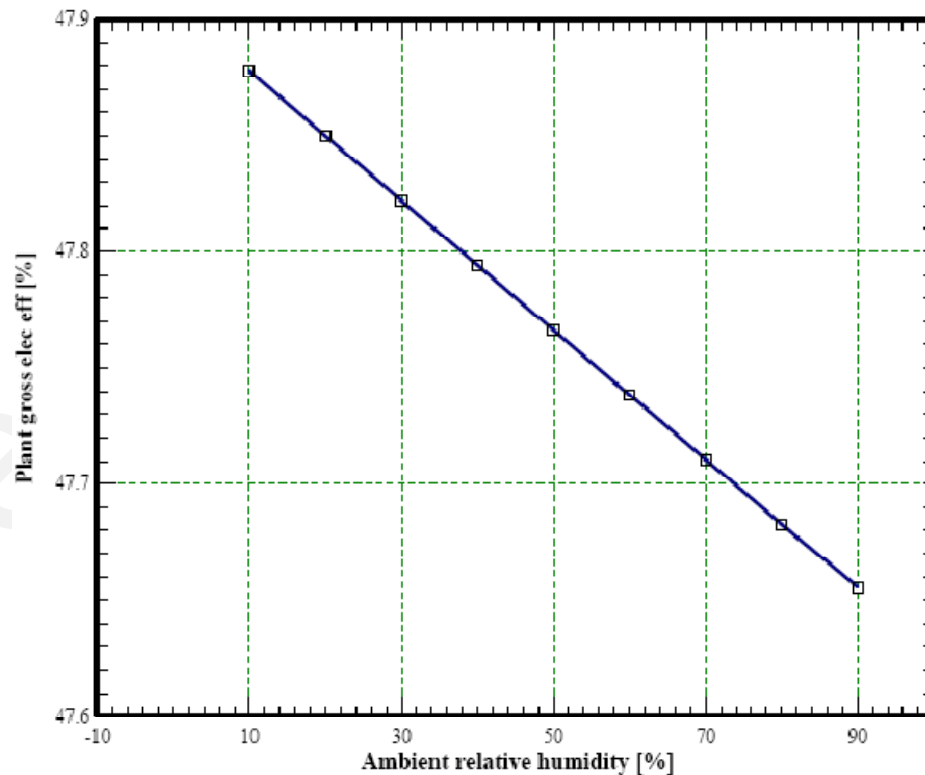
شکل ۳-۱. تأثیر رطوبت هوا بر توان ناخالص تولیدی واحد گازی



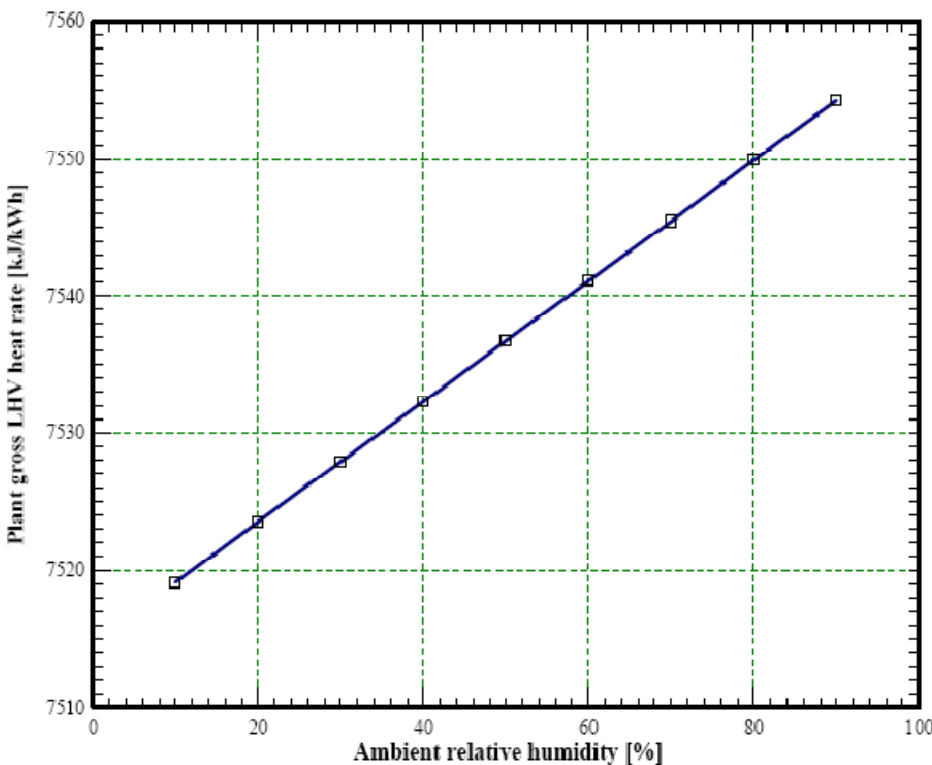
شکل ۳-۲. تأثیر رطوبت هوا بر راندمان ناخالص واحد گازی



شکل ۳-۳. تأثیر رطوبت هوا بر توان ناخالص سیکل ترکیبی



شکل ۴-۳. تأثیر رطوبت هوا بر راندمان سیکل ترکیبی



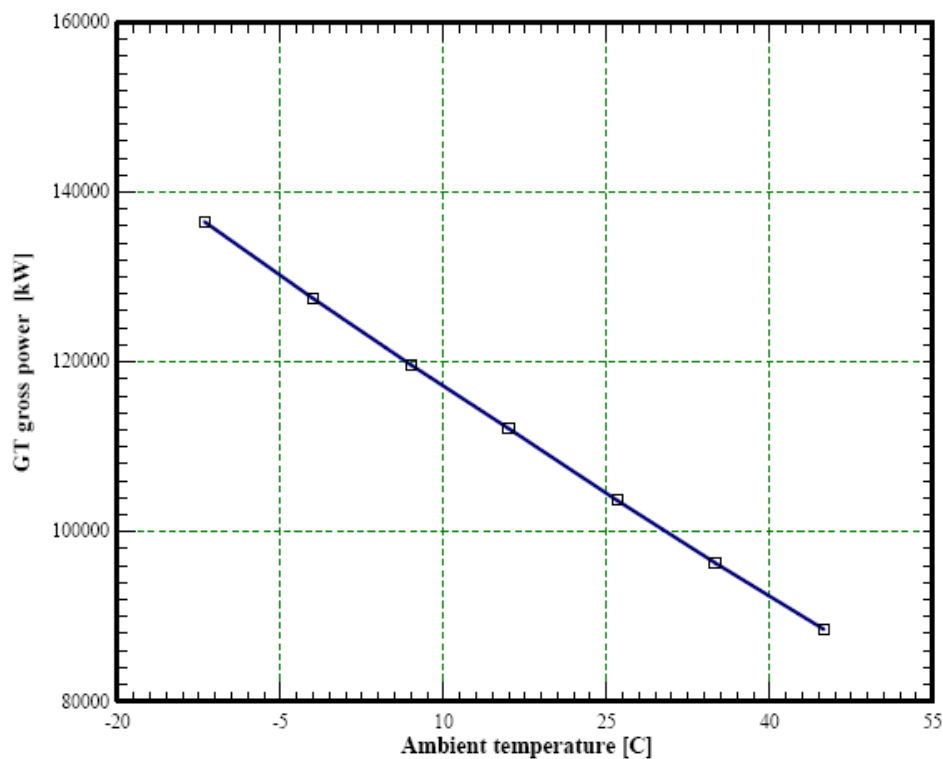
شکل ۳-۵. تأثیر رطوبت هوا بر Heat Rate سیکل ترکیبی

### ۲-۳. بررسی تأثیر دمای هوا بر عملکرد سیکل

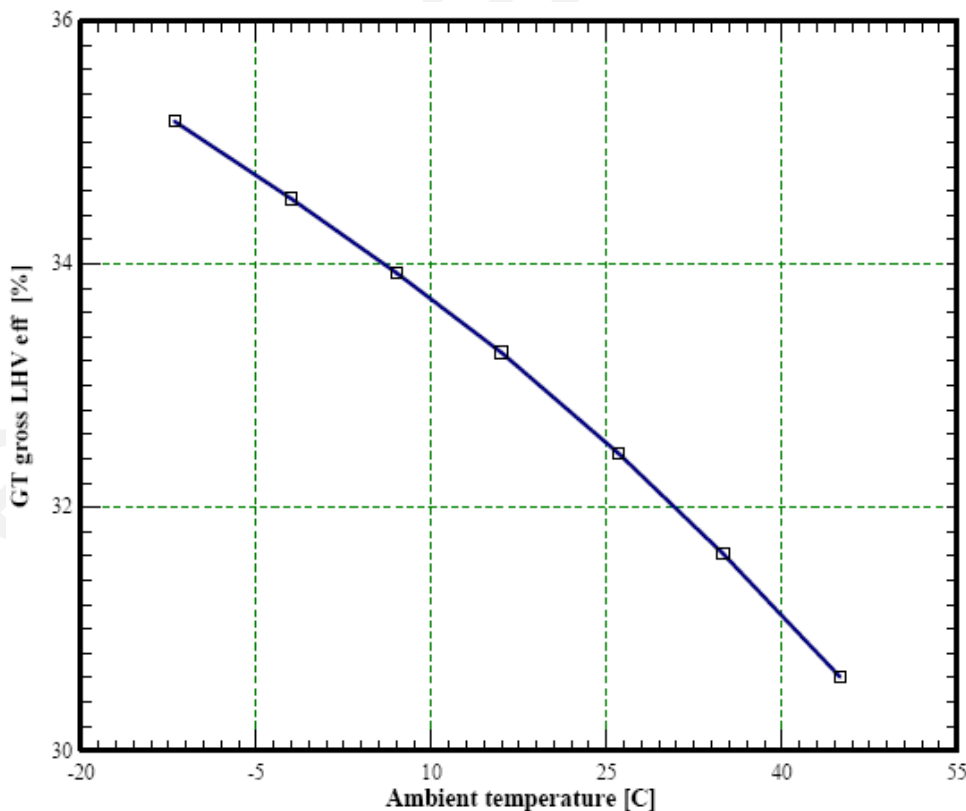
به منظور بررسی تأثیر دمای هوا بر عملکرد سیکل، دمای هوا از ۱۲- تا ۴۵ درجه سانتیگراد تغییر داده شده و تأثیر آن بر عملکرد سیکل بررسی شده است.

همانطور که در شکل ۳-۶ و شکل ۳-۷ ملاحظه می‌شود با افزایش دما از ۱۲- تا ۴۵ درجه سانتیگراد میزان توان ناخالص تولیدی واحد گازی حدود ۰.۳۵٪ و راندمان آن حدود ۰.۴/۵۷٪ کاهش می‌یابد.

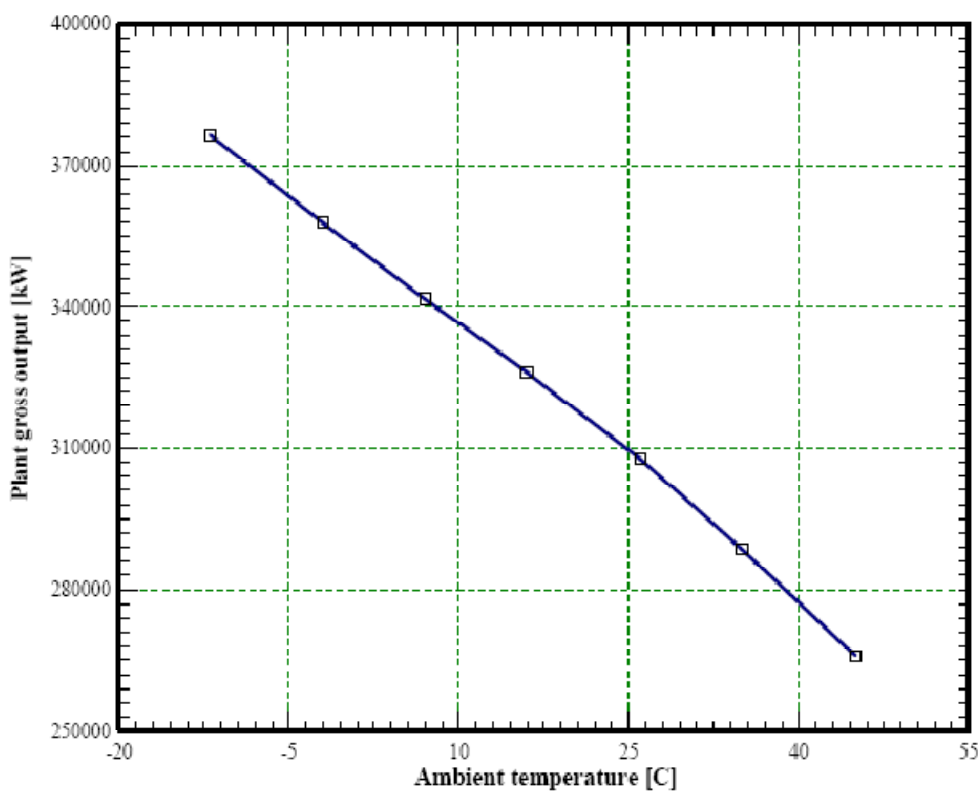
در شکل ۳-۸ به بررسی تأثیر افزایش دما بر توان ناخالص سیکل ترکیبی پرداخته شده است. چنانچه ملاحظه می‌شود با افزایش دما توان ناخالص تولیدی نیروگاه حدود ۰.۲۹٪ کاهش می‌یابد. در شکل ۳-۹ ملاحظه می‌شود که با افزایش دمای محیط، راندمان سیکل ترکیبی کاهش می‌یابد و البته سرعت کاهش آن در دمای‌های بالاتر افزایش می‌یابد. در شکل ۳-۱۰ تأثیر دمای محیط بر Heat Rate سیکل ترکیبی نمایش داده شده است. چنانچه ملاحظه می‌شود با افزایش دما، Heat Rate نیز افزایش می‌یابد.



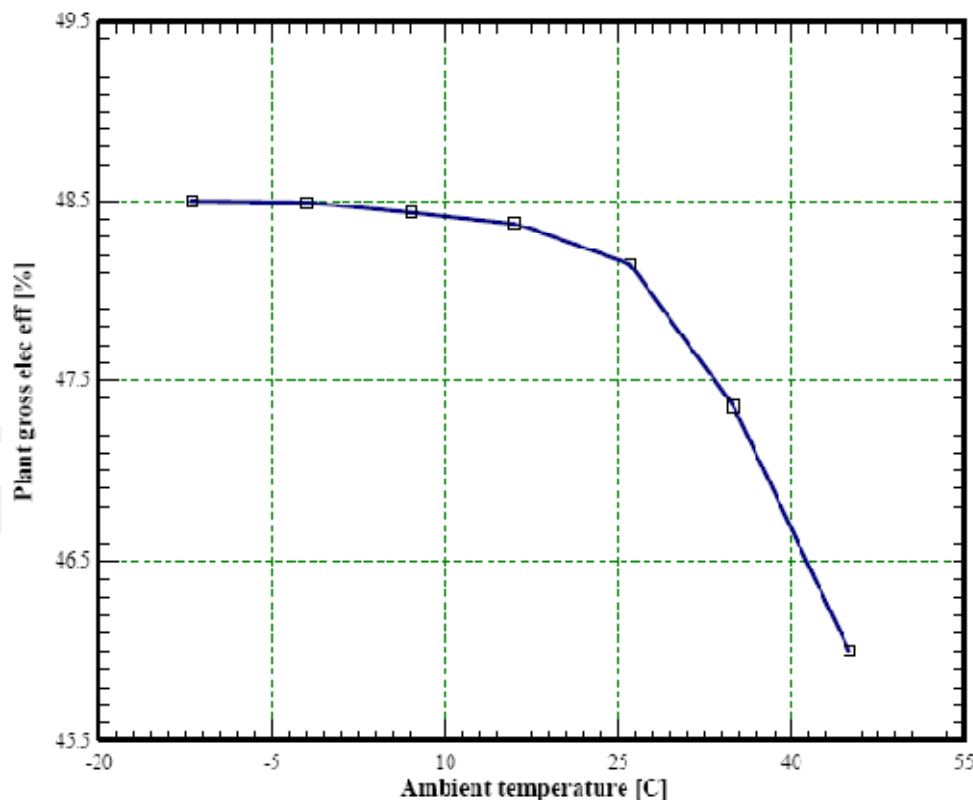
شکل ۳-۶. تأثیر دمای محیط بر توان ناخالص تولیدی واحد گازی



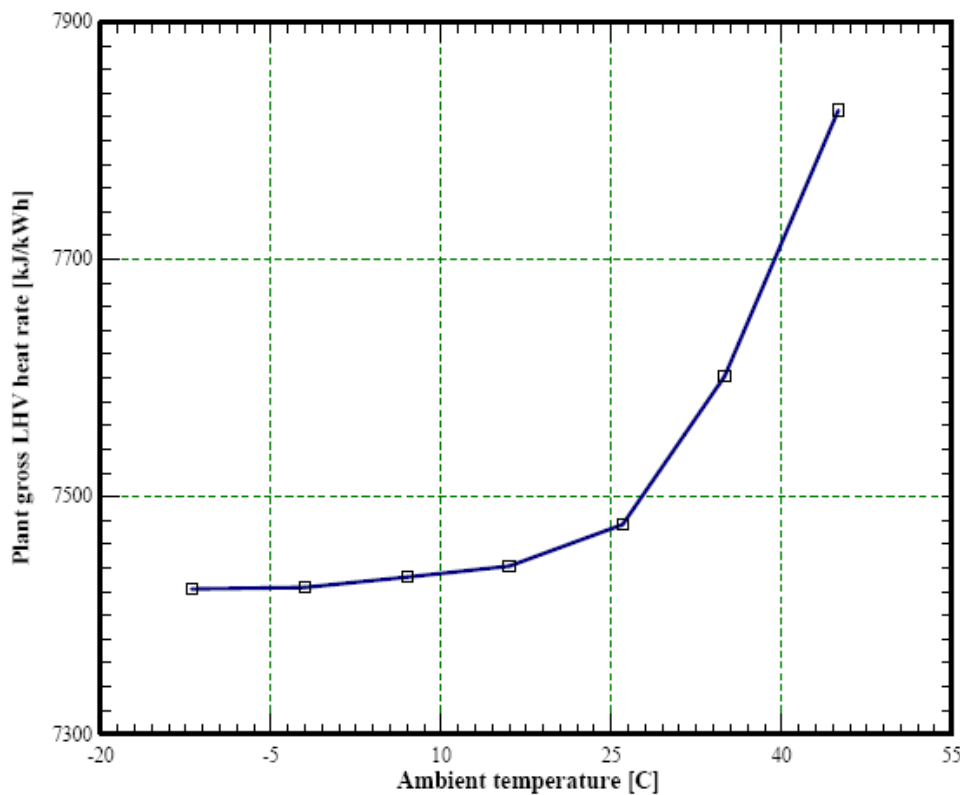
شکل ۳-۷. تأثیر دمای محیط بر راندمان ناخالص واحد گازی



شکل ۸-۳. تأثیر دمای محیط بر توان ناخالص تولیدی سیکل ترکیبی



شکل ۹-۳. تأثیر دمای محیط بر راندمان ناخالص سیکل ترکیبی



شکل ۳-۱۰. تأثیر دمای محیط بر Heat Rate سیکل ترکیبی

### ۳-۳. بررسی تأثیر افت فشار در ورودی هوا، بر عملکرد سیکل

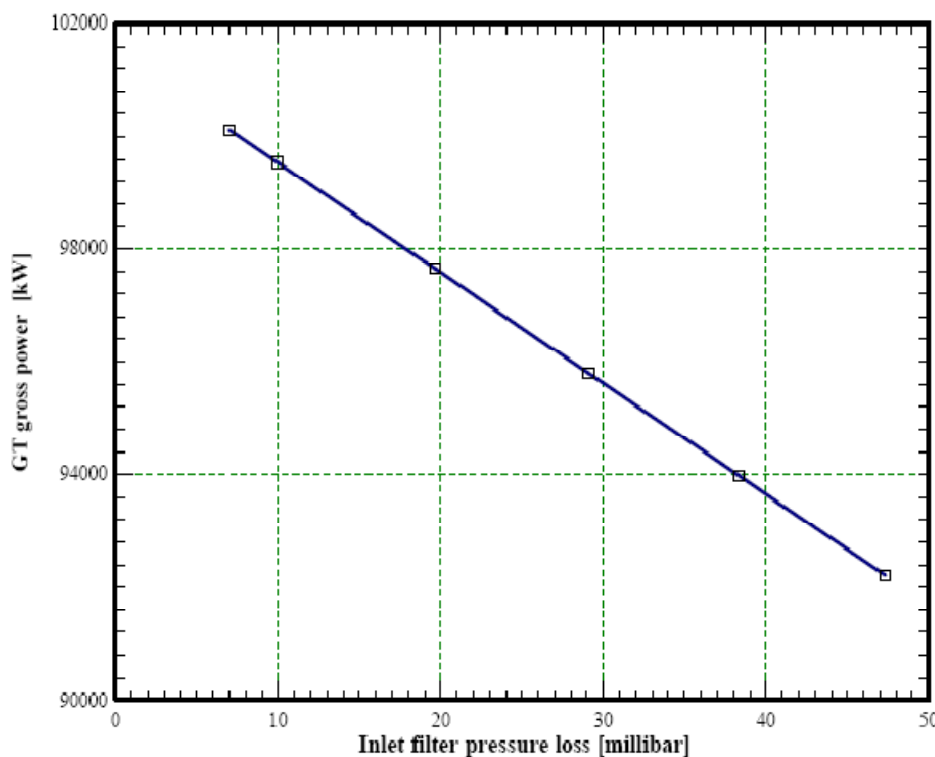
در این قسمت به بررسی تأثیر افت فشار در ورودی هوا به کمپرسور بر عملکرد سیکل پرداخته شده است. افت فشار در حالت استاندارد در ورودی واحد گازی ۹/۹۶ میلی بار می‌باشد که شامل افت فشار در فیلتر و مسیر ورود هوا به کمپرسور می‌باشد. به منظور بررسی تأثیر افت فشار بر عملکرد سیکل، افت فشار از ۷ تا ۵۶/۰۹ میلی بار تغییر داده شده است.

در شکل ۱۱-۳ و شکل ۱۲-۳ تغییرات تولید ناخالص و راندمان ناخالص واحد گازی بر حسب افت فشار در ورودی نمایش داده شده است. ملاحظه می‌شود که با افزایش ضریب افت فشار در ورودی از ۷ تا ۵۶/۰۹ میلی بار، میزان تولید ناخالص واحد گازی حدود ۹/۶٪ و راندمان ناخالص واحد گازی حدود ۱/۳۲٪ کاهش می‌باید.

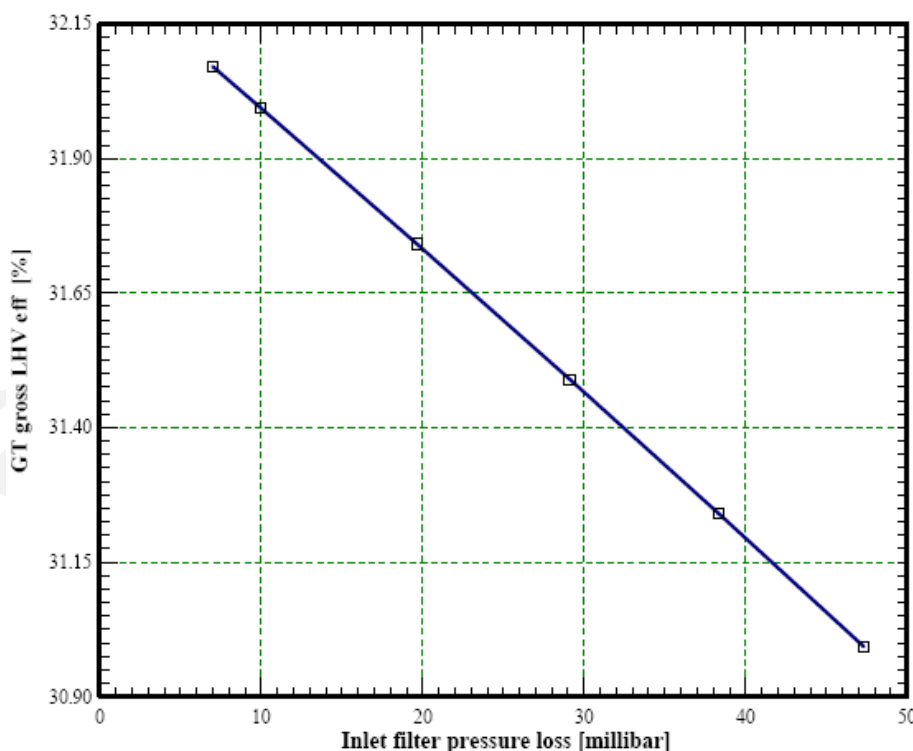
در شکل ۱۳-۳ و شکل ۱۴-۳ تأثیر میزان افت فشار بر تولید ناخالص و راندمان ناخالص سیکل ترکیبی نمایش داده شده است. ملاحظه می‌شود که با افزایش افت فشار از ۷ تا ۵۶/۰۹ میلی بار، میزان تولید ناخالص سیکل ترکیبی حدود ۲۱ مگاوات یا ۷/۱۸٪ کاهش می‌باید و راندمان سیکل ترکیبی حدود ۰/۷۴٪ کاهش می‌باید.

با توجه به مطالب گفته شده اهمیت تعمیر و نگهداری در مسیر ورود هوا به کمپرسور بیشتر مشخص می‌شود. چنانچه به طریقی افت فشار در ورودی از ۹/۹۶ میلی بار به ۷ میلی بار کاهش باید، میزان تولید ناخالص واحد

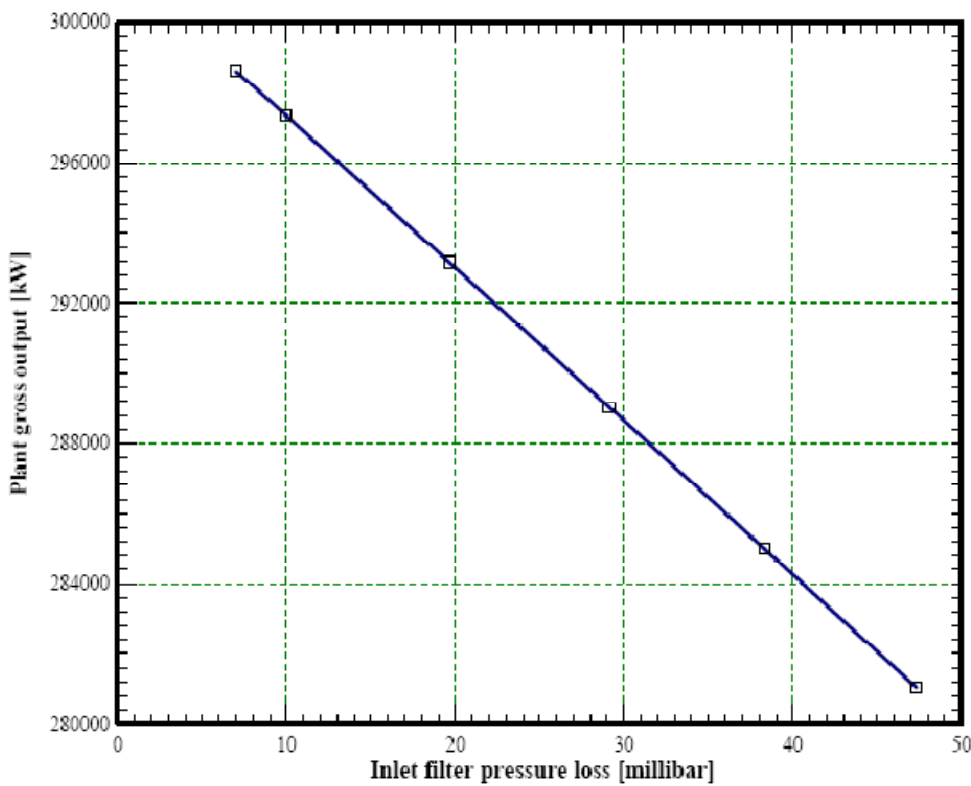
گازی حدود ۱/۲۵ مگاوات و تولید ناخالص سیکل ترکیبی حدود ۰/۵۸ مگاوات افزایش می‌یابد.



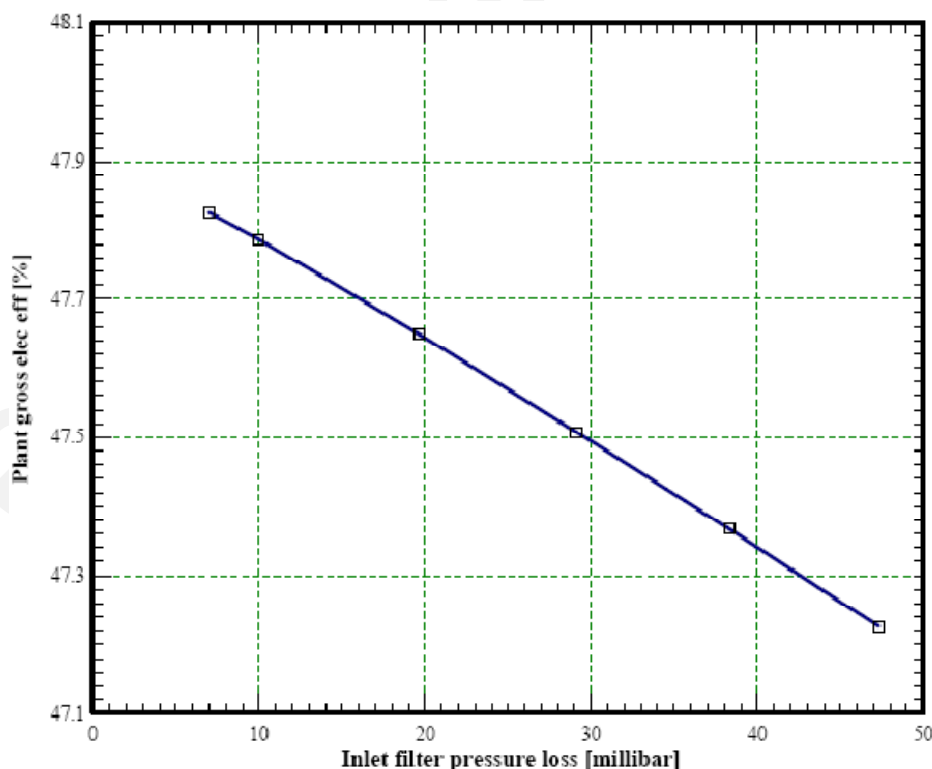
شکل ۱۱-۳. تأثیر افت فشار ورودی هوا به سیکل بر تولید ناخالص واحد گازی



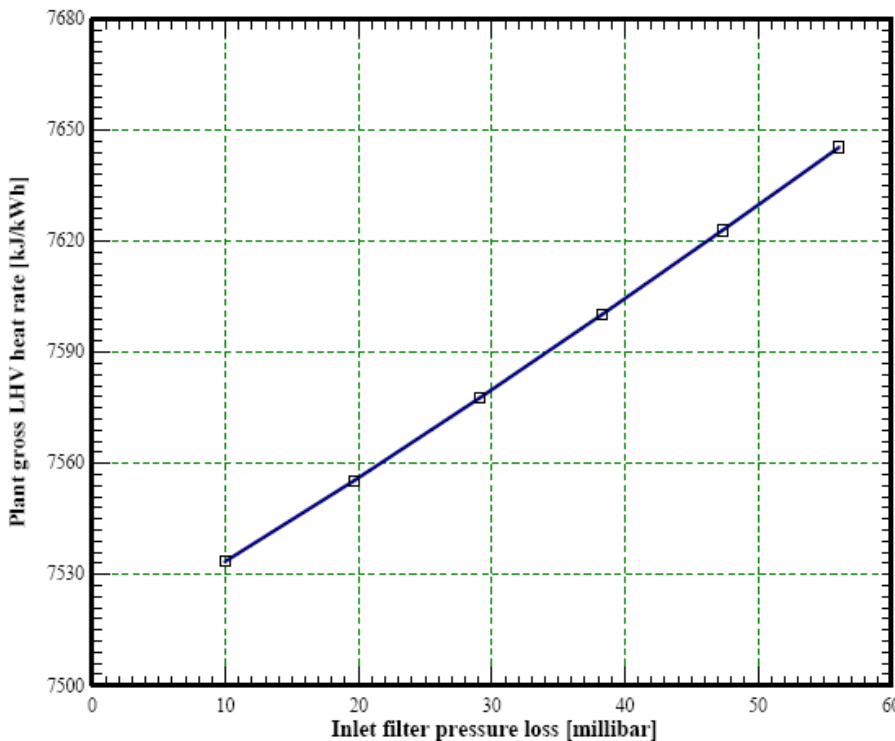
شکل ۱۲-۳. تأثیر افت فشار ورودی هوا به سیکل بر راندمان ناخالص واحد گازی



شکل ۱۳-۳. تأثیر افت فشار ورودی هوا به سیکل بر تولید ناخالص سیکل ترکیبی



شکل ۱۴-۳. تأثیر افت فشار ورودی هوا به سیکل بر راندمان ناخالص سیکل ترکیبی



شکل ۳-۱۵. تأثیر افت فشار ورودی هوا به سیکل بر Heat Rate سیکل ترکیبی

#### ۳-۴. بررسی تأثیر افت فشار در مسیر خروجی گازهای حاصل از احتراق، بر عملکرد سیکل

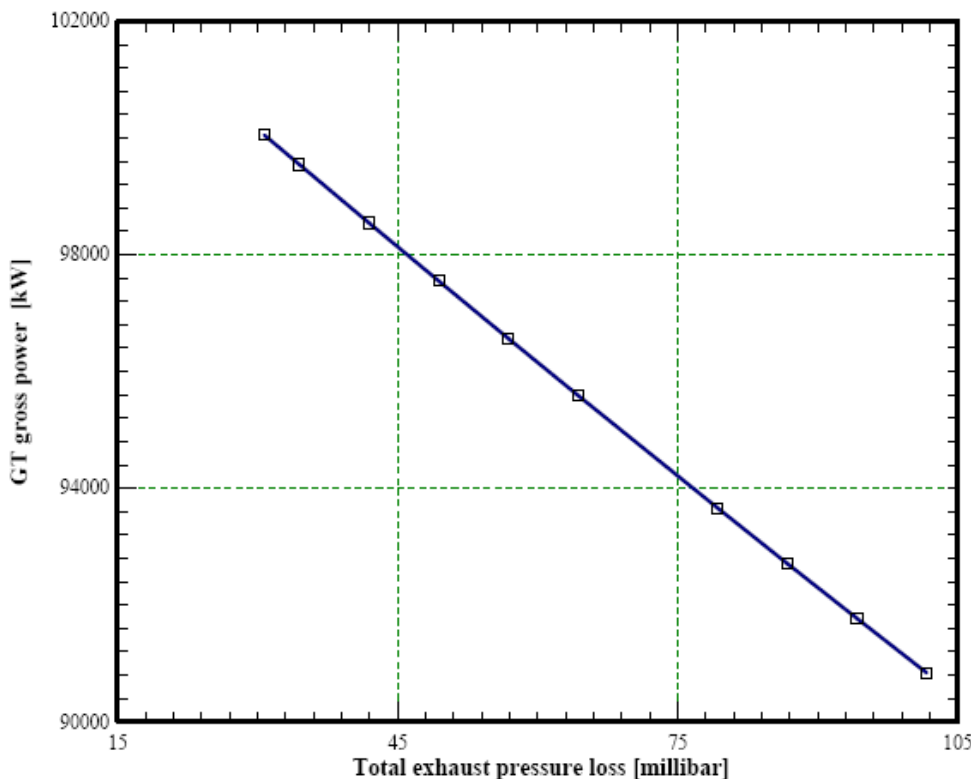
در این قسمت به بررسی تأثیر افت فشار در مسیر خروجی گازهای حاصل از احتراق بر عملکرد سیکل پرداخته شده است. افت فشار در حالت استاندارد در مسیر خروجی گازهای حاصل از احتراق  $34/47$  میلی بار می‌باشد که شامل افت فشار در مسیر خروجی توربین گازی، بویلر بازیافت حرارت و افت فشار در دودکش می‌باشد. به منظور بررسی تأثیر افت فشار بر عملکرد سیکل، افت فشار خروجی از  $30/74$  تا  $10/17$  میلی بار تغییر داده شده است.

در شکل ۳-۱۶ و شکل ۳-۱۷ تغییرات تولید ناخالص و راندمان ناخالص واحد گازی بر حسب افت فشار در مسیر خروجی گازهای حاصل از احتراق نمایش داده شده است. ملاحظه می‌شود که با افزایش افت فشار در ورودی از  $30/74$  تا  $10/17$  میلی بار، میزان تولید ناخالص واحد گازی حدود  $2/9$ % و راندمان ناخالص واحد گازی حدود  $20/2$ % کاهش می‌باید.

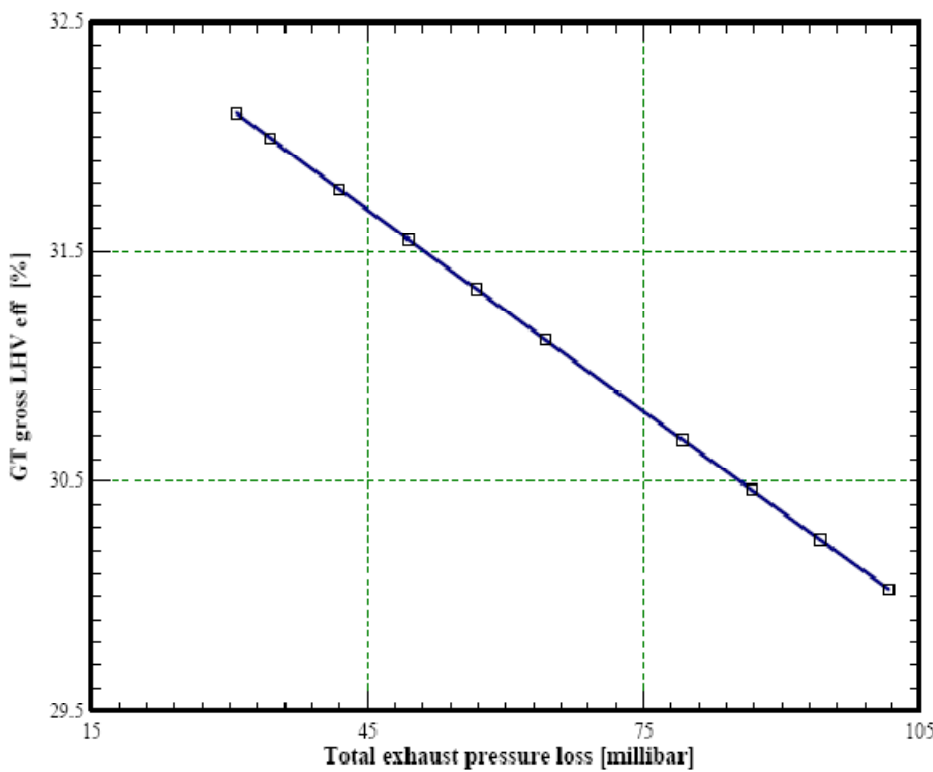
در شکل ۳-۱۸ و شکل ۳-۱۹ تأثیر میزان افت فشار خروجی بر تولید ناخالص و راندمان ناخالص سیکل ترکیبی نمایش داده شده است. ملاحظه می‌شود که با افزایش افت فشار از  $30/74$  تا  $10/17$  میلی بار، میزان تولید ناخالص سیکل ترکیبی حدود  $18$  مگاوات یا  $60/6$ % کاهش می‌باید و راندمان سیکل ترکیبی حدود  $56/10$ % کاهش می‌باید.

با توجه به مطالب گفته شده اهمیت تعمیر و نگهداری در مسیر خروجی گازهای حاصل از احتراق بیشتر

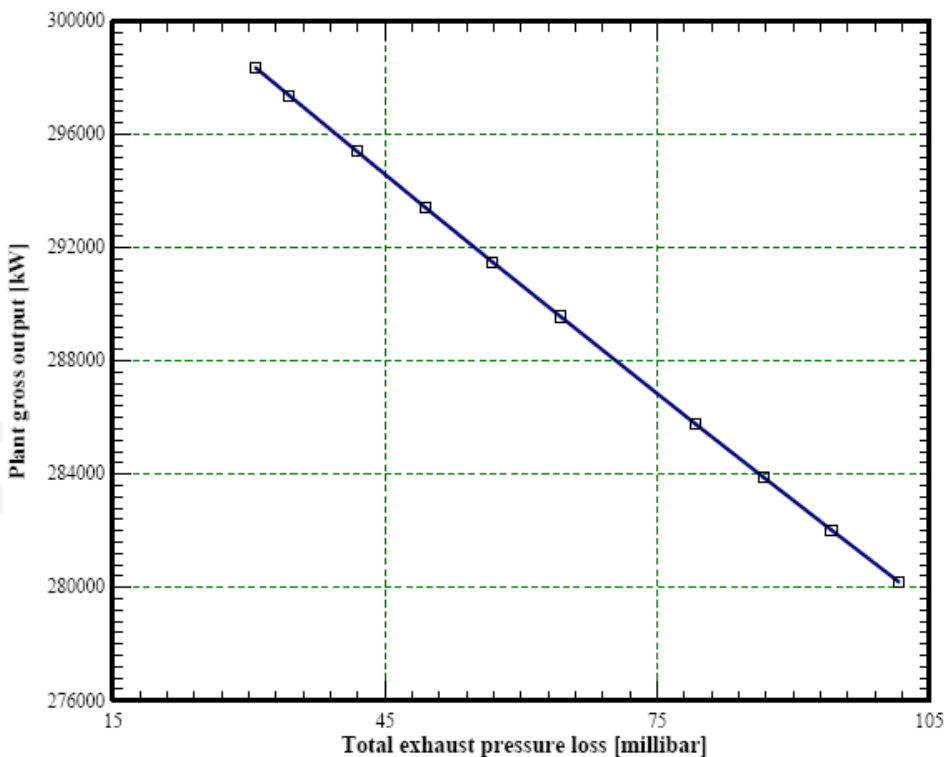
مشخص می‌شود. چنانچه به طریقی افت فشار در مسیر خروجی گازهای حاصل از احتراق نسبت به حالت استاندارد  $3/73$  میلی بار کاهش یابد میزان تولید ناخالص واحد گازی حدود  $0/5$  مگاوات و تولید ناخالص سیکل ترکیبی حدود  $1$  مگاوات افزایش می‌یابد.



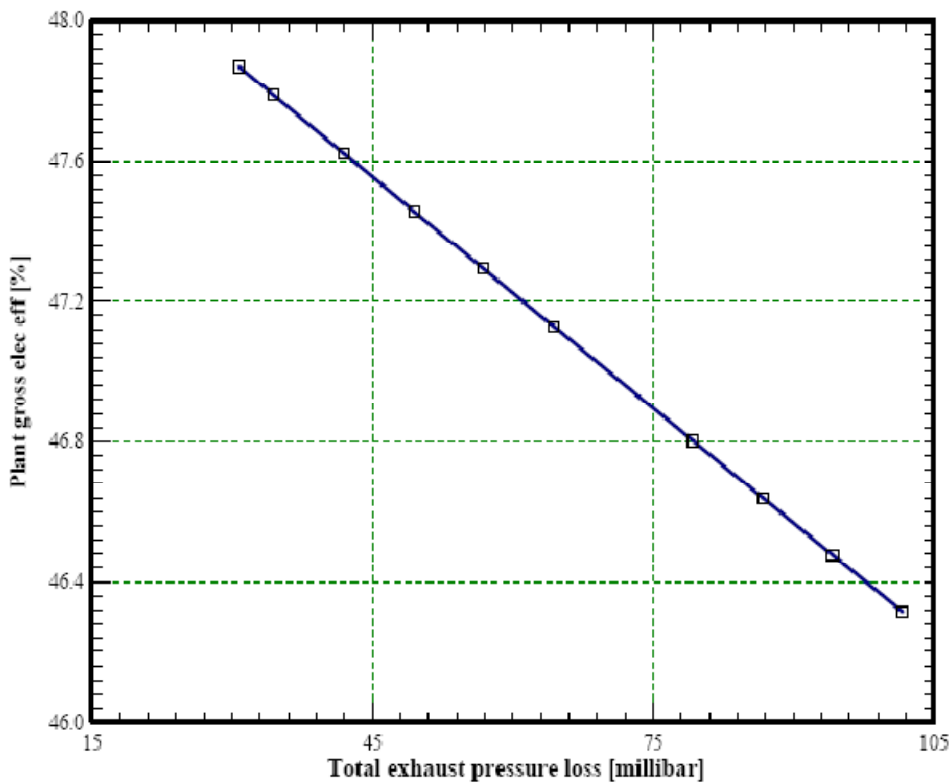
شکل ۱۶-۳. تأثیر افت فشار در مسیر خروجی گازهای حاصل از احتراق بر تولید ناخالص واحد گازی



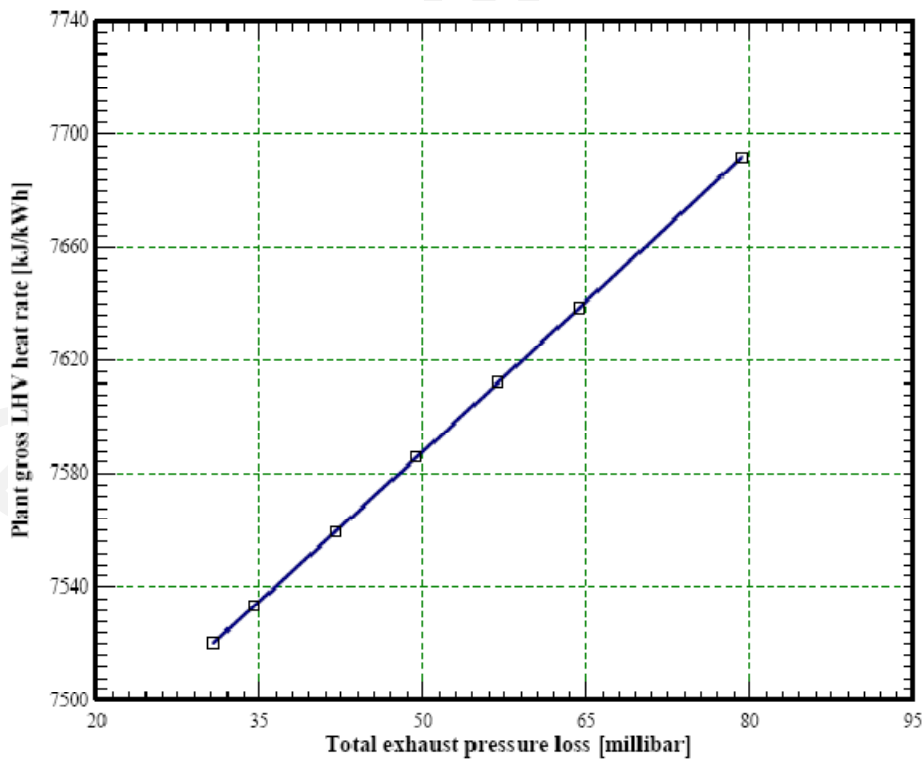
شکل ۳-۱۷. تأثیر افت فشار در مسیر خروجی گازهای حاصل از احتراق بر راندمان ناخالص واحد گازی



شکل ۳-۱۸. تأثیر افت فشار در مسیر خروجی گازهای حاصل از احتراق بر تولید ناخالص سیکل ترکیبی



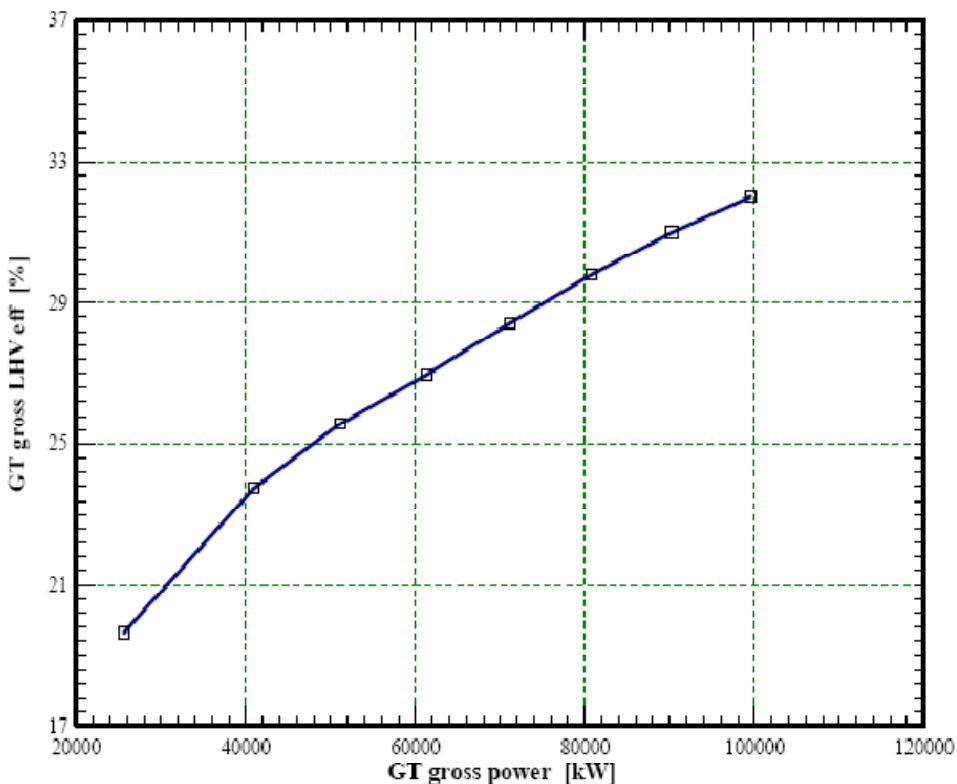
شکل ۱۹-۳. تأثیر افت فشار در مسیر خروجی گازهای حاصل از احتراق بر راندمان ناخالص سیکل ترکیبی



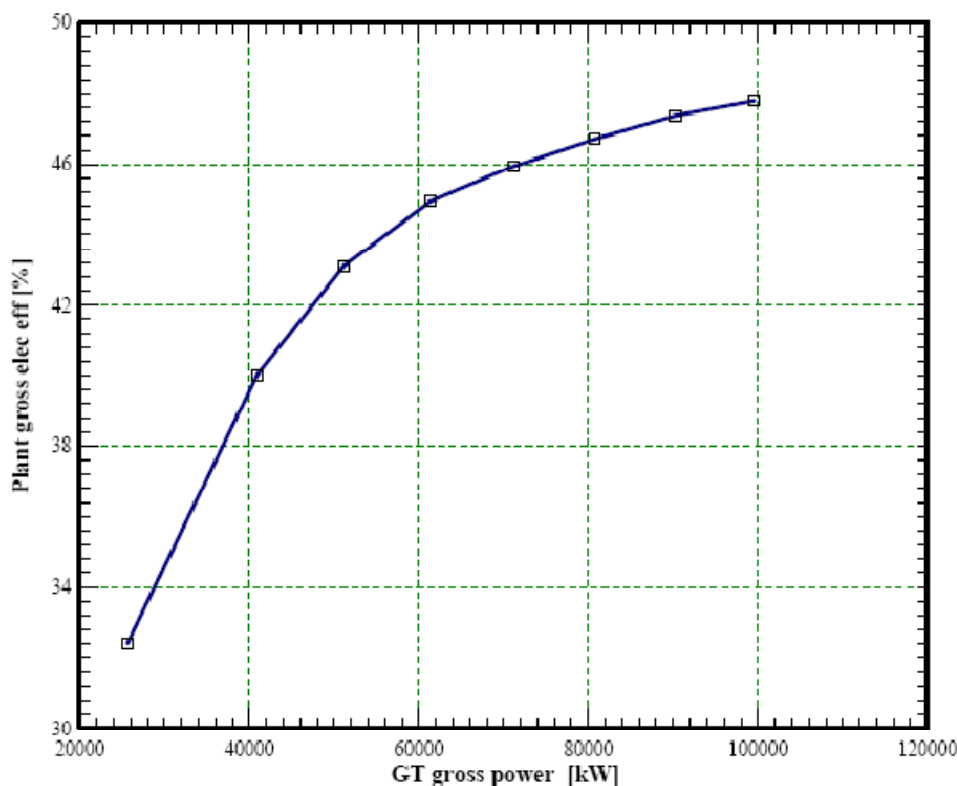
شکل ۲۰-۳. تأثیر افت فشار در مسیر خروجی گازهای حاصل از احتراق بر Heat Rate سیکل ترکیبی

### ۵-۵. بررسی تأثیر میزان بار (ضریب بار)، بر عملکرد سیکل

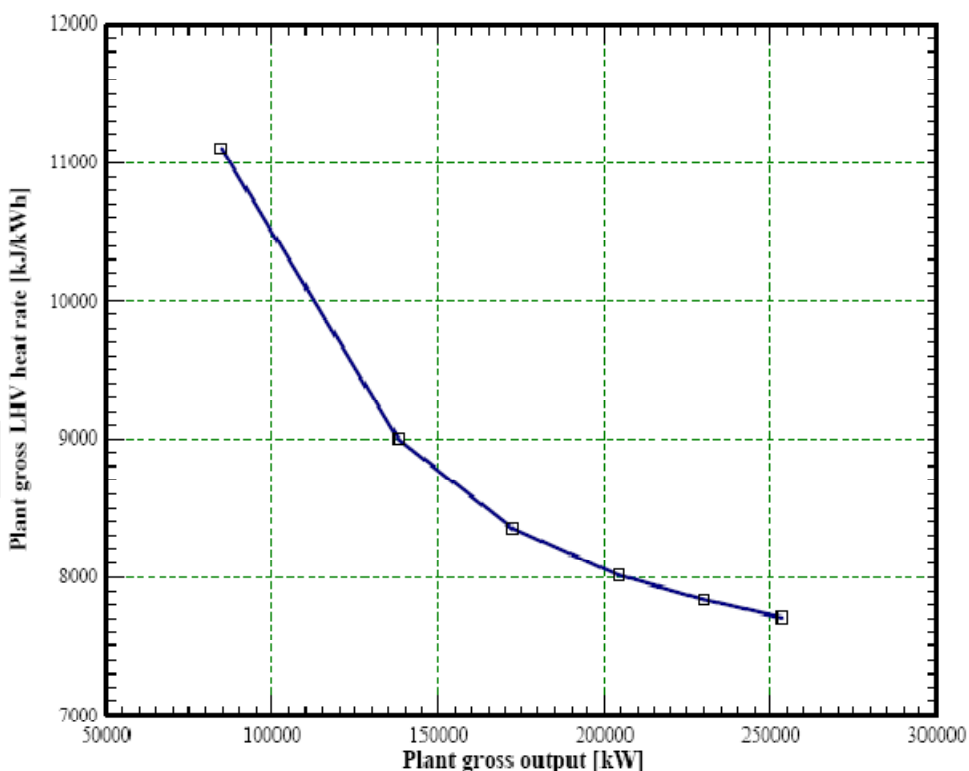
از دیگر عوامل تأثیرگذار بر عملکرد نیروگاه، میزان بار نیروگاه نسبت به حداکثر توان نیروگاه (ضریب بار) است. بدین منظور بار واحد گازی نیروگاه نسبت به توان نامی آن در شرایط طراحی از حدود ۲۵٪ تا ۱۰۰٪ تغییر داده شده است و متعاقباً توان تولیدی واحد بخار و در نهایت توان تولیدی سیکل ترکیبی تغییر خواهد کرد. در شکل ۲۱-۳ و شکل ۲۲-۳ تغییرات راندمان واحد گازی و راندمان سیکل ترکیبی نسبت به میزان بار واحد گازی نمایش داده شده است. ملاحظه می‌شود که هرچه توان تولیدی واحد گازی به توان حداکثر آن نزدیکتر شود راندمان واحد گازی و راندمان کل سیکل افزایش می‌یابد. البته سرعت افزایش راندمان سیکل ترکیبی با تغییرات بار، در بارهای کم بیشتر است.



شکل ۲۱-۳. تأثیر میزان بار واحد گازی بر راندمان ناخالص واحد گازی



شکل ۲۲-۳. تأثیر میزان بار واحد گازی بر راندمان ناخالص سیکل ترکیبی



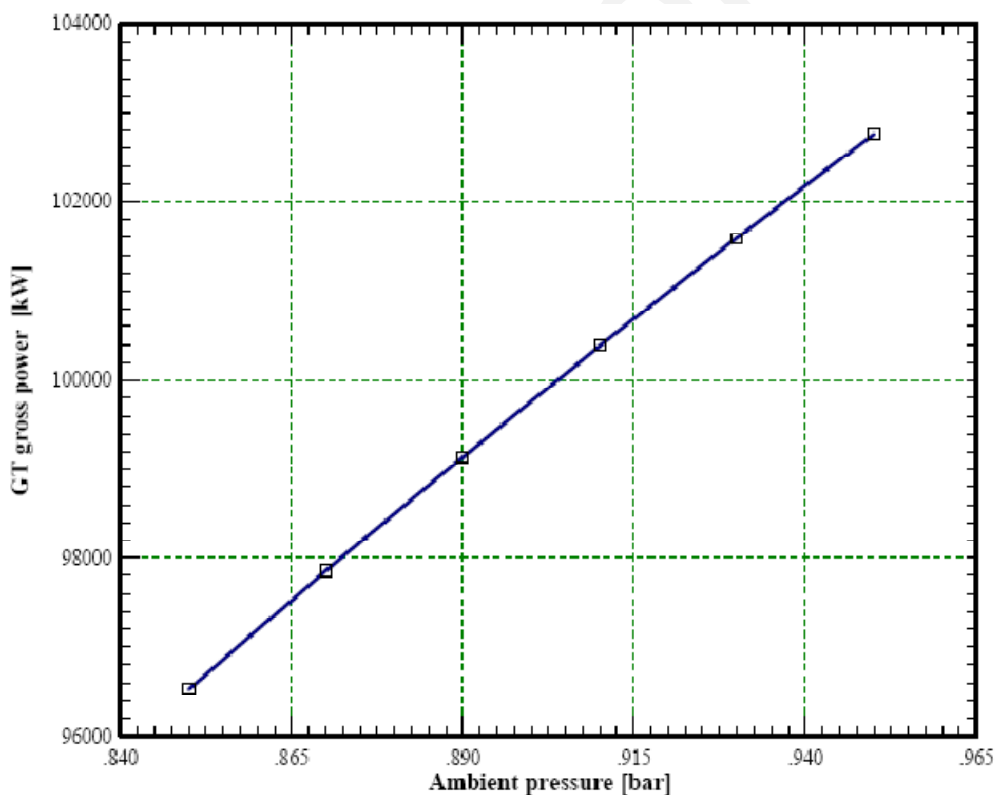
شکل ۲۳-۳. تأثیر میزان بار واحد گازی بر Heat Rate سیکل ترکیبی

### ۳-۶. بررسی تأثیر فشار محیط بر عملکرد سیکل

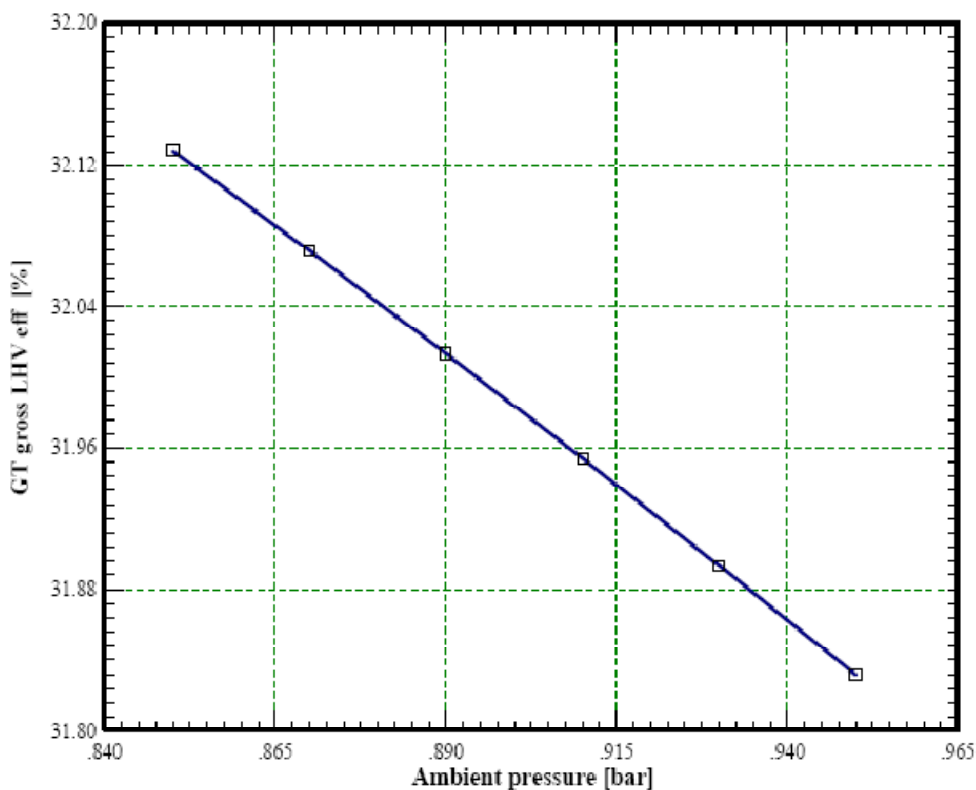
یکی دیگر از عوامل تأثیرگذار بر عملکرد سیکل فشار محیط می‌باشد. بدین منظور و با توجه به تغییرات فشار هوا در مکان جغرافیایی نیروگاه، فشار هوا از ۰/۸۵ تا ۰/۹۵ بار تغییر داده شده است.

در شکل ۲۴-۳ تغییرات توان ناخالص تولیدی واحد گازی بر حسب فشار محیط رسم شده است. ملاحظه می‌شود با افزایش فشار محیط، توان تولیدی واحد گازی نیز افزایش می‌یابد. با تغییر فشار محیط از ۰/۸۵ تا ۰/۹۵ بار، توان تولیدی واحد گازی حدود ۰/۶٪ (۶/۴۶ مگاوات) افزایش می‌یابد. اما چنانچه در شکل ۲۵-۳ ملاحظه می‌شود با افزایش فشار بخار راندمان واحد گازی کاهش می‌یابد. در تغییرات فشار محیط از ۰/۸۵ تا ۰/۹۵، راندمان واحد گازی حدود ۰/۳٪ کاهش می‌یابد.

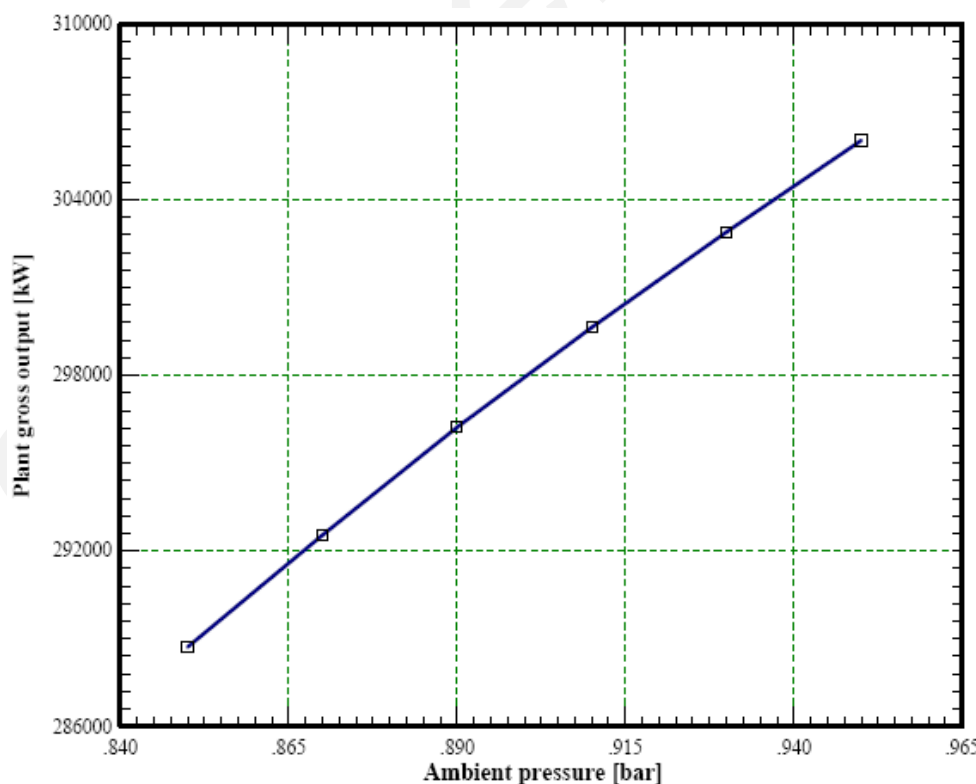
در مورد سیکل ترکیبی نیز با افزایش فشار محیط، میزان توان تولیدی سیکل ترکیبی افزایش و راندمان ناخالص آن کاهش می‌یابد. چنانچه در شکل ۲۶-۳ و شکل ۲۷-۳ ملاحظه می‌شود با افزایش فشار محیط از ۰/۸۵ تا ۰/۹۵ توان ناخالص تولیدی حدود ۰/۵٪ (۱۷/۳ مگاوات) افزایش، اما راندمان آن حدود ۰/۶۵٪ کاهش می‌یابد.



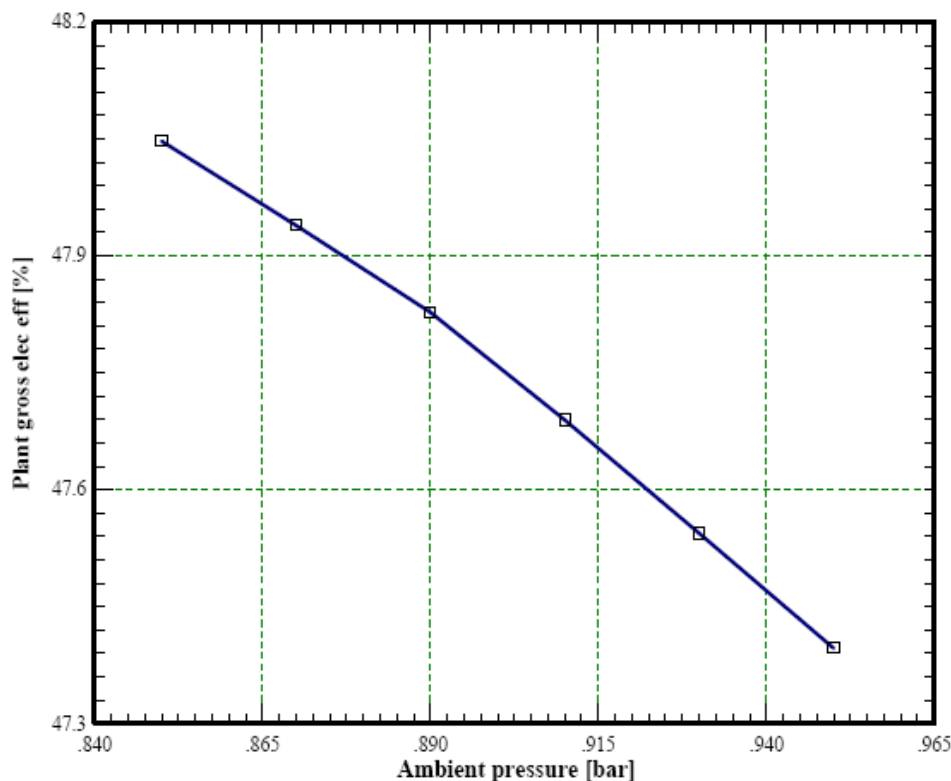
شکل ۲۴-۳. تأثیر فشار محیط بر توان ناخالص تولیدی واحد گازی



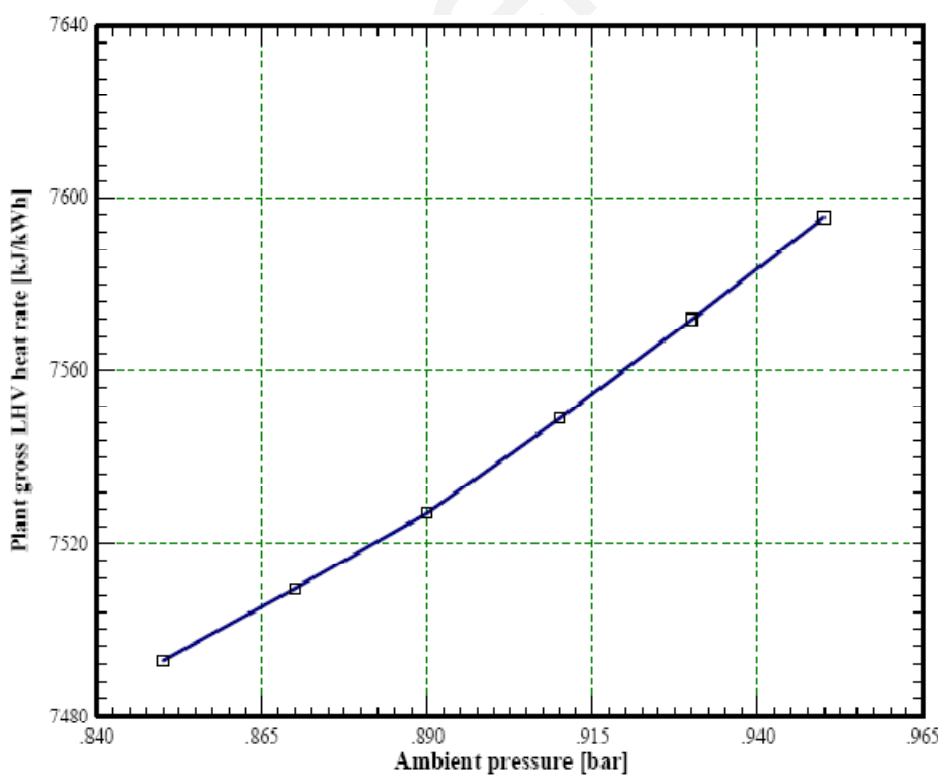
شکل ۳-۲۵. تأثیر فشار محیط بر راندمان ناخالص واحد گازی



شکل ۳-۲۶. تأثیر فشار محیط بر توان ناخالص سیکل ترکیبی



شکل ۲۷-۳. تأثیر فشار محیط بر راندمان ناخالص سیکل ترکیبی



شکل ۲۸-۳. تأثیر فشار محیط بر Heat Rate سیکل ترکیبی

## فصل چهارم

### بررسی کارایی واحدهای سیکل ترکیبی نیروگاه مورد نظر در زمان اندازه گیری

نتایج تحلیل انرژیتیک و اگزرژیتیگ واحدهای سیکل ترکیبی نیروگاه مورد نظر در زمان اندازه گیری در فصل دوم گزارش ارائه شده است. در این قسمت ابتدا عملکرد فعلی نیروگاه با شرایط طراحی مقایسه، علل انحراف از شرایط طراحی مشخص و در نهایت Heat Rate قابل قبول برای نیروگاه تعیین شده است.

#### ۴-۱. بررسی کارایی نیروگاه مورد نظر در شرایط فعلی در مقایسه با طراحی

مقایسه نتایج محاسبه راندمان انرژی و راندمان اگزرژی واحدهای گازی و سیکل ترکیبی دو واحد نیروگاه بررسی شده در گزارش در زمان اندازه گیری در جدول ۴-۱ ارائه شده است.

جدول ۴-۱. نتایج تحلیل انرژی و اگزرژی دو واحد سیکل ترکیبی نیروگاه مورد نظر در زمان اندازه گیری

اندازه گیری		طراحی	نتایج تحلیل انرژی و اگزرژی سیکلهای ترکیبی نیروگاه مورد نظر
واحد	واحد		
۹۷/۶۱	۸۹/۳۴	۹۹/۵۵	توان تولیدی (کیلو وات)
۳۱/۱۱	۲۹/۶۹	۳۱/۹۹	راندمان٪
۱۱۵۷۰	۱۲۱۲۶	۱۱۲۵۳	Heat Rate (کیلوژول بر کیلووات ساعت)
۳۰	۳۱	۳۱	دماي محيط (درجه سانتيگراد)
۱۱	۱۳	۴۲/۵	رطوبت محيط (٪)
۵۱۵	۵۱۳	۵۳۲	دماي گازهای خروجي (درجه سانتيگراد)
۳۰/۸۳	۲۹/۴	۳۱/۶۸	راندمان اگزرژی٪
۲۹۱/۷۴	۲۷۱/۵	۲۹۷/۳۲	توان تولیدی (کیلو وات)
۴۶/۵	۴۵/۱	۴۷/۷۷	راندمان٪
۷۷۴۲	۷۹۸۱	۷۵۳۵	Heat Rate (کیلوژول بر کیلووات ساعت)
۴۶/۰۷	۴۴/۷	۴۷/۳۱	راندمان اگزرژی٪

#### ۱-۱-۴. تحلیل علل انحراف از شرایط طراحی و تعیین Heat Rate قابل قبول واحدهای گازی

در این بخش از گزارش Heat Rate قابل قبول واحدهای گازی به دو طریق تعیین گردیده است:

روش اول: استفاده از نمودارهای موجود در اطلاعات طراحی واحدهای گازی نیروگاه

$cTA$  : فاکتور تاثیر ضریب بار بر  $Heat Rate$  -۱

$$Unit1: LF = 89.74\% \xrightarrow[\text{پ. شکل ۱-۱}]{\quad} Fuel Flow = 92\% \Rightarrow C_{Load Factor} = 1.025$$

$$Unit2: LF = 98\% \xrightarrow[\text{پ. شکل ۱-۱}]{\quad} Fuel Flow = 99\% \Rightarrow C_{Load Factor} = 1.01$$

$cTA$  : فاکتور تاثیر دمای محیط و دمای دود بر  $Heat Rate$  -۲

$T_E$  = measured Exhaust Temp.

$T_{E'}$  = Exhaust gas temperature at base load

$$Unit1: \begin{cases} T_E = 513^\circ C \\ T_{E'} = 532^\circ C \end{cases} \Rightarrow \Delta T = -19^\circ C, T_{amb.} = 31^\circ C \xrightarrow[\text{پ. شکل ۱-۲}]{\quad} C_{aT} = 1.018$$

$$Unit2: \begin{cases} T_E = 515^\circ C \\ T_{E'} = 532^\circ C \end{cases} \Rightarrow \Delta T = -17^\circ C, T_{amb.} = 30^\circ C \xrightarrow[\text{پ. شکل ۱-۲}]{\quad} C_{aT} = 1.0136$$

$Heat Rate$  : فاکتور تاثیر سرعت توربین بر  $C_{frequency}$  -۳

$$Unit1: Measured Frequency = 50.076Hz \xrightarrow[\text{پ. شکل ۱-۳}]{\quad} C_f = 1.001$$

$$Unit2: Measured Frequency = 50.01Hz \xrightarrow[\text{پ. شکل ۱-۳}]{\quad} C_f = 1.000$$

$Heat Rate$  : فاکتور تاثیر رطوبت محیط بر  $C_{RH}$  -۴

$$\begin{cases} Performance test: R.H. = 42.5\% \xrightarrow[\text{پ. شکل ۲-۲}]{\quad} H.R. = 11253Kj/KWh \\ Unit1: R.H. = 13\% \xrightarrow[\text{پ. شکل ۲-۲}]{\quad} H.R. = 11209Kj/KWh \end{cases} \Rightarrow C_{R.H.} = 0.996$$

$$\begin{cases} Performance test: R.H. = 42.5\% \xrightarrow[\text{پ. شکل ۲-۲}]{\quad} H.R. = 11253Kj/KWh \\ Unit1: R.H. = 11\% \xrightarrow[\text{پ. شکل ۲-۲}]{\quad} H.R. = 11212Kj/KWh \end{cases} \Rightarrow C_{R.H.} = 0.996$$

لازم به ذکر است با توجه به مشخص نبودن تغییرات افت فشار داخلی (افت فشار در هوایی که به کمپرسور وارد می‌شود) و خارجی (افت فشار در دودی که از توربین گازی خارج می‌شود) در شرایط واقعی نسبت به شرایط طراحی، تأثیر این دو فاکتور بر Heat rate در نظر گرفته نمی‌شود، با این توصیف:

1 . Back pressure

فاکتور تصحیح نیروگاه برابر با حاصل ضرب فاکتور تصحیح هریک از عوامل فوق الذکر است، بنابراین:

$$Unit1: Correction Factor = 1.025 \times 1.018 \times 1.001 \times 0.996 = 1.04$$

$$Unit2: Correction Factor = 1.01 \times 1.0136 \times 1.0 \times 0.996 = 1.03$$

و لذا Heat rate قابل قبول برای نیروگاه برابر است با:

$$Unit1: Acceptable Heat Rate = 1.04 \times 11253 = 11703 Kj/KWh$$

$$Unit2: Acceptable Heat Rate = 1.03 \times 11253 = 11590 Kj/KWh$$

نتایج به دست آمده نشان می‌دهد که واحدهای گازی مدول ۲ سیکل ترکیبی نسبت به واحدهای مدول ۱ سیکل ترکیبی نیروگاه مورد نظر دارای عملکرد نسبتاً بهتری بوده و با توجه به نزدیک بودن Heat Rate واحدهای گازی مربوط به مدول ۱ و ۲ سیکلهای ترکیبی نیروگاه در زمان اندازه گیری به Heat rate قابل قبول به دست آمده، به طور کلی عملکرد واحدهای گازی نیروگاه سیکل ترکیبی مناسب ارزیابی می‌گردد.

روش دوم: استفاده از نمودارهای حاصل از مدلسازی واحدهای گازی نیروگاه

Heat Rate: فاکتور تاثیر ضریب بار بر  $C_{LF}$  -۱

$$Unit1: LF = 89.74\% \xrightarrow{\text{پ. شکل ۲-۳}} C_{Load Factor} = \frac{11600}{11253} = 1.03$$

$$Unit2: LF = 98\% \xrightarrow{\text{پ. شکل ۲-۳}} C_{Load Factor} = \frac{11350}{11253} = 1.01$$

Heat Rate: فاکتور تاثیر دمای محیط بر  $C_{aT}$  -۲

Ambient temperature at baseload =  $31^\circ C$

$$Unit1: T_{ambient} = 31^\circ C \xrightarrow{\text{پ. شکل ۲-۱}} C_{aT} = 1$$

$$Unit2: T_{ambient} = 30^\circ C \xrightarrow{\text{fig. پ. ۲-۱}} C_{aT} = 0.997$$

Heat Rate: فاکتور تاثیر رطوبت محیط بر  $C_{RH}$  -۳

$$\left\{ \begin{array}{l} \text{Performance test: } R.H. = 42.5\% \xrightarrow{\text{پ. شکل ۲-۲}} H.R. = 11253 Kj/KWh \\ Unit1: R.H. = 13\% \xrightarrow{\text{پ. شکل ۲-۲}} H.R. = 11209 Kj/KWh \end{array} \right. \Rightarrow C_{R.H.} = 0.996$$

$$\left\{ \begin{array}{l} \text{Performance test: } R.H. = 42.5\% \xrightarrow{\text{پ. شکل ۲-۲}} H.R. = 11253 Kj/KWh \\ Unit1: R.H. = 11\% \xrightarrow{\text{پ. شکل ۲-۲}} H.R. = 11212 Kj/KWh \end{array} \right. \Rightarrow C_{R.H.} = 0.996$$

فاکتور تصحیح نیروگاه برابر با حاصل ضرب فاکتور تصحیح هریک از عوامل فوق الذکر است، بنابراین:

$$Unit1: Correction Factor = 1.03 \times 1 \times 0.996 = 1.03$$

$$Unit2: Correction Factor = 1.01 \times 0.997 \times 0.996 = 1.003$$

و لذا Heat rate قابل قبول برای نیروگاه برابر است با:

$$Unit1: Acceptable Heat Rate = 1.03 \times 11253 = 11590 Kj/KWh$$

$$Unit2: Acceptable Heat Rate = 1.003 \times 11253 = 11287 Kj/KWh$$

بنابراین ملاحظه می‌گردد که Heat rate فعلی واحدهای گازی نیروگاه سیکل ترکیبی مورد نظر قابل قبول می‌باشد.

#### ۱-۲. تحلیل علل انحراف از شرایط طراحی و تعیین Heat Rate قابل قبول سیکل ترکیبی

دلایل انحراف از شرایط طراحی و تعیین Heat Rate عبارتند از:

- ۱- فقدان نمودارهای تغییر Heat Rate با پارامترهای تاثیرگذار درست کارایی واحدهای سیکل ترکیبی نیروگاه
- ۲- نزدیک بودن نتایج حاصل از نمودارهای نرمافزار با نمودارهای تست کارایی واحدهای گازی نیروگاه با تقریب نسبتاً خوبی می‌توان جهت تعیین Heat Rate قابل حصول این واحدها، از نمودارهای مدل ساخته شده با استفاده از نرمافزار ترموفلو استفاده کرد.

Heat Rate : فاکتور تأثیر ضریب بار بر  $C_{LF}$  -۱

$$Unit1: LF_{Gas Turbine} = 89.74\% \xrightarrow{fig.\varphi^3-4} C_{Load Factor} = \frac{7605}{7535} = 1.0093$$

$$Unit2: LF_{Gas Turbine} = 98\% \xrightarrow{fig.\varphi^3-4} C_{Load Factor} = \frac{7550}{7535} = 1.002$$

Heat Rate : فاکتور تأثیر دمای محیط بر  $C_{aT}$  -۲

Ambient temperature at base load = 31°C

$$Unit1: T_{ambient} = 31^\circ C \xrightarrow{fig.\varphi^3-1} C_{aT} = 1$$

$$Unit2: T_{ambient} = 30^\circ C \xrightarrow{fig.\varphi^3-1} C_{aT} = \frac{7526}{7535} = 0.999$$

Heat Rate : فاکتور تأثیر رطوبت محیط بر  $C_{RH}$  -۳

$$Unit1: R.H. = 13\% \xrightarrow{fig.\varphi^3-2} C_{RH} = \frac{7521.6}{7535} = 0.998$$

$$Unit2: R.H. = 11\% \xrightarrow{fig. ۳-۲} C_{R.H.} = \frac{7522.4}{7535} = 0.998$$

#### -۴ فاکتور تأثیر فشار کندانسور بر Heat Rate

میانگین فشار خروجی توربین (فشار کندانسور)، در شرایط طراحی برابر با  $0/2205$  بار بوده و در شرایط فعلی برابر با  $0/265$  بار برای واحد ۱ و  $0/268$  بار برای واحد ۲ می‌باشد.

$$Unit1: Condenser Pressure = 0.2678 bar \xrightarrow{\text{شك. ۳-۶}} C_{C.P.} = \frac{7589}{7535} = 1.007$$

$$Unit2: Condenser Pressure = 0.2649 bar \xrightarrow{\text{شك. ۳-۶}} C_{C.P.} = \frac{7589}{7535} = 1.007$$

لازم به ذکر است، پارامترهای مؤثر دیگر که تأثیر آنها بر نرخ حرارتی به دلایلی از جمله فقدان نمودارهای تأثیر آنها بر Heat Rate نیروگاه و یا عدم اطلاع دقیق از تغییرات آن نسبت به طراحی، در نظر گرفته نشده است، شامل:

- افت فشار داخلی و خارجی
- عمر نیروگاه
- شرایط عملیاتی (دما و فشار بخار ورودی به توربوزنراتور)
- تأثیر کیفیت سوخت
- دمای گازهای خروجی از دودکش
- نمودار تأثیر مصرف برق سایر حاملهای انرژی (آب دمین) می‌باشد. با این توصیف:

فاکتور تصحیح نیروگاه برابر با حاصلضرب فاکتور تصحیح هریک از عوامل فوق الذکر است، بنابراین:

$$Unit1: Correction Factor = 1.0093 \times 1 \times 0.998 \times 1.007 = 1.014$$

$$Unit2: Correction Factor = 1.002 \times 0.999 \times 0.998 \times 1.007 = 1.006$$

و لذا Heat rate قابل قبول برای نیروگاه برابر است با:

$$Unit1: Acceptable Heat Rate = 1.014 \times 7535 = 7640.5 Kj/KWh$$

$$Unit2: Acceptable Heat Rate = 1.006 \times 7535 = 7580.2 Kj/KWh$$

بنابراین ملاحظه می‌گردد که Heat rate فعلی واحدهای سیکل ترکیبی نیروگاه مورد نظر قابل قبول می‌باشد.

#### ۴-۲. مقایسه راندمانهای هریک از المانهای سیکل در شرایط فعلی با طراحی

به منظور مقایسه شرایط کارکرد المانهای سیکل در زمان اندازه گیری با شرایط طراحی، راندمانهای انرژیتیک و اگرژیتیک المانهای سیکل بخشهای گازی و بخار نیروگاه سیکل ترکیبی مورد نظر در زمان اندازه گیری و طراحی به ترتیب در جدول ۴-۳ و جدول ۴-۴ ارائه شده است.

جدول ۴-۲. مقایسه شرایط کارکرد المانهای بخش گازی سیکل در زمان اندازه گیری با شرایط طراحی

نتایج تحلیل انرژیتیک و اگرژیتیک کمپرسور			
واحد	واحد	طراحی	
۸۸/۴۸	۸۶/۲	۹۲/۹۲	راندمان آیزنتروپیک٪
۵۹/۹۶	۵۸/۷	۶۳/۰۴	راندمان آیزوترمال٪
۹۴/۳۶	۹۳/۲۷	۹۶/۱۴	راندمان اگرژیتیک٪
۱۴۲/۵۶	۱۴۲/۳۶	۱۲۶/۵۲	توان مصرفی کمپرسور(مگا وات)
۳۵۹	۳۶۳/۶	۳۴۰	شدت مصرف انرژی الکتریکی (کیلو وات بر متر مکعب)
نتایج تحلیل انرژیتیک و اگرژیتیک توربین گازی			
واحد	واحد	طراحی	
۹۱/۵۴	۹۱/۴۲	۹۱/۵۸	راندمان آیزنتروپیک٪
۹۷/۳۶	۹۷/۳	۹۶/۱۳	راندمان اگرژی٪
۲۴۲/۴۱	۲۳۳/۸۵	۲۲۸/۳۳	توان تولیدی توربین(مگا وات)
۹۸/۵۴	۹۸/۵	۹۸/۵۵	راندمان ژنراتور٪

همانگونه که از نتایج به دست آمده مشخص است، واحد گازی نیروگاه از شرایط طراحی فاصله چندانی نگرفته است و راندمان آیزنتروپیک توربین گازی و کمپرسور نسبت به شرایط طراحی افت قابل ملاحظه ای نداشته است. لازم به ذکر است که راندمان آیزنتروپیک معمولاً تابع عواملی نظیر رسوبگذاری و فرسایش پرههای توربین و کمپرسور است. عدم تغییر قابل توجه راندمان آیزنتروپیک کمپرسور و توربین گازی از شرایط طراحی به مفهوم عدم وجود مشکلاتی نظیر فرسایش و یا رسوبگذاری پرههای توربین گازی و کمپرسور است. لازم به ذکر است، براساس نتایج به دست آمده کمپرسور نسبت به توربین در مقایسه با طراحی افت بیشتری داشته است.

جدول ۴-۳. نتایج تحلیل انرژی و اگزرژی المانهای بخش بخار در دو واحد سیکل ترکیبی مورد نظر در زمان اندازه گیری

نتایج تحلیل انرژی و اگزرژی بویلر بازیافت حرارت		طراحی واحد	واحد ۱	واحد ۲
Effectivness			۰/۹۵۴۵	۰/۹۴۸۷
راندمان انرژی٪			۷۰/۱۳	۷۰/۱۱
راندمان اگزرژی٪			۷۶/۵۹	۷۶/۶۶
نتایج تحلیل انرژی و اگزرژی توربوژنراتور		طراحی واحد	واحد ۱	واحد ۲
راندمان آیزنتروپیک توربین بخار٪			۹۰/۱۶	۹۱/۲۵
راندمان اگزرژی توربین بخار٪			۹۱/۱۵	۹۲/۴۴
توان تولیدی توربین (مگا وات)			۹۴/۸۵	۹۸/۵۸
راندمان ژنراتور واحد بخار٪			۹۷/۸۷	۹۷/۹
نتایج تحلیل انرژی و اگزرژی ACC		طراحی واحد	واحد ۱	واحد ۲
Effectivness			۰/۹۴۱	۰/۹۳۴
توان مبادله شده با هوا(مگا وات)			۲۳۴/۳۶	۲۳۱/۷۲
توان مصرفی فنهای کندانسور (کیلو وات)			۲۶۱۰	۲۳۱۱/۹
اگزرژی مبادله شده با هوا(مگا وات)			۱۴/۳۲۱	۱۵/۵۴۰
بارگشت ناپذیری(مگا وات)			۲۱/۸	۲۴/۰۷
نتایج تحلیل انرژی و اگزرژی پمپ کندانس <sup>۱</sup>		طراحی واحد	واحد ۱	واحد ۲
راندمان آیزووترمال٪			۶۵/۰۳	۵۹/۶۲
توان مصرفی الکتروموتور(کیلو وات)			۳۷۵	۳۳۰/۷
توان مصرفی پمپ(کیلو وات)			۳۳۷	-
نتایج تحلیل انرژی و اگزرژی پمپ آب تغذیه <sup>۱</sup>		طراحی	F.W.P.11	F.W.P.12
راندمان آیزووترمال٪			۶۲/۵۲	۶۱/۶۲
توان مصرفی الکتروموتور(کیلو وات)			۱۱۰۰	۹۹۴/۸
-			۹۷۲/۱	۶۱/۷۵
F.W.P.21			۶۵/۱۰	F.W.P.22

بخش بخار نیروگاه سیکل ترکیبی مورد نظر نیز بر اساس نتایج به دست آمده در شرایط کارکرد مناسبی قرار دارد و از شرایط طراحی فاصله چندانی نگرفته است.

۱. تحلیلهای پمپ کندانس و پمپ آب تغذیه برای طراحی در شرایط تست کارکرد انجام گرفته است و برای اندازه گیری از نتایج پایش و اندازه

گیری استفاده شده است.

۲. به دلیل کمبود اطلاعات طراحی پمپهای آب تغذیه (منحنی مشخصه پمپ)، توان مصرفی الکتروموتور پمپ آب تغذیه برابر با برق نامی الکتروموتور فرض شده است. لذا راندمان طراحی از راندمان در زمان اندازه گیری کمتر به دست آمده است.

## فصل ششم

### ارائه راهکارهای بهبود کارایی و ارزیابی فنی و اقتصادی راهکارها

در این فصل راهکارهای بهبود کارایی و کاهش مصرف داخلی واحدهای سیکل ترکیبی نیروگاه مورد بررسی، به همراه آنالیز اقتصادی هریک ارائه می‌شود و در نهایت اولویت اجرای این راهکارها تعیین می‌گردد.

#### ۱-۵. ارائه راهکارهای مکانیکی کاهش مصرف انرژی در نیروگاه سیکل ترکیبی

راهکارهای مکانیکی کاهش مصرف انرژی در واحدهای سیکل ترکیبی نیروگاه مورد نظر شامل راهکارهای عمومی نظیر تعمیر و نگهداری و ارتقاء سیستم پایش و نیز راهکارهای اختصاصی کاهش دمای هوای ورودی به کمپرسور به دو روش فاگ و چیلر جذبی است.

#### ۱-۱. تعمیر و نگهداری

عملکرد یک نیروگاه متاثر از عملکرد تک تک تجهیزات به کار رفته در آن است، توربین، کمپرسور و بویلر بازیافت حرارت به عنوان مبدل انرژی یکی از مهم ترین تجهیزات نیروگاه سیکل ترکیبی به شمار می‌روند که در چگونگی عملکرد آن نقش تعیین کننده ای دارند.

نگهداری نیروگاه گازی مستلزم بازرسی دوره‌ای، تعمیر و تعویض قطعات دارای اشکال است. نوع سوخت، فرکанс توقفات و شرایط محیطی بر بازه زمانی بازرسیها تأثیر گذار است. استفاده از سوخت‌های مایع و وجود توقفات و راه اندازیهای پیاپی باعث کاهش عمر قطعات توربین گازی شده، نیاز به بازرسی‌های دوره ای را افزایش می‌دهد [۱۰].

تعمیرات نگهدارنده نیروگاه گازی شامل انواع مختلف روش‌های بازرسی است:

- بازرسی عبوری: در این روش ضمن بررسی اطلاعات پایش نظیر بار، دمای گازهای خروجی دودکش و دبی سوخت، هرگونه تغییر در کارایی نیروگاه مورد بررسی قرار می‌گیرد.
- بازرسی احتراق: این نوع بازرسی که شامل بازرسی تجهیزات احتراقی و از جمله نازل‌های سوخت است، فقط در هنگام توقفات قابل اجرا است.
- بازرسی مسیر گازهای داغ: این نوع بازرسی، شامل بازرسی اجزاء مختلف محفظه توربین گازی

است.

- بازرسی اساسی: این نوع بازرسی علاوه بر اجزاء مختلف محفظهٔ توربین گازی، اجزاء مختلف محفظهٔ کمپرسور را نیز شامل می‌شود [۱۰].

افزایش کارایی بویلر بازیافت حرارت در سیکلهای ترکیبی با تاثیر بر افزایش تولید موجب افزایش بازده می‌گردد.

با استفاده از فناوری‌های مراقبت پیشگویانه جهت افزایش بازده بویلر بازیافت حرارت در نیروگاه‌های سیکل ترکیبی به منظور بهبود عملکرد آن‌ها علاوه بر کاهش تلفات و افزایش بازده، نتایج سودمند دیگری نیز نظری افزایش قابلیت دسترسی، کاهش تعداد و زمان توقف‌ها، حفظ ایمنی، افزایش عمر مفید را در پی خواهد داشت. آگاهی از وضعیت موجود واحد و تجهیزات جانبی آن در حین بهره‌برداری و استفاده از روش‌های غیرمستقیم برای تشخیص بروز احتمالی عیوب و تخمین میزان گسترش آنها، این امکان را برای بهره‌بردار فراهم می‌آورد تا بدون نیاز به توقف واحد به وسیله یک سری آزمون‌ها یا اندازه گیری‌های خاص نسبت به سنجش وضعیت فعلی واحد و تجهیزات جانبی آن اقدام نماید [۱۱].

#### ۲-۱-۵. ارتقاء سیستم پایش

هدف از مانیتورینگ عملکرد نیروگاه و تجهیزات جانبی وابسته به آن، ایجاد امکان آگاهی از بروز انحرافات احتمالی از وضعیت مطلوب عملکرد در حین بهره‌برداری می‌باشد. آگاهی از وضعیت عملکرد واحد با کسب اطلاعات مربوط به پارامترهای بهره‌برداری حاصل می‌گردد. این اطلاعات می‌بایست به طور منظم تحت شرایط پایدار از نظر بار، توسط بهره‌بردار یا یک سیستم خودکار جمع آوری و تحلیل شود.

تشخیص تغییرات احتمالی در وضعیت تمیزی سطوح تبادل حرارت، گرفتگی‌ها و نشتی‌ها، همگی بر اساس داده‌های اندازه گیری شده در قسمت‌های مختلف واحد امکان پذیر می‌باشد.

با ارتقاء سیستم پایش و استفاده از نرم‌افزارهای بهینه‌سازی عملکرد نیروگاه‌ها، که پایه طراحی آنها نظریه‌های آماری، مدل سازی ریاضی و روابط حاکم بر عملکرد هر یک از قسمت‌ها و تجهیزات مختلف نیروگاه می‌باشد، کنترل و مانیتورینگ فرآیندهای واحد در محدوده کاری خود بهینه می‌شوند.

توجه به اطلاعات ثبت شده توسط سیستم پایش<sup>۱</sup> در بازرسی عبوری برای اطلاع یافتن از کارایی سیستم و شناسایی هرگونه تغییر ناگهانی در عملکرد سیستم، کالیبراسیون و در صورت نیاز تعمیر و یا حتی تعویض المانهای اندازه گیری در نیروگاه بسیار اهمیت دارد. در واقع ثبت صحیح اطلاعات پایش با وجود اینکه مستقیماً تأثیری بر میزان تولید انرژی در نیروگاه ندارد، ولیکن از طریق ایجاد امکان شناسایی هرگونه تغییر در میزان مصرف انرژی، مقدمات بهبود کارایی و کاهش مصرف داخلی را فراهم می‌کند [۱۱].

### ۱-۳. روشهای کاهش دمای هوای ورودی به کمپرسور در نیروگاههای گازی

یکی از روشهای بهبود عملکرد توربین گازی کاهش دمای هوای ورودی است که باعث افزایش دبی جرمی هوای کاهش توان مصرفی کمپرسور، افزایش خروجی توربین و افزایش راندمان نیروگاه گازی می‌گردد. از آنجا که کمپرسورهای توربین گاز، در دور ثابت و ثابت بودن وضعیت پره‌های ورودی، دبی حجمی ثابتی از هوا را متراکم می‌کنند، لذا دبی جرمی هوای ورودی به توربین گاز با چگالی هوای ورودی به کمپرسور نسبت مستقیم دارد و همچنین چگالی هوای ورودی با دما نسبت عکس دارد. بنابراین کاهش دمای هوای افزایش چگالی و درنتیجه افزایش دبی جرمی و توان خروجی توربین را به همراه دارد. [۱۲]

از روشهای مختلف کاهش دمای هوای ورودی به کمپرسور نیروگاه گازی می‌توان به روشهای سرمایش غیر مستقیم با آب سرد، چیلهای جذبی بخار، تانک ذخیره یخ، سرمایش تبخیری و سیستم مه فشار بالا<sup>۱</sup> اشاره کرد. [۱۱].

از محاسن روش سرمایش غیرمستقیم، عدم محدودیت کاهش دما تا حدود ۱۵ درجه سانتیگراد است. در حالیکه مهمترین عیب آن مصرف نسبتاً بالای انرژی الکتریکی می‌باشد که معمولاً باعث عدم توجیه پذیری اقتصادی روش می‌گردد.

عملکرد سیستمهای سرمایش تبخیری نیز مبتنی بر کاهش دمای هوای واسطه تبخیر آب در سیستم است. رطوبت هوا عامل اصلی محدود کننده در این سیستم است و گرچه این روش در مناطق دارای آب و هوای خشک گزینه مناسبی به شمار می‌آید، میزان تأثیر گذاری رطوبت بر خوردگی تجهیزات نیز باید مورد توجه قرار گیرد.

یکی از متدائل ترین و باصره ترین روش خنک کردن هوای ورودی توربین‌های گازی جهت افزایش قدرت خروجی آن‌ها استفاده از سیستم فاگ می‌باشد. این روش مبتنی بر روش سرمایش تبخیری برای سرمایش هوای ورودی به کمپرسور می‌باشد، با این تفاوت که آب قبل از پاشش به هوا به بیلیونها قطره فوق العاده کوچک اتمیزه می‌گردد. این قطرات به علت ریز بودن، سریعاً گرمای نهان تبخیر خود را از هوا اخذ کرده و تبخیر می‌شوند و از طرف دیگر هوای عبوری که گرما از دست داده است، خنک می‌گردد [۱۲، ۱۳، ۱۴]. استفاده از سیستم فاگ ضمن اینکه کارایی سیکل را بهبود می‌بخشد، تولید NOx را نیز کاهش می‌دهد. در این روش آب تحت فشار به کمک نازلهای ویژه درون هوای ورودی به کمپرسور اسپری می‌شود. از عوامل مهم در این سیستم می‌توان به دبی آب اسپری شده، اندازه قطرات و همچنین نحوه قرار گرفتن نازلها اشاره نمود. در این روش با تبخیر شدن آب اسپری شده در هوای دمای هوای کاهش می‌یابد. نکته قابل توجه در این روش محدودیت در کاهش دمای هوای ورودی به کمپرسور به واسطه رطوبت محیط می‌باشد. در مکانهایی که هوا مرطوب است این روش دارای محدودیت‌هایی خواهد بود. با توجه به سرعت بالای هوا در ورودی به کمپرسور و مکش ایجاد شده، نازلها باید طوری تعییه شوند تا قطرات آب قبل از ورود به کمپرسور کاملاً تبخیر شود. پس نازلها باید در فاصله مناسب از ورودی هوا به

کمپرسور قرار گیرند. میزان آب اسپری شده درون هوا عامل تعیین کننده در کاهش دمای هوای ورودی به کمپرسور است [۱۱].

#### ۴-۱-۵. بررسی کاهش دمای هوای ورودی به کمپرسور با استفاده از سیستم مه فشار قوی

با توجه به اینکه در حال حاضر در یکی از واحدهای سیکل ترکیبی نیروگاه مورد نظر از سیستم فاگ استفاده می‌شود در این قسمت تأثیر عملکرد سیستم فاگ براساس شرایط عملکرد واقعی سیکل بررسی شده است.

#### ۴-۱-۶. برآورد فنی استفاده از سیستم فاگ در سیکل ترکیبی نیروگاه مورد نظر

به منظور شبیه‌سازی سیستم فاگ موجود در نیروگاه مورد نظر، اطلاعات ثبت شده از سیستم پایش نیروگاه برای توربین گازی مورد نظر بررسی شد. سیستم فاگ در یک روز به مدت ۳ ساعت روشن بوده است. میانگین دمای هوای زمان استفاده از سیستم فاگ  $31/5$  درجه سانتیگراد، رطوبت نسبی  $11/14\%$  و دمای ورودی به کمپرسور  $13/37$  درجه سانتیگراد بوده است. میزان آب دمین مصرفی متوسط سیستم فاگ در این زمان حدود ۲۳ متر مکعب (حدود  $2/13$  کیلوگرم بر ثانیه برای هر واحد گازی) گزارش شده است. با توجه به موارد ذکر شده و با استفاده از سیکل شبیه‌سازی شده در شرایط طراحی در نرمافزار GT MASTER و با رطوبت نسبی محیط  $12\%$ ، تأثیر استفاده از سیستم فاگ بر عملکرد سیکل بررسی شده است. لازم به ذکر است که دمای هوای ورودی به کمپرسور در شرایط استفاده از سیستم فاگ، علاوه بر دبی آب به دبی هوای ورودی به کمپرسور نیز وابسته می‌باشد. و از آنجا که دبی هوای ورودی به کمپرسور در حالت طراحی با دبی هوای در زمان ثبت اطلاعات مربوط به سیستم فاگ (ذکر شده در جدول ۴-۱) یکسان نمی‌باشد، لذا دمای ورودی به کمپرسور نیز در حالت شبیه‌سازی استفاده از سیستم فاگ با دمای ورودی به کمپرسور نمایش داده شده در جدول مذکور یکسان نخواهد بود. با توجه به مطالب ذکر شده برای شبیه‌سازی سیستم فاگ و بررسی تأثیر آن بر عملکرد سیکل ترکیبی، از اطلاعات مربوط به شرایط طراحی استفاده شده است و تأثیر استفاده از سیستم فاگ در شرایط طراحی بررسی شده است.

جدول ۴-۱. اطلاعات مربوط به سیستم فاگ نیروگاه سیکل ترکیبی مورد نظر

مرحله	دمای ورودی به	دمای	رطوبت
1	14.65	33	10
2	13.77	32	11
3	13.41	32	11
4	13.3	32	11
5	13.15	31	11
6	12.53	30	12
7	12.75	31	12
میانگین	<b>13.37</b>	<b>31.57</b>	<b>11.14</b>

در شکل ۱-۵ و شکل ۲-۵ سیکل شبیه‌سازی شده با استفاده از سیستم فاگ نمایش داده شده است. با توجه به اینکه برای مدل کردن سیکل با استفاده از سیستم فاگ رطوبت نسبی محیط ۱۲٪ در نظر گرفته شده است، لذا در حالت بدون فاگ نیز با رطوبت نسبی ۱۲٪ سیکل مدل شده و نتایج حاصل با یکدیگر مقایسه گردیده است. در جدول ۲-۵ نتایج حاصل از شبیه‌سازی سیکل ترکیبی مورد نظر با استفاده از سیستم فاگ با حالتی که سیستم فاگ فعال نیست مقایسه شده است. چنانچه ملاحظه می‌شود با استفاده از سیستم فاگ رطوبت نسبی در هوای ورودی به کمپرسور از ۱۲٪ به ۶۵٪ افزایش و دمای ورودی به کمپرسور از ۳۱ به ۴۶ درجه سانتیگراد کاهش می‌یابد و لذا با توجه به کاهش دمای هوای ورودی به کمپرسور، توان تولیدی واحد گازی و راندمان افزایش و نرخ حرارتی<sup>۱</sup> آن کاهش می‌یابد.

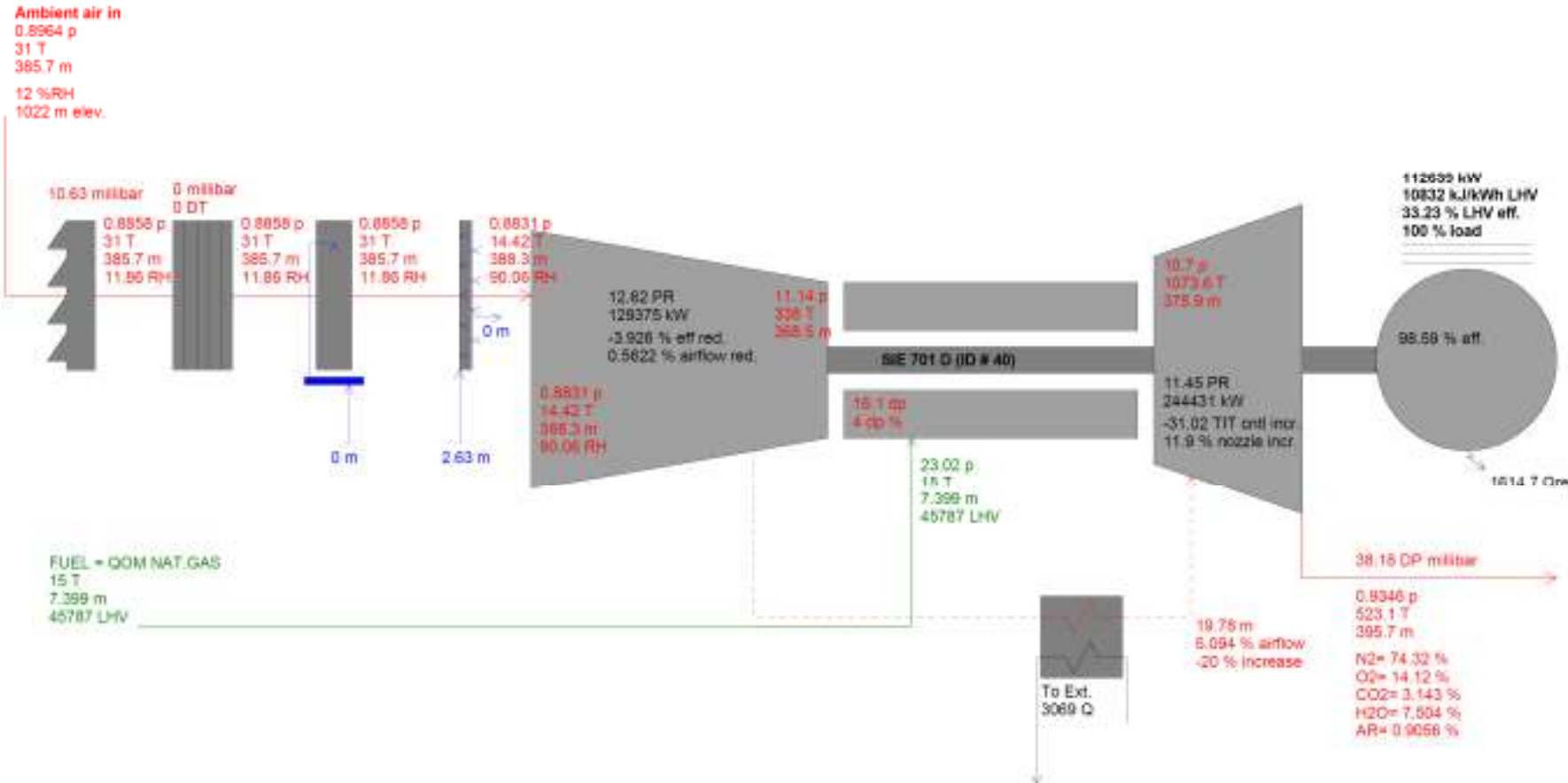
تأثیر سیستم فاگ بر عملکرد توربین گازی بسیار مثبت و قابل توجه می‌باشد. با استفاده از سیستم فاگ توان تولیدی کل سیکل نیز افزایش می‌یابد ولی راندمان سیکل ترکیبی افزایش چندانی نخواهد داشت. چنانچه پیش از این اشاره شد تزریق آب درون هوای ورودی به کمپرسور را می‌توان تا رسیدن هوای رطوبت نسبی ۱۰۰٪ ادامه داد، که این موضوع سبب کاهش بیشتر دمای هوای ورودی خواهد شد. از طرف دیگر با هماهنگی بعمل آمده با نیروگاه، در حال حاضر دبی آب برای رسیدن به رطوبت نسبی ۹۰٪ تنظیم می‌شود. لذا تزریق آب درون هوای را تا رسیدن به رطوبت نسبی حدود ۹۰٪ در هوای ورودی به کمپرسور ادامه می‌دهیم که در این حالت دما حدود ۴۲ درجه سانتیگراد و میزان آب مصرفی ۶۳ کیلوگرم بر ثانیه خواهد بود.

بر اساس نتایج به دست آمده، با نصب سیستم فاگ راندمان سیکل افزایش یافته لذا کاهش مصرف انرژی وجود دارد و استفاده از سیستم فاگ از انرژی توجیه پذیر می‌باشد ولی در استفاده از سیستم فاگ میزان آب مصرفی در این سیستم بسیار حائز اهمیت می‌باشد. به منظور بررسی سیکل از نظر اقتصادی باید هزینه تولید آب برای استفاده در سیستم فاگ و همچنین هزینه سرمایه گذاری این سیستم مورد بررسی قرار گیرد و در نهایت مدت زمان بازگشت سرمایه این سیستم نیز محاسبه شود.

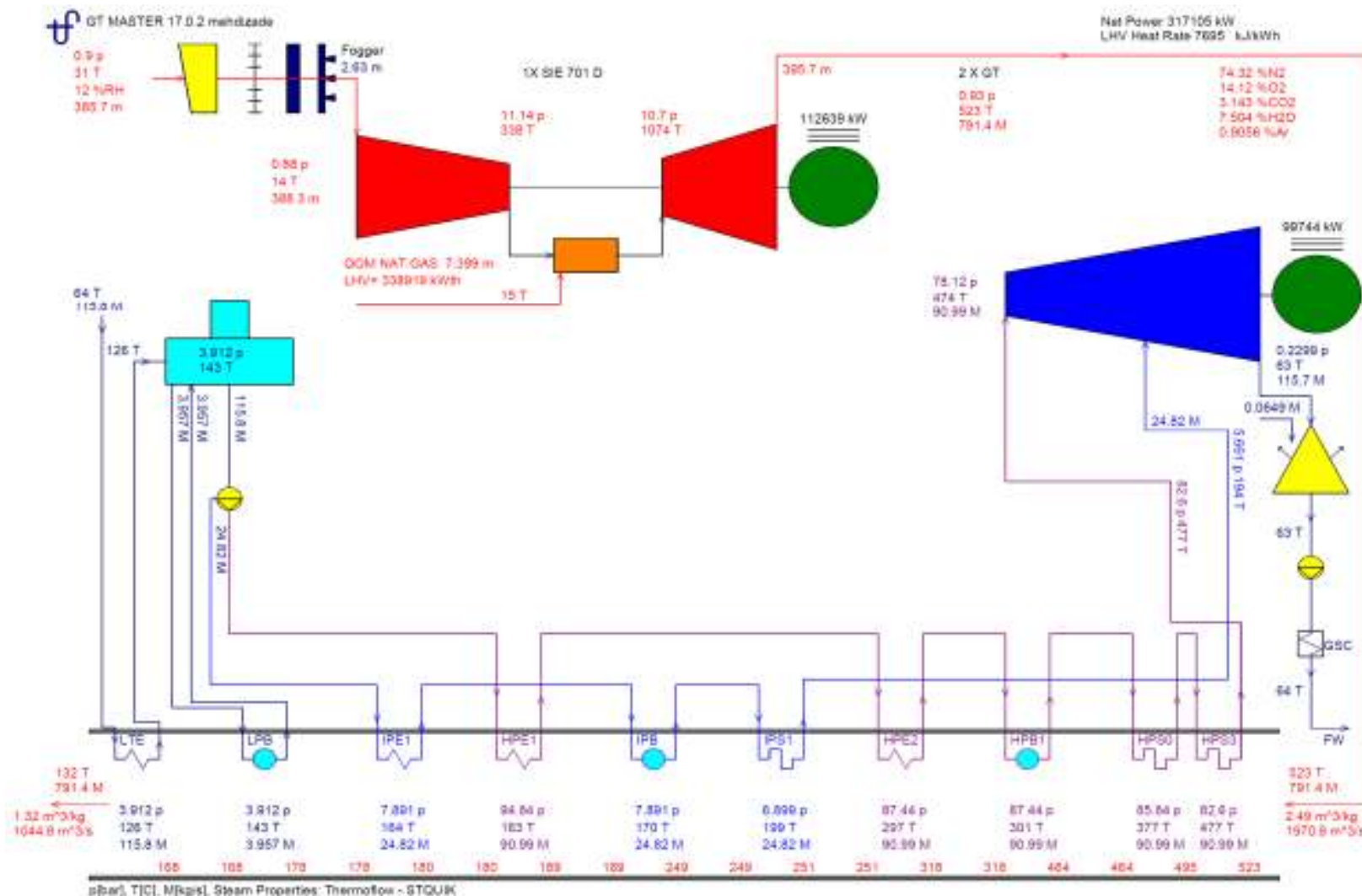
#### ۱-۴-۲. برآورد اقتصادی استفاده از سیستم فاگ در سیکل ترکیبی نیروگاه مورد نظر

چنانچه در قسمت قبل توضیح داده شده با نصب سیستم فاگ راندمان سیکل افزایش یافته لذا کاهش مصرف انرژی وجود دارد و استفاده از سیستم فاگ از انرژی توجیه پذیر می‌باشد. در این قسمت استفاده از سیستم فاگ از نظر اقتصادی بررسی می‌گردد. میزان آب مصرفی برای هر واحد گازی تا رسیدن به رطوبت ۹۰٪، ۶۳ کیلوگرم بر ثانیه می‌باشد که برای هر واحد سیکل ترکیبی ۵/۲۶ کیلوگرم بر ثانیه آب مصرف می‌شود. در محاسبات اقتصادی انجام گرفته ساعت کارکرد سیستم فاگ در نیروگاه براساس اطلاعات دریافتی از نیروگاه، روزی ۴ ساعت و در ۴ ماه از سال درنظر گرفته شده است[۱۵].

GT generator power = 112639 kW  
 GT Heat Rate @ gen term = 10832 kJ/kWh  
 GT efficiency @ gen term = 30.04% HHV = 33.23% LHV  
 GT @ 100 % rating, inferred TIT control model, CC limit



شکل ۵-۱. تأثیر استفاده از فاگ بر عملکرد واحد گازی نیروگاه مورد نظر



شکل ۵-۲. تأثیر استفاده از سیستم فاگ بر عملکرد سیکل ترکیبی نیروگاه مورد نظر

جدول ۵-۲. مقایسه سیکل ترکیبی نیروگاه مورد نظر با و بدون سیستم فاگ

	بدون فاگ	با فاگ R.H.=65.62%	با فاگ R.H.=90.06%
دمايٰ محبيط (°C)	31	31	31
، طوبت نسبي،	12%	12%	12%
، طوبت نسبي، هواي ورودي به کميروسو،	<b>12%</b>	<b>65.62%</b>	<b>90.06%</b>
دمايٰ هواي ورودي به کميروسو (°C)	31	17.45	14.42
(Kw) نوان، ناخالص، سيکل، ترکيبي،	289457	311773	317105
(Kw) (Per GT) نوان، ناخالص، توربين، گازى،	99701	110133	112639
درصد افزایش توان تولیدي سیکل٪	-	<b>۷/۷</b>	<b>۹/۵</b>
(Kj/Kwh) نرخ حرارت، سيکل، ترکيبي، (LHV)	7520	7510	7508
(LHV) (اندمان، سيکل، ترکيبي،	47.87	47.94	47.95
(Kj/Kwh) نرخ حرارت، توربين، گازى (LHV)	11210	10899	10832
(LHV) (اندمان، توربين، گازى)	32.11%	33.03%	33.23%
(Kg/s) دب، سوخت	6.778	7.279	7.399
(Kg/s) (per GT) دب، آب	0	2.13	2.63

برای محاسبه میزان افزایش درآمد نیروگاه به واسطه استفاده از سیستم فاگ، بر اساس استعلام قیمت انجام گرفته از نیروگاه، قیمت گاز طبیعی ۲۹/۲۸ ریال برای هر متر مکعب و برق ۴۹۶۹۴ ریال برای هر مگاوات ساعت اعلام آمادگی در ساعت پیک بار در نظر گرفته شده است (قیمت‌ها مربوط به سال ۱۳۸۸ می‌باشد).

مدت زمان بازگشت سرمایه نصب سیستم فاگ، با استفاده از نرخ بدون یارانه برق (۷۷۰ ریال برای هر کیلووات ساعت) و گاز طبیعی مصرفی (۶۹۰ ریال برای هر متر مکعب مصرفی) نیز محاسبه شده است.

شدت مصرف واحد تصفیه آب در نیروگاه ۲/۶۶ کیلو وات ساعت بر تن می‌باشد و با توجه به میزان مصرف آب در سیستم فاگ می‌توان میزان برق مصرفی برای تولید آب مورد نیاز در این سیستم را محاسبه نمود.

$$\text{Water consumption in fogger} = 5.26 \text{Kg/Sec} = 18.94 \text{ton/hr}$$

$$\text{Energy consumption} = 2.66 \frac{\text{KWh}}{\text{ton}} \times 18.94 \frac{\text{ton}}{\text{hr}} = 50.36 \text{KW}$$

$$\text{Increased power production} \cong 317105 - 289457 = 27648 \text{KW}$$

$$\text{Increased fuel consumption} \cong 7.399 \times 2 - 6.778 \times 2 = 1.242 \text{Kg/Sec} = 1.663 \text{Nm}^3/\text{Sec}$$

$$\begin{aligned} \text{Saving with subsidy} &\cong 27648 \times 49.694 - 1.663 \times 3600 \times 29.28 = 1.199 \times 10^6 \text{ Rial/hour} \\ &= 1.199 \times 10^6 \frac{\text{Rial}}{\text{hour}} \times 4 \frac{\text{hour}}{\text{day}} \times 31 \frac{\text{day}}{\text{month}} \times 4 \frac{\text{month}}{\text{year}} = 594.7 \times 10^6 \frac{\text{Rial}}{\text{year}} \end{aligned}$$

$$\begin{aligned} \text{Saving without subsidy} &\cong 27648 \times 770 - 1.663 \times 3600 \times 690 = 17.99 \times 10^6 \text{ Rial/hour} \\ &= 17.99 \times 10^6 \frac{\text{Rial}}{\text{hour}} \times 4 \frac{\text{hour}}{\text{day}} \times 31 \frac{\text{day}}{\text{month}} \times 4 \frac{\text{month}}{\text{year}} = 8.51 \times 10^9 \frac{\text{Rial}}{\text{year}} \end{aligned}$$

چنانچه ملاحظه می‌شود میزان انرژی مصرفی برای تولید آب مورد نیاز در سیستم فاگ، در مقابل افزایش توان تولیدی به واسطه استفاده از سیستم فاگ بسیار ناچیز و قابل صرفنظر کردن است.

با توجه به تحقیقات بعمل آمده سرمایه‌گذاری لازم برای سیستم فاگ حدود ۱/۷ میلیون دلار<sup>۱</sup> می‌باشد. در ادامه مدت زمان بازگشت سرمایه استفاده از سیستم فاگ محاسبه شده است.

$$Payback with subsidy = 17 \times 10^9 / 594.7 \times 10^6 = 28.6 \text{ years}$$

$$Payback without subsidy = 17 \times 10^9 / 8.51 \times 10^9 = 2 \text{ years}$$

### ۳-۴-۱-۵. آنالیز اگزرژی استفاده از سیستم فاگ

در آنالیز اگزرژی برای یک نیروگاه سیکل ترکیبی که توسط سیهان<sup>۲</sup> و همکاران انجام گرفت به این نتیجه رسیدند که توربین گاز، بویلر بازیاب و محفظه احتراق بیشترین اتلافات اگزرژی را دارند[۱۶]. فیاسچی<sup>۳</sup> در مقاله ای آنالیز اگزرژی برای یک واحد سیکل ترکیبی را ارائه داد و نتیجه گرفت که بیشترین تلفات در محفظه احتراق به وقوع می‌پیوندد و آن به دلیل اختلاف دمای بالای بین شعله و سیال عامل است و به این نتیجه رسید که آنالیز اگزرژی یک مفهوم مفید برای مقایسه عملکردهای سیکل توربین گاز است[۱۷]. نتایج مقایسه تلفات اگزرژی در حالت فعال بودن فاگ و فعل نبودن فاگ برای سیکل ترکیبی و واحدهای گازی نیروگاه به ترتیب در جدول ۳-۵ و جدول ۴-۵ ارائه شده است.

جدول ۳-۵. مقایسه تلفات اگزرژی در حالت فعال بودن فاگ و فعل نبودن فاگ برای سیکل ترکیبی نیروگاه مورد نظر

PLANT EXERGY ANALYSIS			
Remark	Unit	with out fog	With fog
<b>Exergy In</b>	kW	508244	567131
Fuel exergy	kW	625192	684451
Ambient air exergy	kW	-7681	-8057
Condenser cooling air in	kW	-109266	-109264
<b>Exergy Out</b>	kW	197946	228107
Net electric output	kW	288403	317105
Condenser cooling air out	kW	-97675	-96982
Exergy of heat rejection Q1	kW	3772	3515
Stack gas exergy	kW	3445	4469
<b>Exergy Loss</b>	kW	310299 (61.05%)	339024 (59.78%)

۱. قیمت دلار ۱۰۰۰ ریال در نظر گرفته شده است.

2 . Cihan

3 .phiaschi

جدول ۴-۵. مقایسه تلفات اگزرزی در حالت فعال بودن فاگ و فعال نبودن فاگ برای واحدهای گازی نیروگاه مورد نظر

GAS TURBINE EXERGY ANALYSIS - SIE 701 D (each of 2 GT's)			
Remark	Unit	with out fog	With fog
<b>Exergy In</b>	<b>kW</b>	<b>308311</b>	<b>337707</b>
GT fuel exergy @ combustor	kW	312596	342226
Air exergy @ compressor inlet	kW	-4285	-4518
<b>Exergy Out</b>	<b>kW</b>	<b>185047</b>	<b>201328</b>
GT electric output	kW	99218	112639
GT exhaust exergy	kW	83943	86931
Exergy of heat rejection Q1	kW	1886.1	1757.4
<b>Exergy Loss</b>	<b>kW</b>	<b>123264 (39.98%)</b>	<b>136380 (40.38%)</b>
GT combustor exergy loss	kW	101668	112802
GT compressor and turbine exergy loss	kW	19343	21162
Mechanical/electrical/gear loss	kW	2253	2415.7
* Air starts at compressor inlet and fuel at combustor.			

همانگونه که از نتایج مشخص است بیشترین تلفات مربوط به محفظه احتراق می‌باشد و فعال بودن سیستم فاگ تلفات اگزرزی واحد گازی را افزایش داده و موجب کاهش تلفات اگزرزی سیکل ترکیبی می‌شود.

#### ۵-۱. بررسی کاهش دمای هوای ورودی به کمپرسور با استفاده از چیلر جذبی

چیلرهای جذبی که امکان کاهش دمای هوای ورودی به کمپرسور تا ۱۰ درجه سانتیگراد را فراهم می‌کند، به دلیل مصرف بخار فقط در صورتی مقرر شده است که هزینه بخار در مقایسه با هزینه برق تولیدی محدود باشد. از مقایسه دما و رطوبت هوا در ماههای خرداد، تیر، مرداد و شهریور که دمای هوا بالا است مشخص شد که سرد کردن هوای ورودی به کمپرسور به کمک چیلر جذبی می‌تواند باعث بهبود عملکرد سیکل بشود، نمایش داده شده است.

هدف اصلی استفاده از چیلر جذبی بهبود عملکرد سیکل و افزایش توان تولیدی نیروگاه در زمان پیک بار در ماههای گرم سال است. زمان پیک بار در تابستان در طول روز حدود ۴ ساعت در نظر گرفته شده است. مشخص شد که میانگین هوا در طول روز در چهار ماه گرم سال در سالهای ۸۵ تا ۸۷ حدود ۳۰ درجه می‌باشد. لازم بذکر است این میانگین در طول روز محاسبه شده است که دمای هوا در طول شبانه روز تغییرات بسیاری خواهد داشت. در ضمن زمان مذکور برای استفاده از چیلر جذبی (زمان پیک بار) معمولاً عصر می‌باشد و با توجه به اینکه در زمان انجام تست اندازه گیری دمای هوا حدود ۳۱ درجه سانتیگراد بوده است، برای بررسی تأثیر استفاده از چیلر جذبی بر عملکرد سیکل با کمک نرمافزار Thermo Flow، دمای هوا ۳۱ درجه سانتیگراد در نظر گرفته شده است.

رطوبت هوا نیز در طول روز تغییرات بسیاری دارد. میانگین رطوبت در طول روز در چهار ماه مذکور در سالهای ۸۵ تا ۸۷، حدود ۲۷ درصد می‌باشد ولی با توجه به اینکه زمان اوج مصرف معمولاً بعد از ظهر شروع می‌شود و تا شب ادامه دارد، در این زمان رطوبت نسبت به میانگین کمتر می‌باشد. لذا در بررسی تأثیر استفاده از

چیلر جذبی بر عملکرد سیکل، رطوبت نسبی ۲۰ درصد در نظر گرفته شده است.

چیلر جذبی مورد نظر برای استفاده در نیروگاه، چیلر جذبی تک مرحله‌ای (single stage) با مصرف بخار می‌باشد، که بخار مورد نیاز برای چیلر جذبی از مسیر بخار فشار متوسط (IP) بویلر باز یافت حرارت تأمین شود. تأمین بخار مورد نیاز برای استفاده در چیلر جذبی از مسیر IP، می‌تواند منجر به کاهش دبی بخار وارد شده به توربین بخار و کاهش توان تولیدی توربین بخار شود. این مسئله از عوامل مهمی است که در بررسی تأثیر چیلر بر عملکرد سیکل باید مد نظر قرار گیرد. از عوامل مهم دیگری که با نصب چیلر جذبی در مسیر ورودی هوا به کمپرسور توربین گازی می‌تواند بر عملکرد سیکل تأثیر گذار باشد، افت فشار ناشی از عبور هوا از کویل‌های خنک‌کن هوا می‌باشد. هر چقدر این افت فشار کمتر باشد تأثیر استفاده از چیلر جذبی بر عملکرد سیکل مثبت تر ارزیابی خواهد شد.

#### ۱-۵-۱. تعیین مشخصات و انتخاب چیلر جذبی

به منظور بررسی مزایا و معایب احتمالی استفاده از چیلر جذبی باید به بررسی تأثیر آن بر عملکرد سیکل با بررسی تغییرات راندمان و Heat Rate پرداخت. عامل مهم دیگر که در انتخاب چیلر جذبی اهمیت دارد قیمت چیلر جذبی و مدت زمان بازگشت سرمایه به واسطه درآمد ناشی از استفاده از چیلر جذبی می‌باشد. بدین منظور با فرآخوانی نرمافزار Thermo Flow Macro17 با استفاده از منوی Run در Multipple Run نرمافزار GT Master دمای ورودی به کمپرسور تغییر داده شده است و نتایج حاصل از شبیه‌سازی سیکل و برآورد فنی و اقتصادی استفاده از چیلر جذبی و همچنین میزان سرمایه گذاری و مدت زمان بازگشت سرمایه با توجه به قیمت‌های سوخت و برق با یارانه و بدون یارانه، در جدول ۵-۵ آمده است.

جدول ۵-۵. بررسی فنی و اقتصادی تأثیر استفاده از چیلر جذبی

دماهی هوازی کمپرسور	ظرفیت هر چیلر (Kw)	ظرفیت چیلر (USRT) <sup>۱</sup>	راندمان ناخالص	دبی سوخت (kg/s)	توان ناخالص (کیلووات)	سود با یارانه (در هر سال) (ریال)	سرمایه گذاری (میلیون ریال)	بازگشت سرمایه (با یارانه) (سال)	بازگشت سرمایه (بدون یارانه) (سال)
31	0	0.0	47.82	13.52	296233	-	-	-	-
28	564	176.3	47.79	13.75	300963	100,908,388	3,345	33.15	2.33
25	1140	356.3	47.76	13.97	305754	203,180,338	6,690	32.93	2.31
22	1728.4	540.1	47.74	14.20	310608	306,725,167	8,394	27.37	1.92
19	2329.6	728.0	47.71	14.44	315514	411,271,745	9,372	22.79	1.60
16	2944.1	920.1	47.66	14.67	320406	515,333,268	11,334	21.99	1.55
13	3569	1115.3	47.64	14.90	325253	618,705,560	13,500	21.82	1.53
10	4205	1314.1	47.53	15.13	329491	707,207,063	15,252	21.57	1.52

با کاهش دمای هوازی ورودی به کمپرسور به واسطه استفاده از چیلر جذبی، راندمان سیکل گازی افزایش

۱. تن تبرید

می‌باید ولی علیرغم اینکه میزان تولید سیکل افزایش می‌باید به دلیل اینکه قسمتی از بخار IP به جای تبدیل به برق، در چیلر جذبی مصرف می‌شود، راندمان سیکل ترکیبی به میزان کمی کاهش می‌باید و یا به عبارتی کاهش راندمان سیکل ترکیبی به واسطه استفاده از چیلر جذبی می‌تواند به این علت باشد که گرمای گرفته شده از سیکل توسط بخار مورد استفاده در چیلر جذبی، به سیکل برنمی گردد. با توجه به این نکته که سوخت مصرفی و برق تولیدی نسبت به یکدیگر قیمت یکسانی ندارند و برق تولیدی نسبت به سوخت مصرفی متناسب با آن، از قیمت بالاتری برخوردار است، به بررسی سود مالی ناشی از استفاده از چیلر جذبی پرداخته شده است. چنانچه ملاحظه می‌شود استفاده از چیلر جذبی علیرغم کاهش ناچیز راندمان نیروگاه، با توجه به افزایش توان تولیدی، از لحاظ مالی برای نیروگاه سود داشته است.

به منظور انتخاب مناسبترین چیلر جذبی، مدت زمان بازگشت سرمایه هر کدام از چیلرهای و میزان افزایش توان تولیدی مد نظر قرار گرفته است و هر کدام از چیلرهای که بازگشت سرمایه سریعتر و افزایش توان تولیدی بیشتری دارد، انتخاب شده است. بدین منظور با استفاده از توان<sup>۱</sup> محاسبه شده برای هر چیلر جذبی در نرمافزار Thermo Flow Macro17، مدل و تعداد چیلر جذبی مورد نیاز برای هر واحد و متعاقباً برج خنک‌کن متناسب با آن بر اساس کاتالوگهای شرکت‌های داخلی تولید کننده چیلر جذبی انتخاب و قیمت آن استعلام شده است. جهت شبیه‌سازی تأثیر چیلر جذبی، فرض شده که در هر واحد گازی دو عدد چیلر جذبی نصب شده باشد[۱۸]. قیمت تمام شده برای نصب چیلر جذبی در هر واحد شامل قیمت چیلر جذبی، برج خنک کن، کویل هوا، حمل و نقل و نصب چیلر جذبی می‌باشد. فرض شده است که چیلرهای فقط در چهار ماه از سال و به طور متوسط روزی ۴ ساعت کار کنند که این ۴ ساعت زمان پیک بار را نیز شامل می‌شود. لازم به ذکر است هر واحد سیکل ترکیبی شبیه‌سازی شده در نرمافزار Thermo Flow شامل دو واحد گازی و یک واحد بخار می‌باشد و با توجه به اینکه در هر واحد دو عدد چیلر جذبی در نظر گرفته شده است، لذا در مجموع در هر واحد چهار عدد چیلر جذبی موجود است.

در ستون آخر جدول ۵-۵ مدت زمان بازگشت سرمایه نصب چیلر جذبی با استفاده از نرخ بدون یارانه برق ۷۷۰ ریال برای هر کیلووات ساعت) و گاز طبیعی مصرفی (۶۹۰ ریال برای هر متر مکعب مصرفی) محاسبه شده است. چنانچه ملاحظه می‌شود در تمامی موارد زمان بازگشت سرمایه به میزان قابل توجهی کاهش یافته است. با توجه به محاسبات انجام شده در دو ستون آخر جدول ۵-۵، ملاحظه می‌شود که با کاهش هر چه بیشتر دمای هوای ورودی به کمپرسور و یا به عبارتی استفاده از چیلر جذبی با توان بیشتر، مدت زمان کاهش سرمایه

<sup>۱</sup> توان محاسبه شده در نرم افزار Thermo Flow Macro17 بر حسب کیلووات (ستون دوم جدول ۵-۵) می‌باشد. برای محاسبه تن تبرید

هر چیلر (ستون سوم جدول ۵-۵) از رابطه زیر استفاده و با توجه به آن چیلر انتخاب شده است.

$$\text{chiller cooling capacity(USRT)} = \frac{Q \left( \frac{BTU}{h} \right) * 1.1}{12000}$$

کاهش می‌یابد. پس بزرگترین چیلر جذبی محاسبه شده به عنوان بهترین چیلر جذبی برای نصب در نیروگاه سیکل ترکیبی مورد نظر انتخاب می‌شود. با توجه به نتایج حاصله و این نکته که با کاهش دمای هوای ورودی به کمپرسور با استفاده از چیلر جذبی، راندمان سیکل کاهش و توان تولیدی افزایش می‌یابد، استفاده از چیلر جذبی از نظر انرژیتیک فقط در زمان پیک بار که افزایش توان تولیدی بسیار حائز اهمیت است، می‌تواند قابل استفاده باشد. در جدول ۵-۶ اطلاعات فنی چیلرهای انتخاب شده آورده شده است.

جدول ۵-۶. مشخصات چیلر جذبی انتخابی با ظرفیت ۱۳۰۰ تن تبرید

Parameter		Unit	Quantity
Average Capacity		TR	1300
Chilled Water	Flow Rate	GPM	2755
	No. of Pass	Eva.	-
	Pressure Drop	Ft.W	40
	Nozzle Size	Inch	12
Cooling Water	Flow Rate	GPM	4592
	No. of Pass	Abs.	-
		Con.	-
	Pressure Drop	Ft.W	15
Steam	Nozzle Size	Inch	14
	Consumption	lb/h	21468
	No. of Pass	-	1
	Nozzle Size	Inch	10
Electrical Supply	Solution Pump	Kw	11
	Refrigerant Pump	Kw	3.7
	Vacuum Pump	Kw	0.6
	Total	Kw	15.3
Operating Weight		Kg	35874

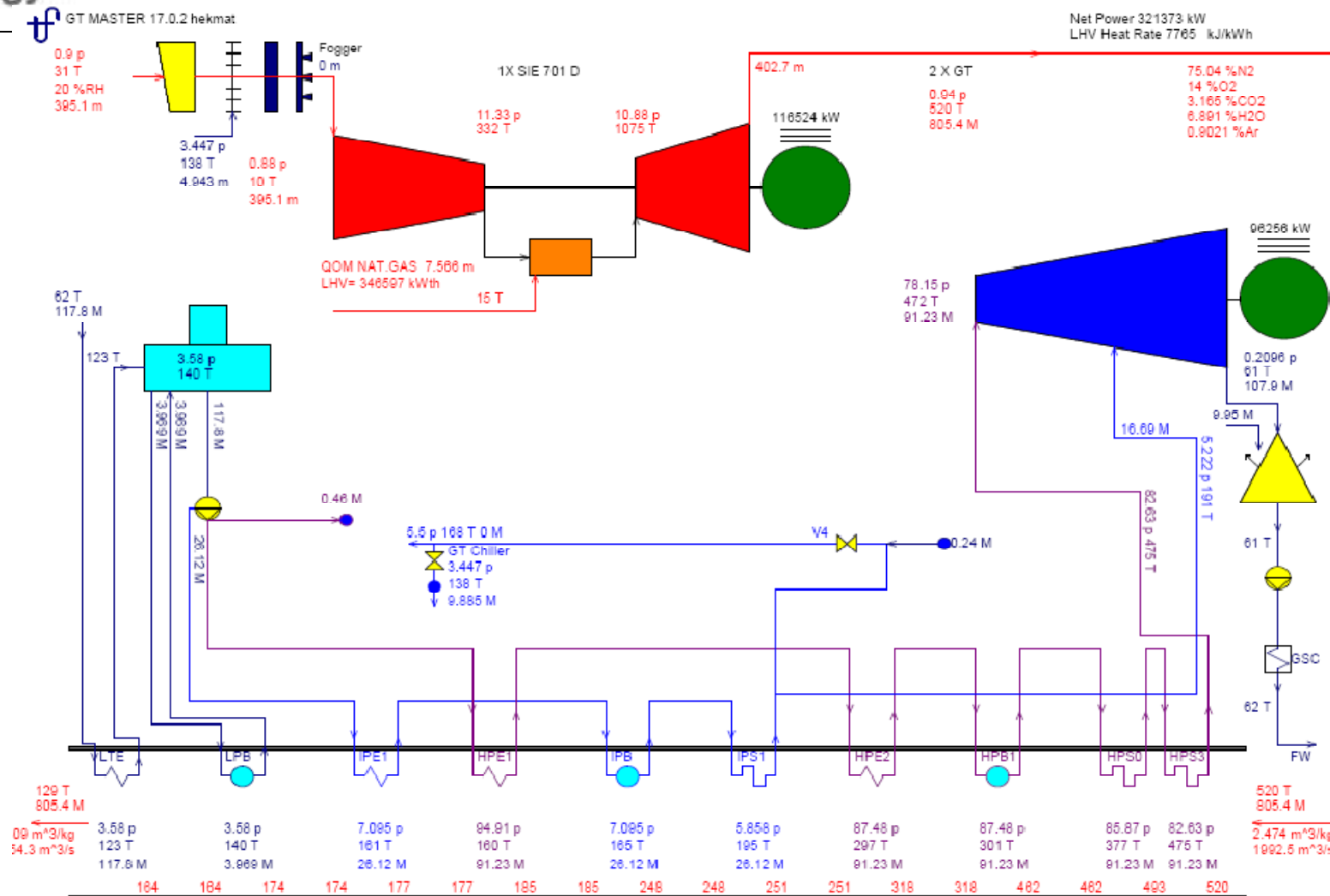
اطلاعات ارائه شده در شرایط زیر است:

1. Chilled Water Temperature 54 °F \_\_\_\_\_ 44 °F
2. Cooling Water Temperature 80 °F \_\_\_\_\_ 100 °F
3. Steam Pressure 9 psig

#### ۱-۵-۲. شبیه‌سازی نیروگاه سیکل ترکیبی مورد نظر هنگام نصب چیلر جذبی

نتایج شبیه‌سازی نیروگاه سیکل ترکیبی مورد نظر در شرایطی که نصب چیلر جذبی مورد توجه قرار گرفته

باشد در شکل ۳-۵، ملاحظه می‌شود.



شکل ۵-۳. شبیه‌سازی واحد سیکل ترکیبی مورد نظر هنگام نصب چیلر جذبی

نکته بسیار مهم که باید به آن توجه شود میزان اتلاف آب در برج خنک‌کن چیلر جذبی می‌باشد. چنانچه در جدول ۶-۵ آمده است میزان آب در گردش هر چیلر جذبی ۴۵۹۲ گالن در دقیقه می‌باشد. طبق استاندارد ASHRAE تقریباً ۰.۲٪ آب در گردش در برج خنک‌کن اتلاف می‌شود.

$$\text{Cooling Water (per chiller)} = 4592 \text{ GPM} = 1252.5 \text{ m}^3/\text{h}$$

$$\text{Waste Water} = 1252.5 \times 0.02 \times 4 = 100.2 \text{ m}^3/\text{h} = 27.83 \text{ kg/s}$$

مالحظه می‌شود که مقدار اتلاف آب در برج خنک‌کن چیلر جذبی بسیار زیاد می‌باشد و لذا این مسئله استفاده از چیلر جذبی را با مشکل روپرور می‌کند. چنانچه بتوان بجای استفاده از برج خنک‌کن مرطوب، از برج خنک‌کن خشک استفاده نمود که اتلاف آب در آن ناچیز است، استفاده از چیلر جذبی در زمان پیک بار راه حل مناسبی برای تولید بیشتر است.

#### ۶-۱-۵. کاهش دمای هوای ورودی به کمپرسور با تانک ذخیره یخ

ذخیره سازی سرما قدمتی بیش از چهل سال دارد، ولی اهمیت آن از سوی طراحان سیستم‌های خنک کننده در ایران به دلیل پایین بودن قیمت برق مورد توجه قرار نگرفته است. این روش بر پایهٔ تولید یخ به وسیلهٔ سیستم خنک کننده در مواقعی که بار شبکه حداقل بوده و استفاده از گرمای نهان ذوب آن در زمان اوج بار جهت افزایش توان تولیدی نیروگاه در زمان پیک بار مبتنی می‌باشد.

کار برد یخ به عنوان یک منبع ذخیرهٔ سرما از نظر اصول ترمودینامیکی روش کلاسیک شناخته شده ای می‌باشد و با توجه به ازدیاد بهای تولید انرژی الکتریکی و عدم مصرف یکسان آن در شبانه روز و داشتن اوج مصرف از این روش می‌توان استفاده نمود.

در این روش با استفاده از توان مازاد بر مصرف شبکه در شب یا بعد از زمان اوج مصرف و زمانی که مصرف انرژی الکتریکی حداقل می‌باشد یخ تولید می‌شود و در مخزن یا مخزن‌های مشابه ذخیره (۸۰ کیلو کالری به ازای هر کیلو گرم یخ ایجاد شده) و در روز بعد در زمان پیک بار برای خنک کردن هوای ورودی به کمپرسور جهت افزایش توان تولیدی نیروگاه وارد عمل شده و قسمتی یا تمام بار پیک را بسته به حجم مخزن انتخابی تأمین می‌نماید. از دیگر مزایای این جایه جایی که در اصطلاح به آن پیک سایی گویند این است که علاوه بر کاهش مشکلات بهره برداری نیروگاهها در ساعت‌های کم باری، راندمان نیروگاه را نیز در ساعت‌های کم باری به دلیل نزدیک شدن به بار نامی افزایش می‌دهد.

ایده‌ی روش ذخیره سازی سرما از نظر ترمودینامیکی کاملاً شناخته شده می‌باشد، ولی ازدیاد بهای انرژی و هزینه‌های سرمایه‌گذاری برای نیروگاهها در طی دو دههٔ گذشته، کاربرد آن را از نظر اقتصادی تسهیل کرده است [۲۰ و ۱۹].

### ۱-۶-۱. حجم مخزن ذخیره‌ی سرما

مبناً محاسبات حجم مخزن بر پایهٔ میزان برودت مورد نیاز در ساعت کاربرد تعیین می‌گردد [۱۹]. ظرفیت مخزن يخ که یک مبدل حرارتی نیز می‌باشد باید طوری محاسبه شود که با توجه به گرمای نهان ذوب يخ ( $80\text{kcal/kg} = 334\text{kJ/kg}$ ) بتواند هوای ورودی به کمپرسور را با دبی جرمی مشخص در مدت زمان پیک بار تا حدود ۱۰ درجه سانتیگراد کاهش دهد.

با توجه به موارد فوق الذکر، به ازای هر تن برودتی ( $12000\text{ بی تی یو در ساعت یا } \frac{37}{5}\text{ کیلوگرم يخ در ساعت با در نظر گرفتن جرم مخصوص يخ } (920\text{kg/m}^3)$  معادل  $40\text{ لیتر حجم برای مخزن درنظر گرفته می‌شود.}$

محاسبه برودت مورد نیاز:

برودت مورد نیاز جهت کاهش دمای هوای ورودی به کمپرسورهای واحدهای گازی مدول ۲ نیروگاه براساس محاسبات نرمافزار ترموفلو برابر  $16/82\text{ E+7BTU/hr}$  (۵.۷۴ مگاوات) می‌باشد.

میزان يخ مورد نیاز جهت ایجاد این میزان برودت با توجه به گرمای ذوب يخ برابر است با:

$$5.72 \times 10^7 \text{ BTU/hr} \times \frac{37.5}{12000} \frac{\text{Kg of ice}}{\text{BTU/hr}} = 178750 \frac{\text{Kg of ice}}{\text{hr}}$$

$$= 178750 \frac{\text{Kg of ice}}{\text{hr}} \times 4 \frac{\text{hr}}{\text{day}} = 715 \frac{\text{ton}}{\text{day}}$$

حجم مخزن مورد نیاز جهت تولید و نگهداری این میزان يخ برابر است با:

$$= 715 \frac{\text{ton}}{\text{day}} \div 0.92 \frac{\text{ton}}{\text{m}^3} = 780 \frac{\text{m}^3}{\text{day}}$$

### ۱-۶-۲. برآورد فنی-اقتصادی استفاده از روش تانک ذخیره‌ی يخ در نیروگاه سیکل ترکیبی مورد نظر

محاسبه میزان صرفه جویی ناشی از افت دما در زمان پیک بار براساس نتایج حاصل از شبیه‌سازی سیکل در نرمافزار ترموفلو:

$$\text{Increased power production} \cong 334160 - 296233 = 37927\text{KW}$$

لازم به ذکر است، میزان توان مصرفی جهت تولید يخ مورد نیاز با در نظر گرفتن راندمان  $80\times$  درصد برای سردخانه مورد نظر، برابر  $20\text{ مگاوات می‌باشد.}$

میزان صرفه جویی ناشی از افزایش توان تولیدی نیروگاه با در نظر گرفتن انرژی مصرفی در ساعت غیر پیک

جهت تولید يخ برابر است با:

$$Increased power \cong 37927 - 20000 = 17927 KW$$

$$Increased fuel consumption \cong 7.589 \times 2 - 6.76 \times 2 = 1.66 Kg/Sec = 2.27 Nm^3 / Sec$$

$$Saving with subsidy \cong 17927 \times 49.694 - 2.27 \times 3600 \times 29.28 = 0.65 \times 10^6 Rial/hour$$

$$= 0.65 \times 10^6 \frac{Rial}{hour} \times 4 \frac{hour}{day} \times 31 \frac{day}{month} \times 4 \frac{month}{year} = 323 \times 10^6 \frac{Rial}{year}$$

$$Saving without subsidy \cong 17927 \times 770 - 2.27 \times 3600 \times 690 = 8.15 \times 10^6 Rial/hour$$

$$= 8.15 \times 10^6 \frac{Rial}{hour} \times 4 \frac{hour}{day} \times 31 \frac{day}{month} \times 4 \frac{month}{year} = 4.04 \times 10^9 \frac{Rial}{year}$$

با توجه به تحقیقات بعضی از آمده سرمایه گذاری لازم برای این سیستم حدود ۵۰۰ \$/ton of capacity می‌باشد. در ادامه مدت زمان بازگشت سرمایه استفاده از سیستم تانک ذخیره يخ محاسبه شده است [۱۵ و ۲۰].

*Investment cost =*

$$500 \frac{\$}{ton of capacity} \times 10000 \frac{Rial}{\$} \times 5.74 \times 10^7 \frac{BTU/hr}{12000 BTU/hr} \times \frac{1.1 ton of capacity}{1.1 ton of capacity} = 26.3 \times 10^9 Rial$$

$$Payback with subsidy = 26.3 \times 10^9 / 0.323 \times 10^9 = 81 years$$

$$Payback without subsidy = 26.3 \times 10^9 / 8.15 \times 10^9 = 3.23 years$$

## ۵-۲. ارائهٔ راهکارهای کاهش مصرف انرژی الکتریکی در نیروگاه سیکل ترکیبی مورد نظر

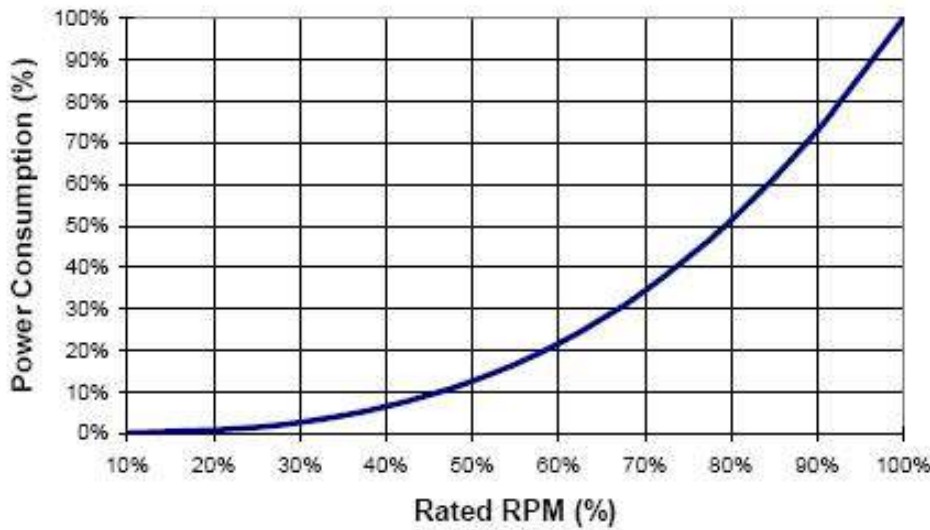
در این بخش از گزارش راهکارهای کاهش مصرف انرژی الکتریکی بررسی می‌شود و میزان صرفه جویی انرژی و هزینه در هر یک از راهکارها محاسبه می‌گردد.

### ۵-۲-۱. عملکرد تجهیزات و نقش کننده‌های دور

صرف کننده‌های عمدۀ انرژی الکتریکی در نیروگاه‌ها، پمپ‌ها و فن‌ها می‌باشند. از آنجائیکه اکثر تجهیزات مذکور در شرایط طراحی خود کار نمی‌کنند، بنابراین اتلاف انرژی در این تجهیزات زیاد می‌باشد. با توجه به اینکه پمپ‌ها و فن‌ها در شرایط برداری مختلف و با دبی متفاوت کار می‌کنند، مصرف توان مختلفی دارند. یکی از راههای کاهش مصرف انرژی الکتریکی در این تجهیزات، استفاده از کنترل کننده‌های سرعت مانند درایو (VSD) و کوپلینگ هیدرولیک می‌باشد. رابطه توان مصرفی پمپ‌ها و فن‌ها با تغییر سرعت آنها

به صورت شکل ۴-۵ است.

### Motor Power Consumption Vs. Speed Fans and Pumps



شکل ۴-۵. رابطهٔ توان مصرفی پمپ‌ها و فنها با تغییر سرعت آنها

همانطور که شکل فوق نشان می‌دهد، با تغییر کمی در سرعت پمپ‌ها و فنها تغییرات زیادی در توان مصرفی آنها اتفاق می‌افتد. رابطهٔ بین سرعت و توان تجهیزات مذکور به صورت رابطه (۱-۶) می‌باشد.

$$Power_{final} = Power_{initial} \left( \frac{RPM_{final}}{RPM_{initial}} \right)^3 \quad (1-6)$$

این رابطهٔ نشان می‌دهد که توان مصرفی با توان سوم تغییرات سرعت، تغییر می‌کند. بنابراین کاهش ناچیزی در سرعت، کاهش زیادی در توان مصرفی را به همراه خواهد داشت. این موضوع اهمیت استفاده از کنترل کننده‌های دور را نشان می‌دهد.

حال به بررسی راهکارهای قابل اجرا جهت کاهش مصرف انرژی الکتریکی پرداخته می‌شود. تذکر: در تمام راهکارها، محاسبه بازگشت سرمایه با دو قیمت برای برق انجام گرفته است. یکی با توجه به قیمت برق یارانه‌ای که بر اساس متوسط هزینه تعریفه صنعتی و به ازای هر کیلووات ساعت ۱۷۰ ریال محاسبه شده است. دیگری با توجه به قیمت برق بدون یارانه‌ای به ازای هر کیلووات ساعت ۷۷۰ ریال در نظر گرفته شده است.

## ۲-۲-۵. نصب درایو کنترل سرعت (VSD) بر روی تجهیزات

اندازه‌گیریها نشان می‌دهد که استفاده از درایو برای پمپ‌های آب خنک‌کن (CCCW) و فنهای ACC می‌تواند صرفه جویی انرژی الکتریکی را به همراه داشته باشد. لازم به ذکر است که استفاده از درایو برای موتورهای ولتاژ بالا توصیه نمی‌شود. زیرا هم از نظر قیمتی بسیار هزینه برخواهد بود و هم از نظر قابلیت اطمینان، نمی‌توان در نیروگاه استفاده نمود.

در ادامه، اثر نصب درایو بر روی پمپ‌های آب خنک‌کن (CCCW) و فنهای ACC بررسی شده است.

## ۲-۲-۶. بررسی نصب درایو بر روی پمپ‌های آب خنک‌کن (CCCW)

در جدول ۷-۵ خلاصه نتایج اندازه گیریهای همزمان الکتریکی و مکانیکی بر روی پمپ‌های آب خنک‌کن (CCCW) آورده شده است.

جدول ۷-۵. نتایج اندازه گیریهای الکتریکی و مکانیکی بر روی پمپ‌های آب خنک‌کن (CCCW)

فشار متوسط (m)	دبی متوسط (m³/h)	متوسط توان (KW)	نقاط اندازه گیری	محل اندازه گیری
44 *	534.9	97.2	پمپ آب خنک‌کن (CCCW)	واحد ۱ سیکل ترکیبی
45 *	536.7	97.5		واحد ۲ سیکل ترکیبی

\* این اعداد از منحنی مشخصه بدست آمده‌اند.

همچنین اطلاعات طراحی پمپ‌های مذکور در جدول ۸-۵ آمده است.

جدول ۸-۵. اطلاعات طراحی پمپ‌های آب خنک‌کن (CCCW)

راندمان پمپ (%)	هد نامی (m)	دبی نامی (m³/h)	توان نامی موتور (KW)	نام تجهیز
80	42	600	102	پمپ آب خنک‌کن (CCCW)

جهت بررسی اثر نصب درایو بر روی پمپ‌ها می‌توان از نرمافزار PumpSave استفاده کرد. نرمافزار مذکور محصول شرکت ABB می‌باشد. این نرمافزار قادر است با دریافت اطلاعات طراحی الکتروپمپ و شرایط بهره برداری، میزان صرفه جویی انرژی الکتریکی را در صورت نصب درایو محاسبه کند.

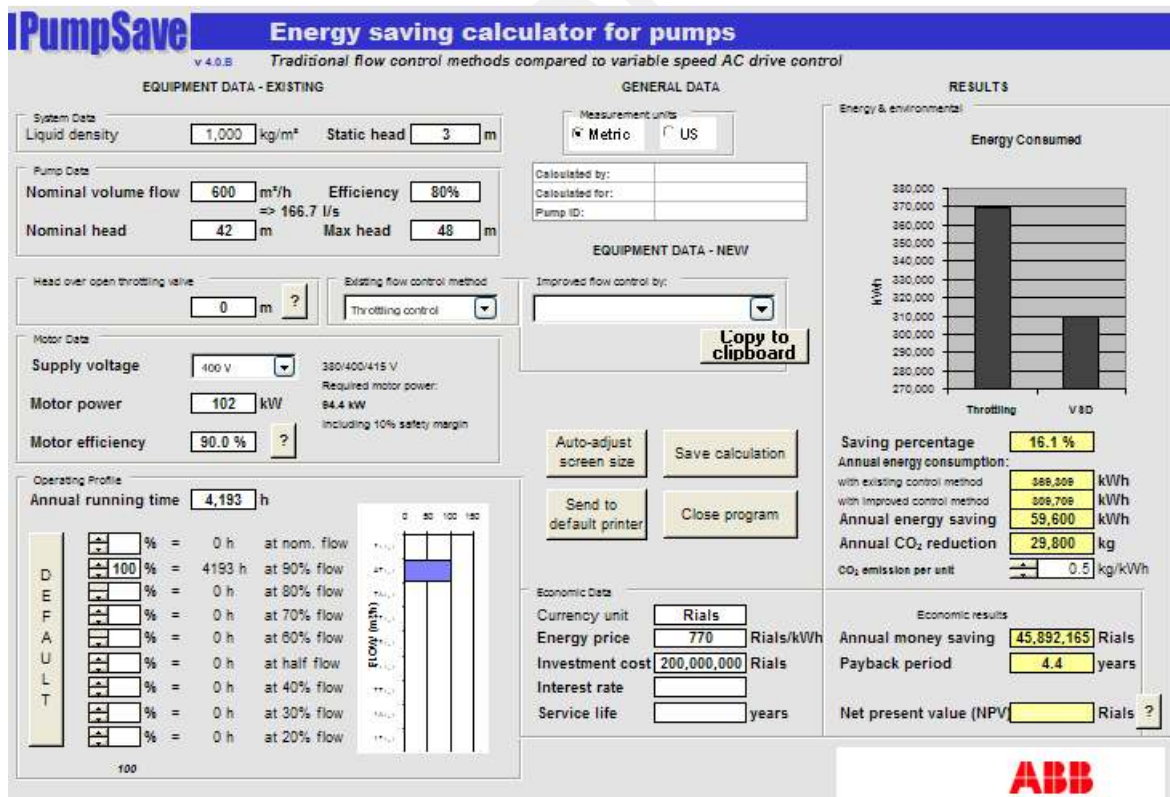
جدول ۹-۵ میزان صرفه جویی انرژی محاسبه شده توسط نرمافزار مورد نظر را برای پمپ‌های آب خنک‌کن (CCCW) نشان می‌دهد. همچنین مدت زمان بازگشت سرمایه نیز آورده شده است. لازم به ذکر است تصاویر

خروجی نرمافزار در شکل ۵-۵ و شکل ۶-۵ آمده است.

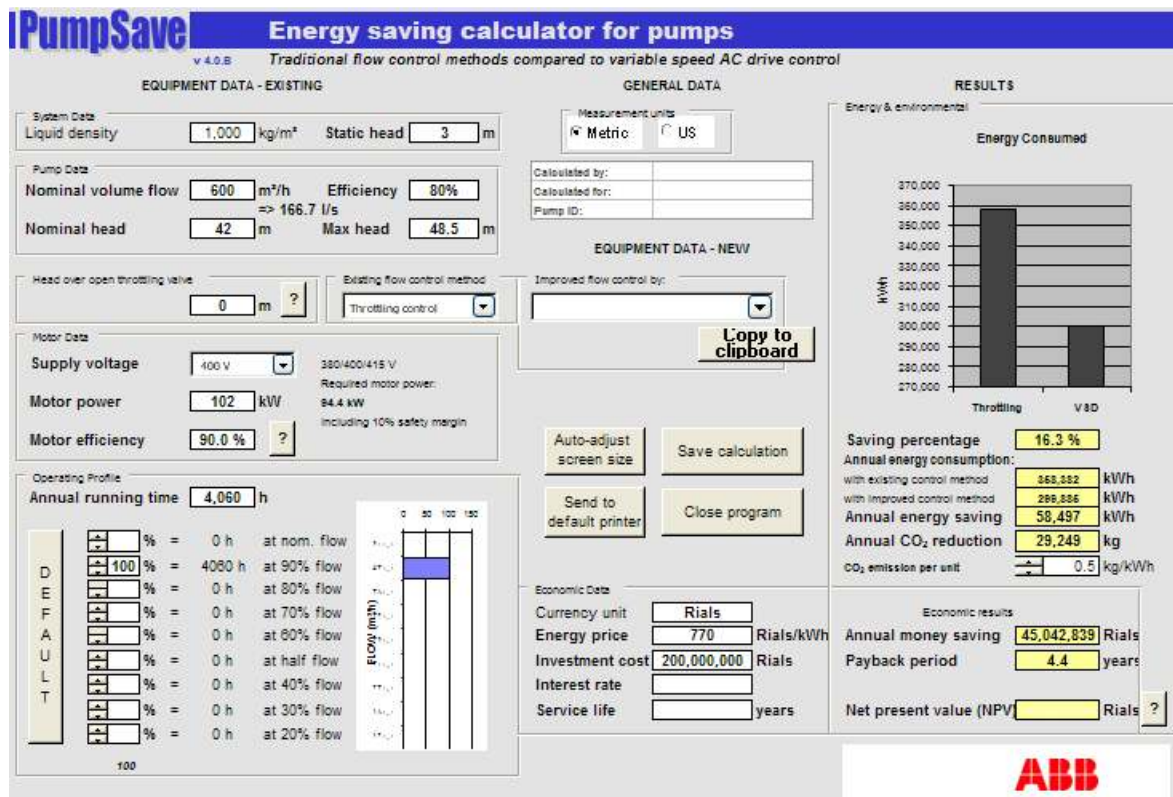
جدول ۵-۹. محاسبه میزان صرفه جویی انرژی بوسیله نصب درایو بر روی پمپ‌های آب خنک کن (CCCW)

زمان بازگشت سرمایه (سال)		هزینه سرمایه گذاری (میلیون ریال)	هزینه صرفه جویی انرژی الکتریکی سالیانه (ریال)		صرفه جویی انرژی سالیانه (KWH)	ساعت کارکرد در سال ۸۶ (Hour)	محل	نام تجهیز
قیمت برق بدون یارانه	قیمت یارانه ای برق		قیمت برق بدون یارانه	قیمت یارانه ای برق				
4.4	19.5	200	45,892,000	10,270,292	59,600	4,193	واحد ۱ سیکل ترکیبی	پمپ آب خنک کن (CCCW)
4.4	20.1		45,042,690	9,944,523	58,497	4,060	واحد ۲ سیکل ترکیبی	

همانگونه که جدول ۵-۹ نشان می‌دهد، زمان بازگشت سرمایه با نرخ یارانه ای برق بسیار طولانی و غیر قابل توجیه است. ولی اگر قیمت برق بدون یارانه در نظر گرفته شود، زمان بازگشت سرمایه در حد قابل قبول می‌باشد.



شکل ۵-۵. نتیجه نرمافزار PumpSave برای پمپ آب خنک کن (CCCW) واحد ۱ سیکل ترکیبی



شکل ۵-۶. نتیجه نرمافزار PumpSave برای پمپ آب خنک کن (CCCW) واحد ۲ سیکل ترکیبی

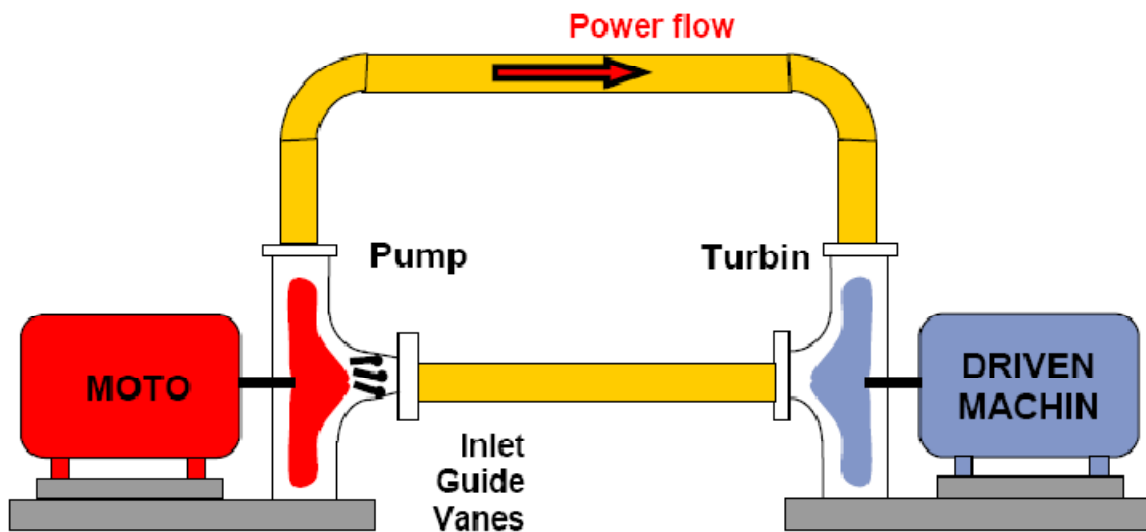
## ۲-۲-۲-۵. بررسی نصب درایو بر روی فنهای ACC

با توجه به اینکه فنهای ACC در دو دور ثابت کار می‌کنند و با توجه به اینکه در دماهای مختلف محیطی، دبی‌های متفاوتی نیاز است، لذا نصب درایو بر روی فنهای مذکور می‌تواند مصرف انرژی الکتریکی را کاهش دهد. ولی با توجه به کمبود اطلاعات از قبیل موجود نبودن منحنی‌های مشخصه این فنهای، امکان‌پذیر نبودن اندازه گیری بر روی هر فن و همچنین اندازه گیری دبی هوای دمیده شده توسط فنهای، بنابراین نمی‌توان اثر نصب درایو بر روی آنها را بررسی نمود.

## ۳-۲-۵. نصب کوپلینگ هیدرولیک بر روی تجهیزات

همانطور که قبلاً گفته شد، یکی دیگر از تجهیزات کننده سرعت هیدرولیک‌ها هستند. همانگونه که قبلاً گفته شد، برای موتورهای ولتاژ بالا، نصب درایو (VSD) مشکلات خاصی از جمله بالا رفتن هزینه، نداشتن قابلیت اطمینان و ... را به دنبال دارد، از اینرو از کوپلینگ‌های هیدرولیک استفاده می‌شود. کوپلینگ‌های هیدرولیک بین مotor و bar (پمپ یا فن) نصب می‌شوند و قادر هستند که با تغییرات دبی، سرعت bar (پمپ یا فن) را تغییر دهند. این تجهیزات از دو پره با یک مکانیزم خاص تشکیل شده اند که یکی از پره‌ها به موتور و دیگری

به بار وصل می‌شود. ارتباط بین این دو پره، روغن می‌باشد. (شکل ۷-۵) با چرخش پره اول روغن به جریان می‌افتد و پره دوم را به چرخش وادار می‌کند. مکانیزم پره اول به صورتی است که می‌تواند با تغییر زاویه پره‌های کوچک خود، مقدار چرخش روغن را کم و زیاد کند و درنتیجه سرعت پره دوم تغییر می‌کند. از این طریق سرعت بار (پمپ یا فن) قابل کنترل است.



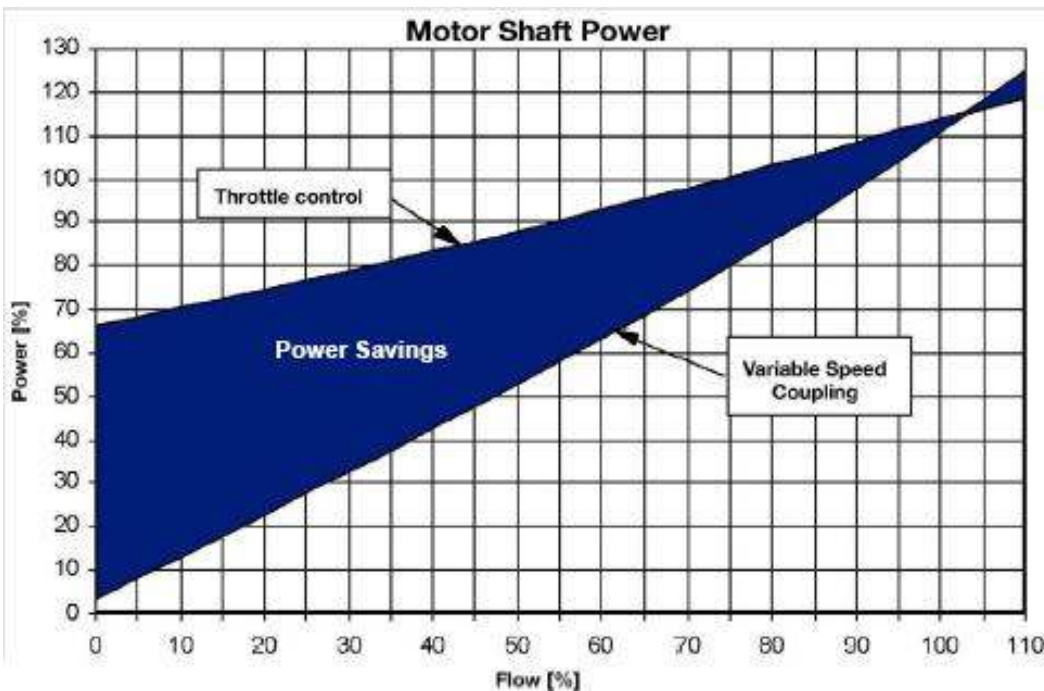
شکل ۷-۵. شماتیک کوپلینگ‌های هیدرولیکی

شکل ۸-۵ مقایسه توان مصرفی را در دو حالت استفاده از والو (تروتلینگ) و استفاده از کوپلینگ هیدرولیک و مقدار صرفه جویی توان به سبب نصب هیدرولیکی کوپلینگ را نشان می‌دهد.

مزایای دیگری که می‌توان برای هیدرولیکی کوپلینگ‌ها برشمرد، عبارتند از:

- ۱ - به علت کنترل دبی از طریق تغییر دور، اثر شیر کنترل کاهش می‌یابد.
- ۲ - به دلیل انتقال قدرت از طریق روغن، شوک‌های ناگهانی که به پمپ وارد می‌شود، دمپ می‌شوند.
- ۳ - هزینه تعمیرات و نگهداری کاهش می‌یابد.
- ۴ - به علت مکانیکی بودن سیستم هیدرولیکی کوپلینگ‌ها، خاصیت هارمونیک زائی ندارند.

با توجه به توضیحات بالا، استفاده از کوپلینگ‌های هیدرولیک بر روی پمپ‌های کندانس و آب تغذیه بررسی می‌شود.



شکل ۵-۸. مقایسه توان مصرفی در دو حالت اختناق جریان (Throttling) و استفاده از کوپلینگ هیدرولیک

۱-۳-۲-۵. بررسی نصب کوپلینگ هیدرولیک بر روی پمپ‌های اصلی کندانس در جدول ۵-۱۰ خلاصه نتایج اندازه گیریهای الکتریکی و مکانیکی بر روی پمپ‌های کندانس آمده است.

جدول ۵-۱۰. اطلاعات اندازه گیری پمپ‌های اصلی کندانس

فشار متوسط (m)	دبی متوسط (m³/h)	توان متوسط موتور (KW)	محل	نام تجهیز
159.7	425	330.7	واحد ۱ سیکل ترکیبی	پمپ اصلی کندانس
152.6	439.8	309.4	واحد ۲ سیکل ترکیبی	

همچنین اطلاعات طراحی پمپ‌های مذکور در جدول ۵-۱۱ آمده است.

جدول ۵-۱۱. اطلاعات طراحی پمپ‌های اصلی کندانس

راندمان پمپ (%)	هد نامی (m)	دبی نامی (m³/h)	توان نامی موتور (KW)	نام تجهیز
78	162	600	375	پمپ اصلی کندانس

با توجه به نتایج اندازه گیریها بر روی پمپ‌های کندانس و نمودار شکل ۸-۵ می‌توان مقدار صرفه‌جویی را در صورت استفاده از کوپلینگ هیدرولیک محاسبه نمود. جدول ۱۲-۵ میزان صرفه‌جویی انرژی را در صورت انجام این راهکار نشان می‌دهد.

جدول ۱۲-۵. محاسبه میزان صرفه‌جویی انرژی بوسیله نصب هیدرولیک و کوپلینگ بر روی پمپ‌های کندانس

صرفه‌جویی انرژی سالیانه (KWH)	ساعت کارکرد در سال (Hour)	صرفه‌جویی توان (KW)	درصد صرفه جویی توان (%)	محل	نام تجهیز
346,761	4,193	82.7	25	واحد ۱ سیکل ترکیبی	پمپ اصلی کندانس
289,072	4,060	71.2	23	واحد ۲ سیکل ترکیبی	

همچنین با استعلام قیمت گرفته شده، هزینه صرفه‌جویی سالیانه و مدت زمان بازگشت سرمایه در محاسبه شده است. لازم به ذکر است که هزینه سرمایه گذاری شامل لوازم یدکی و کنترلی مورد نیاز نیز می‌باشد.

محاسبه میزان صرفه‌جویی هزینه بوسیله نصب هیدرولیک و کوپلینگ بر روی پمپ‌های کندانس

زمان بازگشت سرمایه (سال)	هزینه صرفه‌جویی انرژی الکتریکی سالیانه (ریال)			محل	نام تجهیز
	قیمت برق بدون یارانه	قیمت برق ای برق	قیمت برق بدون یارانه ای برق		
3.7	16.8	990	267,005,970	58,949,370	واحد ۱ سیکل ترکیبی
4.4	20.2		222,585,440	49,142,240	واحد ۲ سیکل ترکیبی

همانگونه که زمان بازگشت سرمایه با ملاحظه قیمت یارانه‌ای برق توجیه‌پذیر نیست، ولی با در نظر گرفتن قیمت برق بدون یارانه، زمان بازگشت سرمایه در حد قابل قبول می‌باشد.

### ۱۲-۳-۲-۵. بررسی نصب کوپلینگ هیدرولیک بر روی پمپ‌های آب تغذیه

همانگونه که در بحث درایو نیز مطرح گردید، به دلیل وجود دو خروجی HP و IP برای پمپ‌های آب تغذیه و همچنین دو والو با درصدهای باز بودن متفاوت، نمی‌توان این پمپ‌ها را به طور کامل با کوپلینگ هیدرولیک

کنترل نمود و باید از حلقه‌های کنترلی استفاده کرد که در این حالت باید از سیستمهای کوپلینگ هیدرولیک و تروتلینگ به طور همزمان استفاده شود.

ولی جهت نصب کوپلینگ هیدرولیک، اگر اعداد اندازه گیریهای انجام شده ثابت در نظر گرفته شوند (جدول ۱۳-۵) می‌توان میزان صرفه جویی انرژی را از رابطه (۲-۶) محاسبه نمود.

(۲-۶)

$$\text{Mean Throttling Rate for FWP}(\%) = \frac{\text{HP Throttling}(\%) \times \text{HP Head (m)} + \text{IP Throttling}(\%) \times \text{IP Head (m)}}{\text{HP Head (m)} + \text{IP Head (m)}}$$

در جدول ۱۳-۵ خلاصه نتایج اندازه گیریهای همزمان الکتریکی و مکانیکی بر روی پمپ‌های آب تغذیه آورده شده است.

جدول ۱۳-۵. اطلاعات اندازه گیری پمپ‌های آب تغذیه

درصد باز بودن والو(%)		فشار متوسط (m)		دبی متوسط (m <sup>3</sup> /h)		توان متوسط موتور (KW)	محل	نام تجهیز
IP	HP	IP	HP	IP	HP			
54	60	284	1168	44.8	166.6	1036.9	واحد ۱ سیکل ترکیبی	پمپ آب تغذیه ۱
50	50	307	1195	47.1	164.3	994.8		پمپ آب تغذیه ۴
55	66	295	1157	45.8	160.6	972.1	واحد ۲ سیکل ترکیبی	پمپ آب تغذیه ۵
45	58	312	1256	48.4	156.3	972.2		پمپ آب تغذیه ۷

با استفاده از رابطه (۲-۶) و اعداد جدول ۱۳-۵، متوسط درصد تروتلینگ برای چهار پمپ آب تغذیه فوق بدست می‌آید.

$$M.T.R. \text{ for FWP1} = \frac{0.60 \times 1168 + 0.54 \times 284}{1168 + 284} = 59\%$$

$$M.T.R. \text{ for FWP4} = \frac{0.50 \times 1159 + 0.50 \times 307}{1159 + 307} = 50\%$$

$$M.T.R. \text{ for FWP5} = \frac{0.66 \times 1157 + 0.55 \times 295}{1157 + 295} = 57\%$$

$$M.T.R. \text{ for FWP7} = \frac{0.58 \times 1256 + 0.45 \times 312}{1256 + 312} = 55\%$$

بنابراین با استفاده از نمودار شکل ۸-۵، درصد صرفه جویی توان برای پمپ‌های مورد نظر به صورتی که در جدول ۱۴-۵ آمده است، قابل محاسبه می‌باشد. همچنان میزان انرژی قابل صرفه جویی سالیانه (برای نمونه سال

(۱۳۸۶) نیز در جدول مذکور آورده شده است.

جدول ۱۴-۵. میزان صرفه جویی انرژی بوسیله نصب هیدروکوپلینگ بر روی پمپهای آب تغذیه

انرژی صرفه جویی شده (KWH)	ساعت کارکرد در سال (Hour)	توان صرفه جویی شده (KW)	درصد صرفه جویی (%)	محل	نام تجهیز
891,432	4,193	212.6	20.5	واحد ۱ سیکل ترکیبی	پمپ آب تغذیه ۱
521,190		124.3	12.5		پمپ آب تغذیه ۴
1,034,082	4,060	254.7	26.2	واحد ۲ سیکل ترکیبی	پمپ آب تغذیه ۵
655,284		161.4	16.6		پمپ آب تغذیه ۷

در جدول ۱۵-۵ میزان صرفه جویی هزینه و مدت زمان بازگشت سرمایه بوسیله نصب هیدروکوپلینگ بر روی پمپهای آب تغذیه آمده است. لازم به ذکر است که هزینه سرمایه گذاری شامل لوازم یدکی و کنترلی مورد نیاز نیز می‌باشد.

جدول ۱۵-۵. محاسبه زمان بازگشت سرمایه بوسیله نصب هیدروکوپلینگ بر روی پمپهای آب تغذیه

زمان بازگشت سرمایه (سال)		هزینه سرمایه گذاری (میلیون ریال)	هزینه صرفه جویی انرژی الکتریکی سالیانه (ریال)		محل	نام تجهیز
قیمت برق بدون یارانه	قیمت یارانه ای برق		قیمت برق بدون یارانه	قیمت یارانه ای برق		
2.0	9.0	1,370	686,402,640	151,543,440	واحد ۱ سیکل	پمپ آب تغذیه ۱
3.4	15.5		401,316,300	88,602,300		پمپ آب تغذیه ۴
1.7	7.8		796,243,140	175,793,940	واحد ۲ سیکل	پمپ آب تغذیه ۵
2.7	12.3		504,568,680	111,398,280		پمپ آب تغذیه ۷

همانطور که جدول ۱۵-۵ نشان می‌دهد، زمان بازگشت سرمایه با ملاحظه قیمت یارانه ای برق توجیه پذیر نمی‌باشد، ولی با در نظر گرفتن قیمت برق بدون یارانه برای پمپهای مورد نظر (مخصوصاً پمپهای ۱ و ۵) توجیه اقتصادی مناسبی دارد.

### ۱۵-۳-۲-۳. بررسی نصب خازن بر روی فنهای ACC

همانطور که در فصل اول توضیح داده شد، فنهای ACC مصرف توان راکتیو بالایی دارند که باعث اشغال

شنو ظرفیت شبکه نیروگاه شده است. در زمان اندازه گیری با توجه به بالا بودن دمای هوای همه فنهای مذکور در دور بالا کار می‌کردند که نتایج آن در ادامه آمده است. همچنین اطلاعات اندازه گیریهایی که پرسنل نیروگاه در زمان کار کردن فنها در دور پایین انجام داده اند جمع آوری گردید. این اطلاعات در جدول ۱۶ آورده شده اند.

جدول ۱۶-۵. نتایج اندازه گیری و اطلاعات جمع آوری شده فنهای ACC

فنهای ACC واحد ۲ بخار			فنهای ACC واحد ۱ بخار			شرایط کارکرد
Q (KVAR)	PF	S (KVA)	Q (KVAR)	PF	S (KVA)	
1236.26	0.88	2602.8	1250.98	0.88	2633.8	* کارکرد فنها در دور بالا
426.34	0.32	450	426.34	0.32	450	** کارکرد فنها در دور پایین

\* نتایج حاصل از اندازه گیری

\*\* اطلاعات جمع آوری شده از نیروگاه

یکی از راههای کاهش توان راکتیو خازن گذاری می‌باشد که این راهکار مورد نظر مسئولین مربوطه نیروگاه مورد بررسی در گزارش حاضر نیز قرار گرفته و در این زمینه بررسی‌هایی نیز انجام شده است. در صورت نصب خازن بر روی فنهای ACC و افزایش ضریب توان به ۰/۹۵، مقدار کاهش توان راکتیو به صورت جدول ۱۷-۵ خواهد شد.

جدول ۱۷-۵. کاهش توان راکتیو در صورت نصب خازن بر روی فنهای ACC

فنهای ACC واحد ۲ بخار				فنهای ACC واحد ۱ بخار				شرایط کارکرد
کاهش توان راکتیو (KVAR)	Q (KVAR)	PF	S (KVA)	کاهش توان راکتیو (KVAR)	Q (KVAR)	PF	S (KVA)	
423.54	812.72	0.95	2602.8	428.58	822.40	0.95	2633.8	* کارکرد فنها در دور بالا
285.83	140.51	0.95	450	285.83	140.51	0.95	450	** کارکرد فنها در دور پایین

مطابق اظهار نظر پرسنل بهره برداری نیروگاه، مدت زمان کارکرد فنها در دو دور بالا و پایین در طول یکسال را می‌توان تقریباً مساوی در نظر گرفت. بنابراین با فرض کارکرد ۱۰ ماه کامل در طول یکسال ۲۰ ماه برای تعمیرات و توقفات فرض می‌شود) می‌توان انرژی راکتیو صرفه جویی شده را برای یکسال محاسبه نمود. لازم به ذکر است که طبق گفته مسئولین مربوطه، قرار است که انرژی راکتیو نیروگاه با قیمتی برابر با ۱۸ درصد نرخ انرژی اکتیو خریداری شود که با فرض در نظر گرفتن قیمت تمام شده انرژی (۷۷۰ ریال برای هر کیلووات ساعت) می‌توان مقدار صرفه جویی هزینه را نیز محاسبه نمود.

همچنین با توجه به نتایج اندازه گیری برای فنهای مورد بحث و مذاکره با شرکتهای طراح و مجری در زمینه

خازن گذاری، در هر واحد بایستی ۳ بانک خازنی ۴۰۰ کیلووار نصب شود. بنابراین در کل به ۶ بانک خازنی ۴۰۰ کیلووار نیاز است. طبق استعلام قیمت گرفته شده، قیمت هر بانک خازنی در حدود ۸۰,۰۰۰,۰۰۰ ریال اعلام شده که در کل، هزینه کل بانکهای خازنی در حدود ۴۸۰,۰۰۰,۰۰۰ ریال خواهد بود که با فرض ۲۰ درصد جهت هزینه حمل و نقل و نصب، هزینه سرمایه گذاری کل در حدود ۵۷۶,۰۰۰,۰۰۰ ریال برآورد می‌شود. در ادامه در جدول ۱۸-۵ میزان نتایج محاسبات صرفه جویی انرژی و هزینه و مدت زمان بازگشت سرمایه برای کل فن‌های واحد ۱ و ۲ بخار ارائه شده است.

جدول ۱۸-۵. مقادیر صرفه جویی و مدت زمان بازگشت سرمایه در صورت نصب خازن بر روی فن‌های ACC

کل توان راکتیو صرفه جویی شده (KVAR)	کل انرژی راکتیو صرفه جویی شده سالیانه (KVAR)	کل هزینه صرفه جویی شده سالیانه (Rials)	هزینه سرمایه گذاری (Rials)	مدت زمان بازگشت سرمایه (Months)
1423.78	10,251,216	1,420,818,538	576,000,000	4.9

جدول فوق نشان می‌دهد که بازگشت سرمایه راهکار پیشنهادی با در نظر گرفتن قیمت تمام شده انرژی، کمتر از یکسال است که زمان مناسبی می‌باشد.

لازم به تذکر است، با توجه به این موضوع که تأثیر مثبت خازن گذاری از چندین نظر خواهد بود، بنابراین به طور کیفی به ذکر مزایای دیگر این راهکار پرداخته می‌شود.

۱- به گفته مسئولین برق نیروگاه، در ماههای گرم سال که همه فنها با دور بالا کار می‌کنند، گاهی اوقات ترانسپهای تغذیه کننده فنها تریپ می‌دهند. خازن گذاری باعث می‌شود مقداری از ظرفیت ترانسپها آزاد شود.

۲- در صورت تأمین توان راکتیو از طریق خازن، ظرفیت ژنراتورها نیز آزاد می‌شود و می‌توان مانور بیشتری برای تولید توان راکتیو مورد نیاز شبکه داشت. از تلفات داخل کابلها و داغ شدن آنها به واسطه وجود توان راکتیو کاسته می‌شود.

### ۳-۵. نتیجه گیری و جمع بندی راهکارها

جمعبندی راهکارهای مکانیکی ارائه شده جهت بهینه‌سازی مصرف انرژی در نیروگاه سیکل ترکیبی مورد نظر قبل و بعد از استفاده از راهکار، در جدول ۱۹-۵ ارائه شده است.

در قسمتهای قبلی راهکارهای کاهش مصرف انرژی الکتریکی در نیروگاه سیکل ترکیبی در سه قسمت استفاده از درایوها، استفاده از کوپلینگهای هیدرولیکی و نصب خازن به طور مفصل توضیح داده شد. در جدول ۲۰-۵ خلاصه این نتایج آورده شده اند.

جدول ۱۹-۵. جمعبندی راهکارهای مکانیکی بهینه‌سازی مصرف انرژی در نیروگاه سیکل ترکیبی مورد نظر

میزان آب صرفی (تن بر ساعت)	مدت زمان بازگشت سرمایه (سال)		میزان درآمد مالی (میلیون ریال بر سال)		راندمان واحد گازی %	راندمان سیکل ترکیبی %	توان تولیدی سیکل گازی (کیلووات)	توان تولیدی سیکل ترکیبی (کیلووات)	راهکار
	بدون یارانه	با یارانه	بدون یارانه	با یارانه					
-	2	28.4	8920	594.53	32.11	47.87	99701	289457	قبل
18.94					33.23	47.95	112639	317105	بعد
-	1.52	21.57	10050	707.2	32.08	47.85	99660	296233	قبل
100.2					33.62	47.51	116525	329305	بعد
-	3.23	81	26300	4040	32.08	47.85	99660	296233	قبل
					33.68	48.06	117094	334160	بعد

جدول ۲۰-۵. خلاصه نتایج راهکارهای کاهش مصرف انرژی الکتریکی در نیروگاه سیکل ترکیبی مورد نظر

زمان بازگشت سرمایه (سال)	هزینه سرمایه گذاری (میلیون) (ریال)	هزینه صرفه جویی سالیانه (ریال)		میزان صرفه جویی انرژی سالیانه (KWH)	نام تجهیز	محل	راهکار ارائه شده
		نرخ برق بدون یارانه	نرخ برق با یارانه				
4.4	19.5	200	45,892,000	10,270,292	59,600	پمپ آب خنک کن (CCCW)	واحد ۱ سیکل ترکیبی استفاده از درابو
4.4	20.1	200	45,042,690	9,944,523	58,497	پمپ آب خنک کن (CCCW)	واحد ۲ سیکل ترکیبی
3.7	16.8	990	267,005,970	58,949,370	346,761	پمپ اصلی کندانس	واحد ۱ سیکل ترکیبی نصب کوبلینگ هیدرولیک
2.0	9.0	1,370	686,402,640	151,543,440	891,432	پمپ آب تعذیب ۱	
3.4	15.5	1,370	401,316,300	88,602,300	521,190	پمپ آب تعذیب ۴	واحد ۲ سیکل ترکیبی نصب کوبلینگ هیدرولیک
4.4	20.2	990	222,585,440	49,142,240	289,072	پمپ اصلی کندانس	
1.7	7.8	1,370	796,243,140	175,793,940	1,034,082	پمپ آب تعذیب ۵	واحد ۲ سیکل ترکیبی نصب کوبلینگ هیدرولیک
2.7	12.3	1,370	504,568,680	111,398,280	655,284	پمپ آب تعذیب ۷	
4.9	ماه	576	1,420,818,538	—	10,251,216	واحدهای ۱ ۲ فنهای ACC	واحدهای ۱ ۲ سیکل ترکیبی نصب خازن
					(KVARH)		

با توجه به جدول فوق و همانگونه که قبلاً ذکر شد، استفاده از درایوهای کنترل سرعت بر روی پمپ‌های آب خنک‌کن (CCCW) با در نظر گرفتن قیمت برق بدون یارانه پیشنهاد می‌گردد.

همچنین استفاده از کوپلینگ‌های هیدرولیک بر روی تجهیزات ولتاژ بالا شامل پمپ‌های کندانس و پمپ‌های آب تغذیه نیز مناسب می‌باشد. نصب خازن نیز بر روی فنهای ACC پیشنهاد می‌شود.

البته لازم به تذکر است که هزینه‌های صرفه جویی و زمانهای بازگشت سرمایه محاسبه شده در جدول فوق، صرفاً مربوط به انرژی صرفه جویی شده است و اگر مزایای دیگر راهکارهای ارائه شده از قبیل کاهش توقفات، کاهش هزینه‌های تعمیرات و نگهداری، حذف برخی از تجهیزات جنبی و ... مد نظر قرار گیرند، زمان بازگشت سرمایه به مراتب کوتاه‌تر و در نتیجه توجیه پذیرتر خواهند شد.

## فهرست منابع و مأخذ

- [۱] ۱. اطلاعات طراحی و تست کارایی واحدهای گازی و بخار نیروگاه سیکل ترکیبی
2. Bureau of Energy Efficiency; " Energy Efficiency in Thermal Utilities, Guide book for National Certification Examination for Energy Managers and Energy Auditors"; Vol. 4
3. E. Roth; " Why thermal power plants have a relatively low efficiency  
[www.sealnet.org](http://www.sealnet.org)
4. N. M. Jubeh; " Exergy Analysis and Second Law Efficiency of a Regenerative Brayton Cycle with Isothermal Heat Addition"; Entropy 2005, 7[3], 172–187
5. An American Society of Mechanical Engineers; "An American national Standard"; ASME PTC 4-2-1997; Performance Test Code on Gas Turbine Heat Recovery Steam Generator ";
6. V. Ganapathy, ABCO Industries;" Heat Recovery Steam Generators: Understand the Basics"; Chemical Engineering Process; August 1996
7. W. M. Kays, A. L. London; " Compact Heat Exchangers"; 3<sup>rd</sup> edition; 1979;  
McGraw-Hill Book Company
8. Bureau of Energy Efficiency; " Energy Efficiency in Thermal Utilities, Guide book for National Certification Examination for Energy Managers and Energy Auditors"; Vol. 4
9. H. Cohen, G. F. C. Rogers, H. I. H. Saravanamuttoo; " Gas Turbine Theory"; 4<sup>th</sup> edition; 1977
10. R. C. Rosaler; " Standard Handbook of Plant Engineering"; 2<sup>nd</sup> edition; 1994;  
McGraw Hill Book Company
- [۲] ۱۱. مهدی صادقی، "بررسی پیامدهای اقتصادی- زیست محیطی افزایش بازده نیروگاههای برق فسیلی" علوم و تکنولوژی محیط زیست، دوره نهم، شماره چهارم، زمستان ۸۶
12. P. K. Patel; " Better Power Generation from Gas Turbine along with Improved Heat Rate"; International Conference –PowergenIntl 2000-Florida, Power Asia 2000-Bangkok,ASME 2003 –Atlanta
- [۳] ۱۳. احمدی. پوریا، "تأثیر استفاده از سیستم فاگ برای افزایش قدرت خروجی نیروگاه سیکل ترکیبی با استفاده از آنالیز انرژی و اگزرزی" ، شانزدهمین کنفرانس بین المللی مهندسی مکانیک، اردیبهشت ۸۷
- [۴] ۱۴. بهدشتی. علی، "افزایش ظرفیت واحدهای گازی نیروگاه زاهدان بوسیله سیستم خنک کن فاگ" ، بیست و یکمین کنفرانس بین المللی برق
15. R. Turton, R. C. Bailie, W. B. Whiting, J. A. Shaeivitz; " Analysis, Synthesis and Design of Chemical Processes; 2<sup>nd</sup> edition; Prentice Hall Book Publisher; 2002
- [5] 16.Cihan, A.Hachafzog, O .and Kahvecik, K(2006) "Energy-Exergy analysis & modernization suggestion for a combined cycle power plant: , Int J. Energy

*reaserch*

17. B.Facchini, D. Fiaschi, G. Mafrida,"Exergy analysis of combined cycles using latest generation gas turbine, ASME J. Energy. Gas Turbine Power 122(2000) 233-238.
۱۸. مهندس سید مجتبی طباطبایی؛ "محاسبات تأسیسات ساختمان"؛ ۱۳۶۸؛ انتشارات روزبهان
۱۹. دکتر بودجمهر قاسمی، "طراحی، ساخت و معرفی کاربرد ذخیره سرماجهت پیک سایی"، ماهنامه فنی-تخصصی  
دانش نما، شماره پیاپی ۱۱۴-۱۱۳، تیر-مرداد ۱۳۸۳
- [6] 20. D. R. Wulffingh, "Cooling Thermal Storage", Energy efficiency manual, 1999